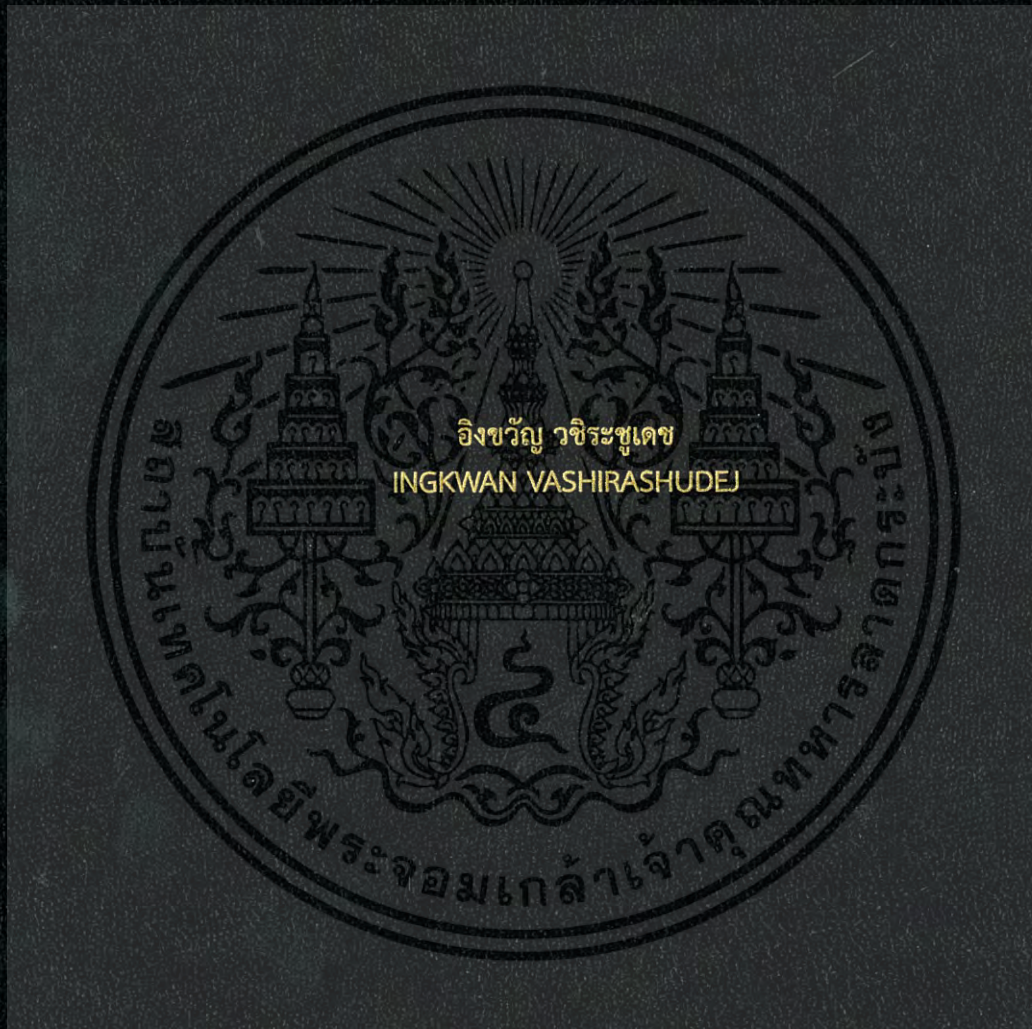


กลไกการจัดตารางงานบนพื้นฐานของเซลลูลาร์อโตมาตาและเจเนติกอัลกอริทึม

TASK SCHEDULING MECHANISM BASED ON CELLULAR AUTOMATA AND
GENETIC ALGORITHM



วิทยานิพนธ์นี้เป็นส่วนหนึ่งของการศึกษาตามหลักสูตรปริญญาวิศวกรรมศาสตรมหาบัณฑิต

สาขาวิชาวิศวกรรมคอมพิวเตอร์

คณะวิศวกรรมศาสตร์

สถาบันเทคโนโลยีพระจอมเกล้าเจ้าคุณทหารลาดกระบัง

พ.ศ. 2560

KMITL-2017-EN-M-070-84

กลไกการจัดตารางงานบนพื้นฐานของเซลล์ลาร์อโตมาตาและเจเนติกอัลกอริทึม

TASK SCHEDULING MECHANISM BASED ON CELLULAR AUTOMATA AND
GENETIC ALGORITHM



T148749



อิงขวัญ วชิระชูเดช

INGKWAN VASHIRASHUDEJ

เลขหมู่

เลขทะเบียน 148749

วันเดือนปี 23 11 2560

b. 12876045
f.

วิทยานิพนธ์นี้เป็นส่วนหนึ่งของการศึกษาตามหลักสูตรปริญญาวิศวกรรมศาสตรมหาบัณฑิต
สาขาวิชาวิศวกรรมคอมพิวเตอร์
คณะวิศวกรรมศาสตร์
สถาบันเทคโนโลยีพระจอมเกล้าเจ้าคุณทหารลาดกระบัง

พ.ศ. 2560

TASK SCHEDULING MECHANISM BASED ON CELLULAR AUTOMATA AND
GENETIC ALGORITHM



A THESIS SUBMITTED IN PARTIAL FULFILLMENT
OF THE REQUIREMENT FOR THE DEGREE OF
MASTER OF ENGINEERING IN COMPUTER ENGINEERING
FACULTY OF ENGINEERING
KING MONGKUT'S INSTITUTE OF TECHNOLOGY LADKRABANG
2017

KMITL-2017-EN-M-070-84

เอกสารนี้เป็นเอกสารที่สงวนไว้สำหรับการใช้งานเพื่อการศึกษาเท่านั้น ไม่อนุญาตให้นำไปใช้ประโยชน์ด้านการค้า
ไม่ว่ากรณีใดๆ ทั้งสิ้น อีกทั้งห้ามมิให้ดัดแปลงเนื้อหา และต้องอ้างอิงถึงเจ้าของเอกสารทุกครั้งที่มีการนำไปใช้



COPYRIGHT 2017

FACULTY OF ENGINEERING

KING MONGKUT'S INSTITUTE OF TECHNOLOGY LADKRABANG

เอกสารนี้เป็นเอกสารที่สงวนไว้สำหรับการใช้งานเพื่อการศึกษาเท่านั้น ไม่อนุญาตให้นำไปใช้ประโยชน์ด้านการค้า
ไม่ว่ากรณีใดๆ ทั้งสิ้น อีกทั้งห้ามมิให้ดัดแปลงเนื้อหา และต้องอ้างอิงถึงเจ้าของเอกสารทุกครั้งที่มีการนำไปใช้

คณะวิศวกรรมศาสตร์
สถาบันเทคโนโลยีพระจอมเกล้าเจ้าคุณทหารลาดกระบัง
ใบรับรองวิทยานิพนธ์

หัวข้อวิทยานิพนธ์ กลไกการจัดตารางงานบนพื้นฐานของเซลล์ลาร์อโตมาตาและเจเนติกอัลกอริทึม
Thesis Title Task Scheduling Mechanism Based on Cellular Automata and Genetic Algorithm
นักศึกษา นางสาวอิ่งขวัญ วชิระชูเดช (นักศึกษาในโครงการปริญญาตรีก้าวหน้า)
รหัสประจำตัว 55611513
ปริญญา วิศวกรรมศาสตรมหาบัณฑิต
สาขาวิชา วิศวกรรมคอมพิวเตอร์
อาจารย์ที่ปรึกษาวิทยานิพนธ์ ผศ.ดร.ศักดิ์ชัย ทิพย์จักษุรัตน์
หมายเลขวิทยานิพนธ์ KMITL-2017-EN-M-070-84

คณะกรรมการสอบวิทยานิพนธ์		ลายมือชื่อ
ผศ.ดร.ภุชงค์	อุทโยภาส	
ผศ.ดร.สุรินทร์	กิตติธรรกุล	
ดร.ธัญชัย	ตรีภาค	
รศ.ดร.เกียรติกุล	เจียรนัยระกิจ	
ผศ.ดร.ศักดิ์ชัย	ทิพย์จักษุรัตน์	

วัน / เดือน / ปี ที่สอบ วันอังคารที่ 18 กรกฎาคม พ.ศ. 2560 เวลา 15.00-17.00 น.
สถานที่สอบ ณ อาคาร A ชั้น 5 ห้องประชุม 2

สถาบันเทคโนโลยีพระจอมเกล้าเจ้าคุณทหารลาดกระบัง
KING MONGKUT'S INSTITUTE OF TECHNOLOGY LADKRABANG

คณะวิศวกรรมศาสตร์ รับรองแล้ว

(รองศาสตราจารย์ ดร. คมสัน มาลีสี)

เอกสารนี้เป็นเอกสารที่สงวนไว้สำหรับการใช้งานเพื่อการศึกษาเท่านั้น ไม่อนุญาตให้นำไปเผยแพร่หรือนำไปใช้ในการค้า
ไม่ว่ากรณีใดๆ ทั้งสิ้น อีกทั้งห้ามมิให้ตัดแปลงเนื้อหา และต้องอ้างอิงถึงเจ้าของเอกสารทุกครั้งที่มีการนำไปใช้
ณ วันที่ 18 กรกฎาคม พ.ศ. 2560

หัวข้อวิทยานิพนธ์	กลไกการจัดตารางงานบนพื้นฐานของเซลล์ลูอาร์อโตมาตาและเจเนติกอัลกอริทึม
นักศึกษา	นางสาวอิงขวัญ วชิระชูเดช
รหัสประจำตัว	55611513
ปริญญา	วิศวกรรมศาสตรมหาบัณฑิต
สาขาวิชา	วิศวกรรมคอมพิวเตอร์
พ.ศ.	2560
อาจารย์ที่ปรึกษาวิทยานิพนธ์	ผศ. ดร. ศักดิ์ชัย ทิพย์จักขุรัตน์

บทคัดย่อ

การจัดตารางงานเป็นหนึ่งในปัญหาที่สำคัญในระบบประมวลผลแบบกลุ่มเมฆ โดยมีจุดมุ่งหมายเพื่อกำหนดงานที่เข้ามาในระบบให้กับคอมพิวเตอร์เสมือน (Virtual Machine: VM) และลดระยะเวลาในการประมวลผลของงานทั้งหมดให้เหลือน้อยลงที่สุดเพื่อให้ประสิทธิภาพในการทำงานของระบบดีขึ้น ในงานวิจัยนี้ได้นำเสนอการประยุกต์เซลล์ลูอาร์อโตมาตาสำหรับการจัดตารางงานในระบบประมวลผลแบบกลุ่มเมฆหรือวีซีแคตส์ โดยการทำงานของแคตส์จะใช้วิธีสร้างกฎต่างๆสำหรับการหาวิธีการจัดตารางงานที่ดีที่สุด และกฎที่มีประสิทธิภาพจะถูกค้นพบโดยเจเนติกอัลกอริทึม สำหรับการประเมินประสิทธิภาพของวีซีแคตส์สามารถทำได้โดยการจำลองสถานการณ์ ซึ่งตัวชี้วัดประสิทธิภาพของการทำงานจะอยู่ในเทอมของเวลาที่ใช้ในการประมวลผลของงานทั้งหมด (Makespan) โดยจะถูกนำไปเปรียบเทียบกับวิธีการจัดตารางงานในระบบการประมวลผลแบบกลุ่มเมฆโดยใช้วิธีมาก่อนได้ก่อน วิธีเจเนติกอัลกอริทึม และวิธีระบบอาณานิคมมดหรือเอซีโอ จากผลการจำลองสถานการณ์ได้แสดงให้เห็นว่าวิธีแคตส์สามารถทำให้เวลาที่ใช้ในการประมวลผลของงานทั้งหมดต่ำกว่าวิธีการอื่นๆเมื่อมีจำนวนของทรัพยากรน้อยในทุกๆจำนวนงานที่เข้ามาในระบบ วิธีแคตส์จะมีประสิทธิภาพที่ดีที่สุดกรณีจำนวนคอมพิวเตอร์เสมือนมีจำนวนไม่เกินแปดเครื่อง โดยประสิทธิภาพจะต่ำกว่าวิธีเอซีโอเมื่อมีจำนวนคอมพิวเตอร์เสมือนมากกว่าแปดเครื่อง อย่างไรก็ตามในกรณีที่มีจำนวนคอมพิวเตอร์เสมือนมากกว่าแปดเครื่อง วิธีแคตส์ยังคงให้ประสิทธิภาพที่ดีกว่าวิธีมาก่อนได้ก่อนและวิธีเจเนติกอัลกอริทึม

เอกสารนี้เป็นเอกสารที่สงวนไว้สำหรับการใช้งานเพื่อการศึกษาเท่านั้น ไม่อนุญาตให้นำไปใช้ประโยชน์ด้านการค้าไม่ว่ากรณีใดๆ ทั้งสิ้น อีกทั้งห้ามมิให้ดัดแปลงเนื้อหา และต้องอ้างอิงถึงเจ้าของเอกสารทุกครั้งที่มีการนำไปใช้

Thesis	Task Scheduling Mechanism Based on Cellular Automata and Genetic Algorithm
Student	Miss Ingkwan Vashirashudej
Student ID.	55611513
Degree	Master of Engineering
Program	Computer Engineering
Year	2017
Thesis Advisor	Asst.Prof.Dr.Sakchai Thipchaksurat

ABSTRACT

Task scheduling is one of the major challenging issues in cloud computing system, which aims to assign tasks to virtual machines (VM) and minimizes the total execution time of tasks called makespan. In this research, we propose the application of cellular automata to the task scheduling in cloud computing systems. Our proposed scheme is called Cellular Automata for Task Scheduling or CATS scheme. In CATS scheme, the cellular automata (CA) is used for setting the task scheduling rules to find the optimal allocation for scheduling. The effective rule can be discovered from genetic algorithm (GA). The effectiveness of CATS scheme is evaluated by means of the simulation. We evaluate the performance of CATS in the terms of makespan by comparing with those of First-Come-First-Served (FCFS) scheme, genetic algorithm scheme, and Ant Colony Optimization (ACO) scheme. The simulation results show that CATS scheme can provide the lowest makespan compared to those schemes when the maximum number of VMs is 8 VMs for every number of tasks in the system. However, when the number of VMs is greater than 8 VMs such as 16 VMs or 32 VMs, CATS provides the better performance than those of FCFS and GA scheme but they are worse than ACO scheme.

กิตติกรรมประกาศ

วิทยานิพนธ์เล่มนี้สำเร็จลุล่วงไปได้ด้วยความกรุณาและความอนุเคราะห์จากบุคคลหลายฝ่าย โดยเฉพาะอย่างยิ่งข้าพเจ้าขอกราบขอบพระคุณอาจารย์ที่ปรึกษา ผศ.ดร.ศักดิ์ชัย ทิพย์จักร์รัตน์ ที่ให้ความกรุณาให้คำปรึกษา แนะนำ ตรวจสอบและแก้ไขข้อบกพร่องต่างๆ ตลอดจนช่วยแก้ปัญหาและให้กำลังใจข้าพเจ้าอย่างดียิ่งตลอดมา

ขอขอบคุณมนัสวี พิศุกกิจ พิพณา จากห้องวิจัย 801 ที่ให้ความช่วยเหลือในการศึกษาครั้งนี้ รวมถึงคำแนะนำดีๆสำหรับการทำงานวิจัย

ท้ายที่สุดขอกราบขอบพระคุณบิดาและมารดาของข้าพเจ้า และญาติๆทุกท่านที่คอยให้การสนับสนุนมาโดยตลอด

ประโยชน์และคุณค่าของวิทยานิพนธ์เล่มนี้ ข้าพเจ้าขอมอบให้ทุกท่านที่มีส่วนเกี่ยวข้องในการช่วยดำเนินการให้วิทยานิพนธ์เสร็จสมบูรณ์ โดยเฉพาะครอบครัวของข้าพเจ้าซึ่งเป็นที่รักและเคารพยิ่ง ตลอดจนครูอาจารย์ที่เคารพทุกท่านที่ได้ประสิทธิ์ประสาทวิชาความรู้และถ่ายทอดประสบการณ์ที่ดีให้แก่ข้าพเจ้าเสมอมา

อิงขวัญ วชิระชูเดช

สารบัญ

	หน้า
บทคัดย่อภาษาไทย.....	I
บทคัดย่อภาษาอังกฤษ.....	II
กิตติกรรมประกาศ.....	III
สารบัญ.....	IV
สารบัญตาราง.....	VI
สารบัญรูป.....	VII
บทที่ 1 บทนำ.....	1
1.1 ความเป็นมาและความสำคัญของปัญหา.....	1
1.2 ความมุ่งหมายและวัตถุประสงค์ของการศึกษา.....	2
1.3 แนวคิดที่ใช้ในงานวิจัย.....	2
1.4 การเปรียบเทียบระหว่างวิธีการที่นำเสนอกับวิธีที่มีอยู่เดิม.....	3
1.5 ขอบเขตการวิจัย.....	3
1.6 ขั้นตอนการศึกษา.....	3
1.7 ประโยชน์ที่คาดว่าจะได้รับ.....	4
1.8 เนื้อหาของวิทยานิพนธ์.....	4
บทที่ 2 ความรู้พื้นฐานที่เกี่ยวข้องกับงานวิจัย.....	5
2.1 ประเภทของการประมวลผล.....	5
2.2 ระบบการประมวลผลแบบกลุ่มเมฆ.....	6
2.3 การจัดตารางงานในระบบการประมวลผลแบบกลุ่มเมฆ.....	11
บทที่ 3 งานวิจัยที่เกี่ยวข้อง.....	28
3.1 ทบทวนงานวิจัยที่เกี่ยวข้อง.....	28
3.2 การประยุกต์ใช้งานเซลล์ลาร์อัตโนมัติมาตาสำหรับงานวิจัย.....	29

สารบัญ (ต่อ)

	หน้า
3.3 การพัฒนาเซลล์สุลาร์อโตมาตาในการจัดตารางงานบนระบบมัลติโพรเซสเซอร์	33
3.4 การจัดสรรงานบนระบบการประมวลผลแบบกลุ่มเมฆโดยใช้ระบบอาณานิคมมด	35
บทที่ 4 กลไกการจัดตารางงานบนพื้นฐานของเซลล์สุลาร์อโตมาตาและเจเนติกอัลกอริทึม	39
4.1 วิธีการของกลไกการจัดตารางงานบนพื้นฐานของเซลล์สุลาร์อโตมาตาสำหรับระบบการประมวลผลแบบกลุ่มเมฆ	39
4.2 การออกแบบการทำงานของวิธีเจเนติกอัลกอริทึม	43
4.3 ขั้นตอนการทำงานของ CATS	48
บทที่ 5 การประเมินประสิทธิภาพ	52
5.1 การจำลองการทำงานของ CATS	52
5.2 การเปรียบเทียบประสิทธิภาพของ CATS กับระบบอื่น	61
บทที่ 6 สรุปผลการวิจัยและข้อเสนอแนะ	78
6.1 สรุปผลการวิจัยที่นำเสนอ	78
6.2 ปัญหาและอุปสรรค	79
6.3 แนวทางการปรับปรุงงานวิจัยในอนาคต	79
ภาคผนวก	85
ผลงานวิจัยที่ได้รับการตีพิมพ์	85
ประวัติผู้เขียน	92

สารบัญตาราง

ตารางที่	หน้า
3.1 ความยาวของกฎที่ค่า k ต่างๆ.....	34
5.1 พารามิเตอร์ของการจำลองสถานการณ์สำหรับคลาวด์ซิมเพื่อหาค่า P_c	53
5.2 พารามิเตอร์ของการจำลองสถานการณ์สำหรับวิธี CATS เพื่อหาค่า P_c	53
5.3 พารามิเตอร์ของการจำลองสถานการณ์สำหรับคลาวด์ซิมเพื่อหาค่า P_m	55
5.4 พารามิเตอร์ของการจำลองสถานการณ์สำหรับวิธี CATS เพื่อหาค่า P_m,.....	55
5.5 พารามิเตอร์ของการจำลองสถานการณ์สำหรับคลาวด์ซิมเพื่อหาค่า P	57
5.6 พารามิเตอร์ของการจำลองสถานการณ์สำหรับวิธี CATS เพื่อหาค่า P	58
5.7 พารามิเตอร์ของการจำลองสถานการณ์สำหรับคลาวด์ซิมเพื่อหาค่า G	60
5.8 พารามิเตอร์ของการจำลองสถานการณ์สำหรับวิธี CATS เพื่อหาค่า G	60
5.9 พารามิเตอร์ของการจำลองสถานการณ์สำหรับคลาวด์ซิมเพื่อเปรียบเทียบกับระบบอื่น.....	61
5.10 พารามิเตอร์ของการจำลองสถานการณ์สำหรับวิธี CATS เพื่อเปรียบเทียบกับระบบอื่น.....	62
5.11 พารามิเตอร์ของการจำลองสถานการณ์สำหรับวิธีเจเนติกอัลกอริทึม.....	62
5.12 พารามิเตอร์ของการจำลองสถานการณ์สำหรับวิธีระบบอาณาจักรมด.....	62
5.13 พารามิเตอร์ของการจำลองสถานการณ์สำหรับคลาวด์ซิมเมื่อ MIPS คงที่.....	75

สารบัญรูป

รูปที่	หน้า
2.1 ตัวอย่างระบบการประมวลผลแบบกลุ่มเมฆ.....	7
2.2 สถาปัตยกรรมเบื้องต้นของเทคโนโลยีเวอร์ช่วลไลเซชัน.....	9
2.3 สถาปัตยกรรมการให้บริการบนระบบการประมวลผลแบบกลุ่มเมฆ.....	10
2.4 ตัวอย่างการจัดตารางงานในระบบการประมวลผลแบบกลุ่มเมฆ.....	11
2.5 กระบวนการจัดตารางงานบนระบบประมวลผลแบบกลุ่มเมฆ.....	13
2.6 จำลองการทำงานของระบบอาณานิคมมด.....	15
2.7 ตัวอย่างการครอสโอเวอร์และมิวเทชัน.....	21
2.8 เจเนติกอัลกอริทึมแบบพื้นฐาน.....	22
2.9 ตัวอย่างของกริดในเซลล์ลาร์อโตมาตา.....	23
2.10 ตัวอย่างของสถานะในเซลล์ลาร์อโตมาตา.....	23
2.11 ตัวอย่างของเพื่อนบ้านของเซลล์ในเซลล์ลาร์อโตมาตา.....	24
2.12 ตัวอย่างของเพื่อนบ้านของเซลล์แรกและเซลล์สุดท้าย.....	25
2.13 วิวัฒนาการของเซลล์ลาร์อโตมาตาแบบพื้นฐาน.....	25
2.14 รูปแบบการจัดเรียงสถานที่เป็นไปได้ของเซลล์สามเซลล์.....	26
2.15 กฎ 30.....	26
2.16 ตัวอย่างการเปลี่ยนสถานะของเซลล์โดยใช้กฎ 30.....	27
2.17 วิวัฒนาการของเซลล์ลาร์อโตมาตาเมื่อใช้กฎ 30.....	27
3.1 ตัวอย่างของกฎ 30 สำหรับเซลล์ลาร์อโตมาตาแบบไบนารีหนึ่งมิติ.....	33
3.2 แสดงอัลกอริทึมของวิธีการจัดสรรงานโดยใช้ระบบอาณานิคมมด.....	36
4.1 เซลล์ลาร์อโตมาตาแบบไบนารีหนึ่งมิติ.....	39
4.2 เซลล์ลาร์อโตมาตาแบบไบนารีหนึ่งมิติสำหรับการจัดตารางงานที่ 2 VM.....	40
4.3 การจัดตารางงานตามรูปแบบที่ถูกกำหนดจากเซลล์ลาร์อโตมาตาที่ 2 VM.....	40
4.4 เซลล์ลาร์อโตมาตาสำหรับการจัดตารางงานที่ 4 VM.....	42
4.5 การจัดสรรงานในระบบตามสถานะในเซลล์ลาร์อโตมาตา.....	42
4.6 ตัวอย่างกฎ 90 ของเซลล์ลาร์อโตมาตา.....	43
4.7 ตัวอย่างการออกแบบโครโมโซมสำหรับวิธี CATS.....	44
4.8 ตัวอย่างการผสมยีนแบบสองจุดสำหรับวิธี CATS.....	46

สารบัญรูป (ต่อ)

รูปที่	หน้า
4.9 ตัวอย่างการ Mutation แบบ Bit Flipped สำหรับวิธี CATS.....	47
4.10 ขั้นตอนการเรียนรู้และการดำเนินการของCATS.....	48
4.11 แผนผังของอัลกอริทึมในการค้นหาหาภูมิภาคที่มีประสิทธิภาพ.....	50
5.1 การจำลองหาค่า P_c กับวิธี CATS.....	54
5.2 การจำลองหาค่า P_m กับวิธี CATS.....	56
5.3 การจำลองหาค่า P วิธี CATS.....	59
5.4 การจำลองหาค่า Generation ที่เหมาะสมกับวิธี CATS	60
5.5 ผลการเปรียบเทียบเมคสแปนของวิธี CATS กับวิธีอื่นที่ 2 VM	63
5.6 ผลการเปรียบเทียบเมคสแปนของวิธี CATS กับวิธีอื่นที่ 4 VM	64
5.7 ผลการเปรียบเทียบเมคสแปนของวิธี CATS กับวิธีอื่นที่ 8 VM	65
5.8 ผลการเปรียบเทียบเมคสแปนของวิธี CATS กับวิธีอื่นที่ 16 VM	67
5.9 ผลการเปรียบเทียบเมคสแปนของวิธี CATS กับวิธีอื่นที่ 32 VM	67
5.10 ภาพรวมของผลการเปรียบเทียบประสิทธิภาพวิธี CATS กับวิธีอื่นในแกนจำนวนงาน.....	68
5.11 ผลการเปรียบเทียบเมคสแปนของวิธี CATS กับวิธีอื่นที่ 100 งาน.....	69
5.12 ผลการเปรียบเทียบเมคสแปนของวิธี CATS กับวิธีอื่นที่ 200 งาน.....	70
5.13 ผลการเปรียบเทียบเมคสแปนของวิธี CATS กับวิธีอื่นที่ 300 งาน.....	71
5.14 ผลการเปรียบเทียบเมคสแปนของวิธี CATS กับวิธีอื่นที่ 400 งาน.....	72
5.15 ผลการเปรียบเทียบเมคสแปนของวิธี CATS กับวิธีอื่นที่ 500 งาน.....	73
5.16 ภาพรวมของผลการเปรียบเทียบประสิทธิภาพวิธี CATS กับวิธีอื่นในแกนจำนวน VM.....	74
5.17 ผลการเปรียบเทียบเมคสแปนของวิธี CATS กับวิธีอื่นที่ 200 งาน เมื่อ MIPS คงที่.....	76
5.18 ผลการเปรียบเทียบเมคสแปนของวิธี CATS กับวิธีอื่นที่ 500 งาน เมื่อ MIPS คงที่.....	76

บทที่ 1

บทนำ

1.1 ความเป็นมาและความสำคัญของปัญหา

ในปัจจุบันระบบการประมวลผลแบบกลุ่มเมฆได้รับความนิยมกันอย่างมากในเทคโนโลยีสารสนเทศ (Information Technology: IT) โดยจะย้ายการประมวลผลและข้อมูลจากคอมพิวเตอร์ไปยังดาต้าเซ็นเตอร์ (Data Center) ขนาดใหญ่ และการประมวลผลแบบกลุ่มเมฆยังหมายถึงแอปพลิเคชัน (Application) ที่จะถูกส่งเป็นบริการผ่านทางอินเทอร์เน็ต (Internet) และโครงสร้างพื้นฐานของกลุ่มเมฆ (Cloud Infrastructure) ผู้ใช้บริการสามารถทำงานบางอย่างได้ด้วยตนเอง เช่น เพิ่มความสามารถในการรองรับตามความต้องการที่เพิ่มขึ้น ทำการทดลองกับบริการใหม่ๆ หรือแม้กระทั่งลดความสามารถในการรองรับที่ไม่จำเป็นให้น้อยลง ประโยชน์ที่ได้จากการประมวลผลแบบกลุ่มเมฆคือ ค่าใช้จ่ายที่ใช้ในการปรับใช้กับธุรกิจหรือความสามารถทางเทคโนโลยีใหม่ๆ รวมถึงค่าใช้จ่ายในการเพิ่มประสิทธิภาพทางเศรษฐกิจจากการพัฒนาโครงสร้างพื้นฐานที่เคยมีราคาแพงจะลดลง

ซึ่งการปรับใช้โมเดลของการประมวลผลแบบกลุ่มเมฆสามารถทำได้สามรูปแบบ ได้แก่ พับบลิกคลาวด์ (Public Cloud) ไพรเวทคลาวด์ (Private Cloud) และไฮบริดคลาวด์ (Hybrid Cloud) การให้บริการและโครงสร้างพื้นฐานของพับบลิกคลาวด์นั้นถูกให้บริการจะอยู่ภายนอกโดยจะผ่านทางอินเทอร์เน็ต ในขณะที่บริการและโครงสร้างพื้นฐานของไพรเวทคลาวด์จะถูกสร้างอยู่ภายในเครือข่ายส่วนตัว (Private Network) และยังคงออกแบบสำหรับการเข้าถึงอย่างจำกัดในองค์กรด้วย ดังนั้นไพรเวทคลาวด์จึงมีระดับของความปลอดภัยและการควบคุมที่สูงกว่า ส่วนไฮบริดคลาวด์จะเป็นการผสมผสานกันระหว่างไพรเวทคลาวด์และพับบลิกคลาวด์เพื่อให้มีคุณสมบัติที่มีความหลากหลายอยู่ในองค์กรเดียวกัน ตามระดับการกำหนดสาระสำคัญ (abstraction level) ของขีดความสามารถและการบริการของผู้ให้บริการ ทำให้การประมวลผลแบบกลุ่มเมฆได้ถูกแบ่งออกเป็นสามประเภท ได้แก่ Infrastructure-as-a-Service (IaaS), Platform-as-a-Service (PaaS) และ Software-as-a-Service (SaaS)

ลักษณะเด่นของการประมวลผลแบบกลุ่มเมฆคือ การสร้างทรัพยากรเสมือนด้วยซอฟต์แวร์หรือเวอร์ชวลไลซ์เซชัน (Virtualization) การกระจายการประมวลผล (Distribution) และความสามารถในการขยายระบบแบบไดนามิก (Dynamically Scalability) การสร้างทรัพยากรเสมือนจะเป็นลักษณะเด่นหลักๆ ในระบบการประมวลผลแบบกลุ่มเมฆ เมฆหรือคลาวด์ (Cloud) จะถูกสร้างจากคอมพิวเตอร์กายภาพ (Physical Machine) เป็นจำนวนมากซึ่งสามารถรันคอมพิวเตอร์เสมือน (Virtual Machine: VM) ได้หลายเครื่องในเวลาเดียวกัน โดยจะเป็นแอปพลิเคชันเลเยอร์ (Application Layer) ของระบบ ตัวอย่างของผู้ให้บริการประเภทนี้ ได้แก่ Amazon Elastic Compute Cloud (EC2)

เอกสารนี้เป็นเอกสารที่สงวนไว้สำหรับการใช้งานเพื่อการศึกษาเท่านั้น ไม่อนุญาตให้นำไปใช้ประโยชน์ด้านการค้า ไม่ว่ากรณีใดๆ ทั้งสิ้น อีกทั้งห้ามมิให้ดัดแปลงเนื้อหา และต้องอ้างอิงถึงเจ้าของเอกสารทุกครั้งที่มีการนำไปใช้

ปัญหาของระบบการประมวลผลแบบกลุ่มเมฆนั้นมีหลายปัญหา ซึ่งหนึ่งในปัญหาหลักเหล่านั้นคือการจัดตารางงาน (Task Scheduling) โดยในแพลตฟอร์ม (Platform) ของการประมวลผลแบบกลุ่มเมฆนั้น อัลกอริทึม (Algorithm) ของการจัดตารางงานแบบดั้งเดิมที่ใช้กันอยู่คือแบบการทำงานแบบตามลำดับก่อนหลัง (First-Come-First-Served: FCFS) แต่่วิธีนี้ไม่ใช่วิธีที่เหมาะสมที่สุด (Optimal) และไม่สามารถใช้ทรัพยากรที่มีอยู่ให้เกิดประโยชน์สูงสุด (Utilize) ในแบบขนาน (Parallel) ได้

แต่อย่างไรก็ตาม เป็นการยากที่จะจัดการกำหนดงานไปยังทรัพยากรที่ใช้ในการประมวลผลในกลุ่มเมฆได้ด้วยตนเอง จึงได้มีการออกแบบและพัฒนาวิธีการและอัลกอริทึมต่างๆสำหรับการจัดตารางงานเพื่อให้การจับคู่ทรัพยากรที่เหมาะสมกับงานที่เข้ามาทำได้ดีขึ้น โดยปัญหาของการจัดตารางงานจะถูกจัดให้เป็นปัญหาประเภท NP-hard optimization

1.2 ความมุ่งหมายและวัตถุประสงค์ของการศึกษา

1.2.1 เพื่อศึกษาโครงสร้างพื้นฐานของระบบการประมวลผลแบบกลุ่มเมฆ

1.2.2 เพื่อศึกษาวิธีการจัดตารางงานในระบบต่างๆ

1.2.3 เพื่อนำเสนอวิธีการจัดตารางงานในระบบการประมวลผลแบบกลุ่มเมฆ โดยใช้เซลล์ูลาร์อัตโนมัติมาเพื่อลดเวลาทั้งหมดที่ใช้การประมวลผลของงานที่เข้ามาในระบบให้น้อยลง

1.2.4 เพื่อศึกษาการจำลองการทำงานของระบบการประมวลผลแบบกลุ่มเมฆด้วยไลบรารีคลาวด์ซิม (CloudSim)

1.3 แนวคิดที่ใช้ในงานวิจัย

การจัดตารางงานในระบบมีจุดมุ่งหมายหลักคือเพื่อลดระยะเวลาการประมวลผลของงานที่เข้ามาในระบบทั้งหมดหรือเมคสเปน (Makespan) ให้เหลือน้อยลงที่สุด จึงมีวิธีการต่างๆถูกคิดค้นขึ้นมารวมถึงวิธีการแบบเมตาฮิวริสติก ไม่ว่าจะเป็นเจเนติกอัลกอริทึมหรือระบบอานานิคมมด เพื่อใช้ในการหาคำตอบที่ให้ผลลัพธ์ที่ดีที่สุด และได้มีการนำเซลล์ูลาร์อัตโนมัติมาซึ่งเป็นแบบจำลองทางคณิตศาสตร์มาประยุกต์ใช้ร่วมกับเจเนติกอัลกอริทึมสำหรับการจัดตารางงานในระบบมัลติโพรเซสเซอร์แบบสองโพรเซสเซอร์

ดังนั้นแนวคิดนี้จึงได้ถูกนำไปประยุกต์ใช้กับงานวิจัยสำหรับการจัดตารางงานในระบบการประมวลผลแบบกลุ่มเมฆ โดยสามารถมองว่าคอมพิวเตอร์เสมือนหนึ่งเครื่องในระบบการประมวลผลแบบกลุ่มเมฆคือหนึ่งโพรเซสเซอร์ในระบบมัลติโพรเซสเซอร์ได้ วิธีการที่ใช้ในงานวิจัยได้ถูกเรียกว่า CATS (Cellular Automata for Task Scheduling) และเนื่องจากคอมพิวเตอร์เสมือนมักจะมีจำนวนตั้งแต่สองเครื่องเป็นต้นไป จึงได้ทำการปรับปรุงให้วิธีการสามารถนำมาใช้งานจริงได้ในระบบการประมวลผลแบบกลุ่มเมฆ

เอกสารนี้เป็นเอกสารที่สงวนไว้สำหรับการใช้งานเพื่อการศึกษาเท่านั้น ไม่อนุญาตให้นำไปใช้ประโยชน์ด้านการค้า ไม่ว่าจะกรณีใดๆ ทั้งสิ้น อีกทั้งห้ามมิให้ดัดแปลงเนื้อหา และต้องอ้างอิงถึงเจ้าของเอกสารทุกครั้งที่มีการนำไปใช้

1.4 การเปรียบเทียบระหว่างวิธีการที่นำเสนอกับวิธีที่มีอยู่เดิม

วิธีการที่จะนำมาเปรียบเทียบกับวิธี CATS ได้แก่ วิธีแบบมาก่อนได้ก่อน (First-Come-First-Served: FCFS) วิธีเจเนติกอัลกอริทึม (Genetic Algorithm: GA) และวิธีระบบอาณานิคมมด (Ant Colony Optimization: ACO) ประสิทธิภาพที่ถูกต้องประเมินคือเมคสแปน (Makespan) เพื่อเปรียบเทียบหาระยะการจัดตารางงานที่ใช้ระยะเวลาในการประมวลผลงานทั้งหมดที่น้อยที่สุด

1.5 ขอบเขตการวิจัย

1.5.1 การจำลองการทำงานของงานวิจัยนี้ใช้จำนวนของคอมพิวเตอร์เสมือนทั้งหมด 2, 4, 8, 16, 32 เครื่อง และมีดาต้าเซิร์ฟเวอร์ทั้งหมด 10 ดาต้าเซิร์ฟเวอร์

1.5.2 การจำลองการทำงานจะจำลองงานที่เข้ามาในระบบตั้งแต่จำนวน 100, 200, 300, 400, และ 500 งาน

1.5.3 งานที่เข้ามาในระบบทั้งหมดจะไม่มีความสัมพันธ์ต่อกัน (Independent Tasks) นั่นคือ แต่ละงานจะเป็นอิสระต่อกันสามารถถูกส่งไปประมวลผลได้โดยไม่ขึ้นกับงานอื่น

1.6 ขั้นตอนการศึกษา

- 1.6.1 ศึกษาทฤษฎีของระบบการประมวลผลแบบกลุ่มเมฆ
- 1.6.2 ศึกษาทฤษฎีของเซลล์ูลาร์ออโตมาตา
- 1.6.3 ศึกษาทฤษฎีของเจเนติกอัลกอริทึม
- 1.6.4 ศึกษาวิธีการจัดตารางงานในระบบต่างๆ
- 1.6.5 ศึกษาวิธีการจัดตารางงานในระบบการประมวลผลแบบกลุ่มเมฆ
- 1.6.6 ศึกษาวิธีการจัดตารางงานโดยใช้ระบบอาณานิคมมด
- 1.6.7 ศึกษาการเขียนโปรแกรมด้วยภาษาจาวาและการใช้งานไลบรารี CloudSim
- 1.6.8 จำลองการทำงานของวิธีเจเนติกอัลกอริทึม
- 1.6.8 จำลองการทำงานของวิธีระบบอาณานิคมมด
- 1.6.9 จำลองการทำงานของวิธี CATS และหาพารามิเตอร์ที่เหมาะสมกับการใช้งาน
- 1.6.10 เปรียบเทียบประสิทธิภาพของ CATS กับวิธี FCFS, GA, ACO
- 1.6.11 สรุปผลการจำลองการทำงาน
- 1.6.12 รายงานผลการวิจัย อภิปรายผลการทดลองและข้อเสนอแนะ

เอกสารนี้เป็นเอกสารที่สงวนไว้สำหรับการใช้งานเพื่อการศึกษาเท่านั้น ไม่อนุญาตให้นำไปใช้ประโยชน์ด้านการค้า ไม่ว่ากรณีใดๆ ทั้งสิ้น อีกทั้งห้ามมิให้ดัดแปลงเนื้อหา และต้องอ้างอิงถึงเจ้าของเอกสารทุกครั้งที่มีการนำไปใช้

1.7 ประโยชน์ที่คาดว่าจะได้รับ

1.7.1 สามารถนำเซลล์สุลาร์อโตมาตามาทำงานร่วมกับเจเนติกอัลกอริทึมและเพื่อประยุกต์ใช้สำหรับการจัดตารางงานในระบบการประมวลผลแบบกลุ่มเมฆ

1.7.2 สามารถลดเวลาที่ใช้ในการประมวลผลของงานที่เข้ามาในระบบให้น้อยลง

1.7.3 การนำเซลล์สุลาร์อโตมาตามาทำงานร่วมกับเจเนติกอัลกอริทึมจะเป็นการปรับปรุงประสิทธิภาพของเจเนติกอัลกอริทึมให้ทำงานได้ผลลัพธ์ที่ดีขึ้น

1.8 เนื้อหาของวิทยานิพนธ์

วิทยานิพนธ์ฉบับนี้ได้แบ่งเนื้อหาออกเป็น 6 บท ประกอบด้วย

บทที่ 1 บทนำ

อธิบายถึง ความเป็นมาของงานวิจัย ความมุ่งหมายและวัตถุประสงค์ แนวคิดที่ใช้ในงานวิจัย การเปรียบเทียบระหว่างวิธีการที่นำเสนอกับวิธีที่มีอยู่เดิม ขอบเขตของการวิจัย ขั้นตอนการศึกษา และประโยชน์ที่คาดว่าจะได้รับ

บทที่ 2 ความรู้พื้นฐานที่เกี่ยวข้องกับงานวิจัย

อธิบายถึง การความรู้พื้นฐาน ทฤษฎี โครงสร้างของระบบและรวมถึงสถาปัตยกรรมต่างๆ ที่ได้ถูกนำเสนอในระบบการประมวลผลแบบกลุ่มเมฆ และทฤษฎีการจัดตารางงานในระบบ

บทที่ 3 งานวิจัยที่เกี่ยวข้อง

อธิบายถึง การนำเซลล์สุลาร์อโตมาตามาประยุกต์ใช้งานในรูปแบบต่างๆ รวมถึงขั้นตอนการทำงานของวิธีการจัดสรรงานโดยใช้เซลล์สุลาร์อโตมาตามาร่วมกับเจเนติกอัลกอริทึมบนระบบมัลติโพรเซสเซอร์ และการใช้ระบบอาณานิคมมดในการจัดสรรงานบนระบบการประมวลผลแบบกลุ่มเมฆ

บทที่ 4 กลไกการจัดตารางงานบนพื้นฐานของเซลล์สุลาร์อโตมาตาสำหรับระบบการประมวลผลแบบกลุ่มเมฆ

อธิบายถึง วิธีการที่นำเสนอ จากการนำเซลล์สุลาร์อโตมาตามาประยุกต์ใช้ร่วมกับเจเนติกอัลกอริทึม เพื่อค้นหาวิธีที่มีประสิทธิภาพในการลดเวลาในการประมวลผลของงานที่เข้ามาในระบบ เรียกโดยย่อว่า CATS

บทที่ 5 การประเมินประสิทธิภาพ

แสดงให้เห็นถึง แบบจำลองการทำงาน เพื่อวัดประสิทธิภาพเปรียบเทียบระหว่างวิธี CATS กับวิธีแบบมาก่อนได้ก่อน (FCFS) วิธีเจเนติกอัลกอริทึม (GA) ระบบอาณานิคมมด (ACO)

บทที่ 6 สรุปผลการวิจัยและข้อเสนอแนะ

สรุปผลการวิจัยจากการจำลองการทำงาน และข้อเสนอต่างๆ พร้อมทั้งปัญหาที่เกิดขึ้น

เอกสารนี้เป็นเอกสารที่สงวนไว้สำหรับการใช้งานเพื่อการศึกษาเท่านั้น ไม่อนุญาตให้นำไปใช้ประโยชน์ด้านการค้า ไม่ว่าจะกรณีใดๆ ทั้งสิ้น อีกทั้งห้ามมิให้ดัดแปลงเนื้อหา และต้องอ้างอิงถึงเจ้าของเอกสารทุกครั้งที่มีการนำไปใช้

บทที่ 2

ความรู้พื้นฐานที่เกี่ยวข้องกับงานวิจัย

ในบทนี้จะอธิบายเกี่ยวกับเทคโนโลยีการประมวลผลในรูปแบบต่างๆ รวมถึงทฤษฎีพื้นฐานและสถาปัตยกรรมของระบบการประมวลผลแบบกลุ่มเมฆ (Cloud Computing Systems)

2.1 ประเภทของการประมวลผล

2.1.1 Utility Computing

Utility computing เป็นแนวคิดที่พัฒนาโดยจอห์น แมคคาร์ที (John McCarthy) เป็นการใช้งานทรัพยากรการประมวลผลในลักษณะเดียวกันกับการใช้สาธารณูปโภคที่มีค่าใช้จ่ายตามการใช้งาน ไม่ว่าจะเป็น การซื้อ ใช้งาน และการบำรุงรักษาอุปกรณ์และแอปพลิเคชันต่างๆ

2.1.2 Distributed Computing

แนวคิดของการประมวลผลแบบกระจาย (Distributed Computing) เป็นการนำคอมพิวเตอร์หลายๆ เครื่องมาเชื่อมต่อกันผ่านทางระบบเครือข่ายเพื่อนำไปใช้ประมวลผลร่วมกัน โดยรันร่วมกันเป็นระบบเดี่ยวงานที่เข้ามาจะถูกแบ่งออกเป็นหลายๆ ส่วนเพื่อกระจายไปยังคอมพิวเตอร์ที่อยู่ในระบบเพื่อให้ช่วยกันประมวลผล จึงมีลักษณะเป็นการประมวลผลแบบกระจายจากศูนย์กลาง (Decentralize) ทำให้มีความรวดเร็วในการประมวลผลมากยิ่งขึ้น

นอกจากนี้การประมวลผลแบบกระจายยังมีคุณสมบัติของความยืดหยุ่น (Scalability) โดยสามารถเพิ่มและลดจำนวนคอมพิวเตอร์ได้โดยง่าย รวมถึงเมื่อคอมพิวเตอร์เครื่องใดเครื่องหนึ่งไม่สามารถทำงานได้ไม่มีผลทำให้ระบบหยุดการทำงาน โมเดลของการทำงานแบบกระจายจะมีลักษณะเป็นแม่ข่าย-ลูกข่าย (Client-Server) ซึ่งระบบที่พัฒนาจากการประมวลผลแบบกระจายมีดังนี้

1) คลัสเตอร์ (Clusters)

คอมพิวเตอร์ในระบบจะเชื่อมต่อกันแบบ LAN (Local Area Network) และแชร์ทรัพยากรร่วมกัน เช่น ซีพียู ที่เก็บข้อมูล เป็นต้น โดยมีซอฟต์แวร์ที่ช่วยบริหารจัดการ ดังนั้นจึงสามารถใช้คลัสเตอร์เสมือนกับซูเปอร์คอมพิวเตอร์ได้ โดยการนำไปประมวลผลงานเดี่ยวร่วมกันแบบขนาน หรือนำหลายๆงานที่เป็นอิสระจากกันมาประมวลผลได้ โดยเน้นไปที่ความเร็วในการประมวลผล

เอกสารนี้เป็นเอกสารที่สงวนไว้สำหรับการใช้งานเพื่อการศึกษาเท่านั้น ไม่อนุญาตให้นำไปใช้ประโยชน์ด้านการค้า ไม่ว่าจะกรณีใดๆ ทั้งสิ้น อีกทั้งห้ามมิให้ดัดแปลงเนื้อหา และต้องอ้างอิงถึงเจ้าของเอกสารทุกครั้งที่มีการนำไปใช้

2) กริด (Grids)

เป็นการเชื่อมต่อทรัพยากรคอมพิวเตอร์ระหว่างหน่วยงานหรือองค์กรหลายๆระบบมาเชื่อมต่อกันเพื่อให้งานเหมือนระบบใหญ่เพียงระบบเดียวผ่าน WAN (Wide Area Network) ที่มีแบนด์วิดท์ต่ำ โดยเน้นไปที่การใช้ทรัพยากรการประมวลผลให้เกิดประโยชน์สูงสุด และระบบย่อยภายในกริดสามารถแยกจัดการอย่างอิสระได้

3) กลุ่มเมฆ (Clouds)

เป็นการประมวลผลที่ย้ายจากการประมวลผลแบบเดิมไปประมวลผลผ่านเครือข่ายอินเทอร์เน็ตซึ่งจะคล้ายกับกริดและมีความยืดหยุ่นรวมถึงปรับให้เหมาะสมกับกิจกรรมทางธุรกิจมากขึ้น ซึ่งคอมพิวเตอร์ที่เชื่อมต่อกันไม่จำเป็นต้องมีฮาร์ดแวร์และระบบปฏิบัติการที่เหมือนกันทั้งหมด โดยอิงกับความต้องการของผู้ใช้งานเป็นหลัก ซึ่งสามารถระบุความต้องการไปยังซอฟต์แวร์ที่ใช้ควบคุมจัดการระบบได้ เนื่องจากมีความหลากหลายวิธีและการพัฒนาระบบการประมวลผลแบบกลุ่มเมฆ นิยามจึงแตกต่างกันไปตามเทคโนโลยีและวิธีการที่ใช้ในการพัฒนา โดยรายละเอียดจะอธิบายในส่วนถัดไป

2.2 ระบบการประมวลผลแบบกลุ่มเมฆ

2.2.1 ประวัติความเป็นมา

ย้อนกลับไปในปี ค.ศ.1960 จอห์น แมคคาร์ธี (John McCarthy) ได้เสนอความคิดเห็นว่า ในวันหนึ่งการประมวลผลจะถูกทำให้สามารถใช้งานได้แบบสาธารณะ ซึ่งในเวลาต่อมาแนวความคิดนี้ได้กลายเป็นหลักการระบบการประมวลผลแบบกลุ่มเมฆในปัจจุบัน

โดยในช่วง ค.ศ.1960-1970 ตามบริษัทหลายๆที่ได้มีเมนเฟรมคอมพิวเตอร์ขนาดใหญ่ (mainframe computer) ซึ่งเป็นคอมพิวเตอร์ที่มีสมรรถนะสูงมาก เพื่อใช้ในการให้บริการกับพนักงานในบริษัทในการเข้าถึงระบบโดยผ่านคอมพิวเตอร์เทอร์มินอล (Dumb Terminal) ซึ่งเป็นเครื่องที่รับหรือส่งข้อมูลได้แต่เพียงอย่างเดียว คอมพิวเตอร์เมนเฟรมเหล่านี้จะเก็บข้อมูลทั้งหมดและทำการประมวลผล และเมื่อผู้ใช้งานต้องการรับหรือส่งข้อมูลจะทำการส่งรายการจากคอมพิวเตอร์เทอร์มินอลไปยังคอมพิวเตอร์เมนเฟรม จากนั้นข้อมูลก็จะถูกส่งคืนกลับมายังคอมพิวเตอร์เทอร์มินอล แต่ทว่าในยุคนั้นคอมพิวเตอร์เมนเฟรมเหล่านี้จะมีราคาแพงมาก

ในปี ค.ศ.1980 บริษัทต่างๆได้ตระหนักว่าคอมพิวเตอร์ธรรมดาที่เป็นแบบเซิร์ฟเวอร์เบส (Server-Based) จะสามารถติดตั้งใช้งานได้ในราคาที่ถูกลงกว่าแบบคอมพิวเตอร์เมนเฟรม ดังนั้นคอมพิวเตอร์เมนเฟรมเหล่านี้จึงถูกแทนที่ด้วยคอมพิวเตอร์แบบเซิร์ฟเวอร์เบส

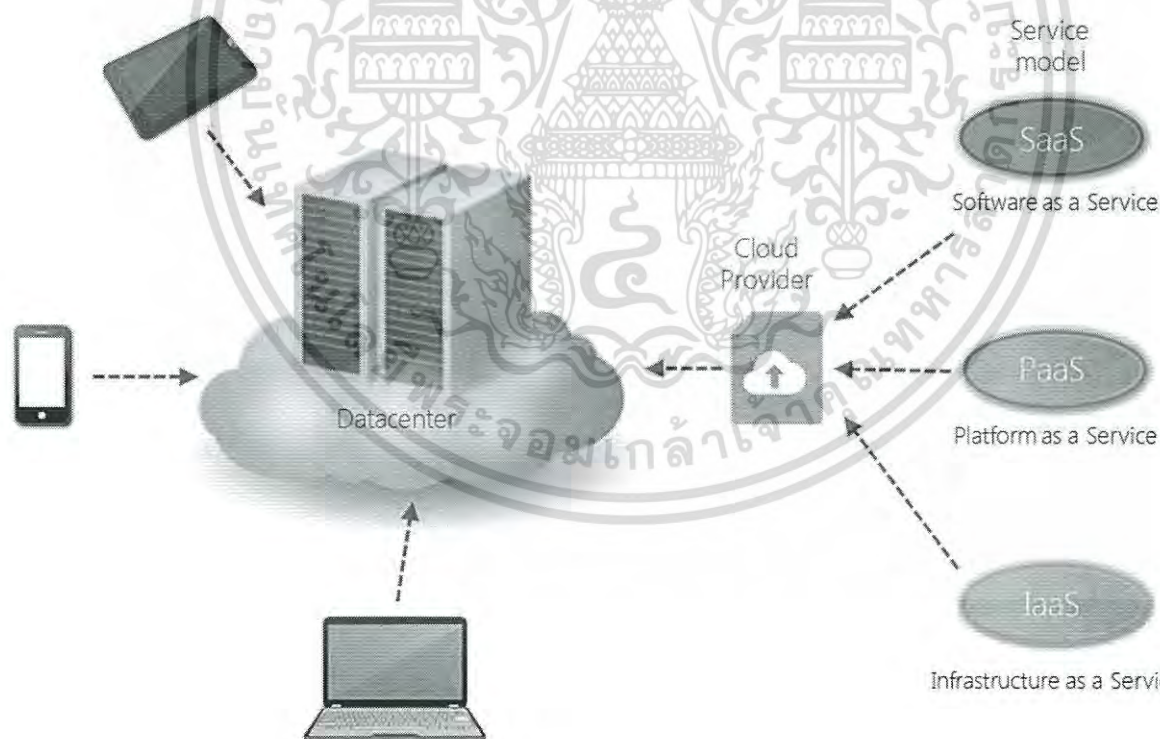
ในช่วงต้นปี ค.ศ.1990 เมื่อมีการเริ่มใช้งานอินเทอร์เน็ต (Internet) กันอย่างแพร่หลาย การเข้าไปยังเซิร์ฟเวอร์ขนาดใหญ่จึงกลับมาอีกครั้ง และในปี ค.ศ.1999 บริษัทเซลฟอर्स (Salesforce) ได้ก่อตั้งขึ้นโดยมาร์ค เบนีออฟ (Marc Benioff) และปาร์คเกอร์ แฮร์ริส (Parker Harris) พวกเขาใช้เทคโนโลยีหลายอย่างที่พัฒนาโดยบริษัทเช่นกูเกิ้ล (Google) และยาฮู (Yahoo) เพื่อนำไปประยุกต์ใช้ในเชิงธุรกิจ นอกจากนี้ยัง

เอกสารนี้เป็นเอกสารที่สงวนไว้สำหรับการใช้งานเพื่อการศึกษาเท่านั้น ไม่อนุญาตให้นำไปใช้ประโยชน์ด้านการค้า ไม่ว่ากรณีใดๆ ทั้งสิ้น อีกทั้งห้ามมิให้ดัดแปลงเนื้อหา และต้องอ้างอิงถึงเจ้าของเอกสารทุกครั้งที่มีการนำไปใช้

ใช้แนวคิดของออนดีมานด์ (On demand) และเอสเอเอเอส (SaaS) กับธุรกิจของตนเอง ซึ่งเป็นหนึ่งในลักษณะของระบบการประมวลผลแบบกลุ่มเมฆ

ในปี ค.ศ.2002 บริษัทอะเมซอน (Amazon) ได้เปิดตัวอะเมซอนเว็บเซอร์วิส (Amazon Web Services: AWS) โดยให้บริการทรัพยากรที่ใช้ในการประมวลผล เช่น ซีพียู (CPU), หน่วยความจำ (Memory), เครือข่าย รวมถึงแพลตฟอร์ม (Platform) และบริการอื่นๆ เป็นแนวคิดในการให้บริการที่คิดตามค่าใช้จ่ายตามการใช้งานจริง เพื่อช่วยลดต้นทุนและสร้างรายได้ให้กับผู้ใช้บริการ จากนั้นในปี 2006 อะเมซอนได้เปิดตัวบริการ อะเมซอนอีซีทู (Amazon Elastic Compute Cloud: EC2) ให้กับบริษัทขนาดเล็กและผู้ใช้งานอื่น โดยผู้ใช้งานได้สามารถให้บริการในการรันซอฟต์แวร์ของตนเองบนกลุ่มเมฆ (Cloud) ตามความต้องการใช้บริการ

ในปี ค.ศ.2007 กูเกิลและไอบีเอ็ม รวมถึงมหาวิทยาลัยอีกจำนวนหนึ่งได้เริ่มวิจัยระบบการประมวลผลแบบกลุ่มเมฆกัน และปีถัดมาไมโครซอฟต์ (Microsoft) ได้เข้ามาสู่อุตสาหกรรมระบบการประมวลผลแบบกลุ่มเมฆ โดยใช้ชื่อผลิตภัณฑ์ว่าอะซัวร์ (Azure) ซึ่งเป็นระบบปฏิบัติการ และมีการพัฒนามาอย่างต่อเนื่องจนถึงทุกวันนี้ ตัวอย่างของระบบการประมวลผลแบบกลุ่มเมฆแสดงให้เห็นดังรูปที่ 2.1



รูปที่ 2.1 ตัวอย่างระบบการประมวลผลแบบกลุ่มเมฆ

เอกสารนี้เป็นเอกสารที่สงวนไว้สำหรับการใช้งานเพื่อการศึกษาเท่านั้น ไม่อนุญาตให้นำไปใช้ประโยชน์ด้านการค้า ไม่ว่าจะกรณีใดๆ ทั้งสิ้น อีกทั้งห้ามมิให้ดัดแปลงเนื้อหา และต้องอ้างอิงถึงเจ้าของเอกสารทุกครั้งที่มีการนำไปใช้

2.2.2 ทฤษฎีและหลักการพื้นฐาน

นิยามของระบบการประมวลผลแบบกลุ่มเมฆนั้นยังไม่แน่นอนและมีความหลากหลายมาก แต่ความหมายโดยรวม คือ ระบบการประมวลผลแบบกลุ่มเมฆคือวิธีการประมวลผลที่อิงกับความต้องการกับผู้ใช้ โดยผู้ใช้จะระบุความต้องการไปยังซอฟต์แวร์ของระบบการประมวลผลแบบกลุ่มเมฆ จากนั้นซอฟต์แวร์จะร้องขอให้ระบบจัดสรรทรัพยากรและบริการให้ตรงกับความต้องการของผู้ใช้งาน ทั้งนี้ระบบยังสามารถเพิ่มและลดจำนวนของทรัพยากร รวมถึงเสนอบริการให้พอเหมาะกับความต้องการของผู้ใช้งานโดยที่ผู้ใช้ไม่จำเป็นต้องทราบว่าการดำเนินงานเบื้องหลังของระบบเป็นอย่างไร และระบบการประมวลผลแบบกลุ่มเมฆนั้นจะมองว่าทุกแอปพลิเคชันหรือส่วนประกอบของระบบจะถูกนำมาใช้เป็นบริการหรือส่วนหนึ่งของบริการให้กับผู้ใช้งาน ดังนั้นจะเห็นว่าระบบการประมวลผลแบบกลุ่มเมฆนั้นจะเป็นการนำเทคโนโลยีและธุรกิจมาประกอบเข้าด้วยกัน

2.2.3 ลักษณะสำคัญ

ระบบการประมวลผลแบบกลุ่มเมฆจะมีลักษณะสำคัญทั้งหมดสามประการ ดังนี้

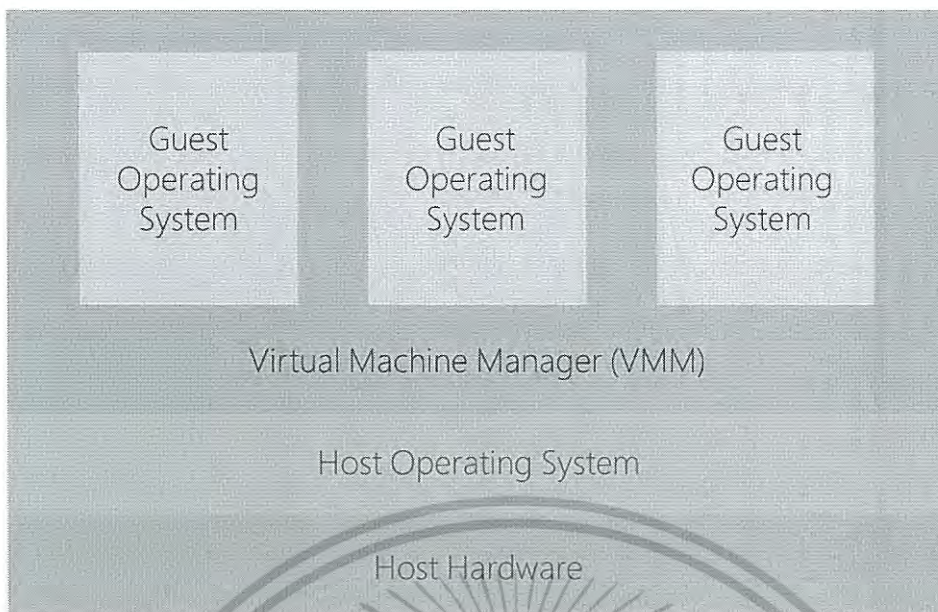
1) ความสามารถในการปรับขนาด (Scalability) ผู้ใช้งานสามารถเพิ่มและลดทรัพยากรได้ง่ายผ่านซอฟต์แวร์โดยซอฟต์แวร์ก็จะไปร้องขอบริการจากระบบ และสะดวกเพื่อรองรับโหลดที่เข้ามาในระบบ ตัวอย่างเช่น ผู้ใช้งานได้ใช้บริการเช่าพื้นที่สร้างเว็บไซต์บนระบบการประมวลผลแบบกลุ่มเมฆ เมื่อถึงช่วงเวลาที่ผู้ใช้เข้ามาใช้บริการเว็บไซต์เป็นจำนวนมากเป็นประจำ เจ้าของเว็บไซต์สามารถกำหนดให้เพิ่มจำนวนทรัพยากรให้เพียงพอต่อความต้องการใช้งาน และเมื่อผ่านช่วงเวลานั้นก็สามารถลดทรัพยากรที่มีอยู่ออกไปได้เช่นกัน

2) เทคโนโลยีเวอร์ชวลไลเซชัน (Virtualization) โดยทรัพยากรสำหรับการประมวลผลจะถูกแบ่งเป็นคอมพิวเตอร์เสมือน (Virtual Machine: VM) จำนวนหลายๆเครื่อง โดยมีซอฟต์แวร์ทำหน้าที่ควบคุมและจัดการ แต่ละเครื่องจะสามารถทำงานได้อย่างอิสระ ทำให้ประหยัดในเรื่องต้นทุนของฮาร์ดแวร์และโครงสร้างพื้นฐาน นอกจากนี้ยังมีความยืดหยุ่นโดยสามารถย้ายคอมพิวเตอร์เสมือนไปยังอีกเครื่องหรือเพิ่มลดได้อย่างรวดเร็ว

สถาปัตยกรรมเบื้องต้นของของเทคโนโลยีเวอร์ชวลไลเซชันเป็นไปตามรูปที่ 2.2 ซึ่งแสดงให้เห็นถึงพื้นฐานของเทคโนโลยีเวอร์ชวลไลเซชัน มีซอฟต์แวร์ที่ใช้ควบคุมจัดการเรียกว่า Virtual Machine Manager หรือ VMM และสามารถสร้างระบบปฏิบัติการบนคอมพิวเตอร์เสมือน (Guest Operating System) ได้หลายระบบตามความสามารถของเครื่องโฮสต์ที่นำมาใช้งาน

ซึ่งระบบปฏิบัติการเสมือนทั้งหมดจะทำงานบนระบบปฏิบัติการของโฮสต์ (Host Operating System) และทำงานอยู่บนฮาร์ดแวร์ของโฮสต์อีกที (Host Hardware) ตัวอย่างของผลิตภัณฑ์เวอร์ชวลไลเซชัน เช่น VMware, Citrix XenServer, Microsoft Hyper-V

เอกสารนี้เป็นเอกสารที่สงวนไว้สำหรับการใช้งานเพื่อการศึกษาเท่านั้น ไม่อนุญาตให้นำไปใช้ประโยชน์ด้านการค้า ไม่ว่ากรณีใดๆ ทั้งสิ้น อีกทั้งห้ามมิให้ดัดแปลงเนื้อหา และต้องอ้างอิงถึงเจ้าของเอกสารทุกครั้งที่มีการนำไปใช้



รูปที่ 2.2 สถาปัตยกรรมเบื้องต้นของเทคโนโลยีเวอร์ชวลไลเซชัน

3) ความน่าเชื่อถือ (Reliability) เป็นสิ่งที่สำคัญในการให้บริการ ระบบที่ดีจะต้องสามารถทำงานและให้บริการได้ตลอดเวลา นั่นคือมี Downtime ต่ำ ในระบบการประมวลผลแบบกลุ่มเมฆจะสามารถดึงทรัพยากรจากหลายแหล่งมาใช้ในการประมวลผล เป็นการป้องกันการล่มของระบบ ทำให้ระบบพร้อมที่จะให้บริการตลอดเวลา

2.2.4 ประเภทของกลุ่มเมฆ

1) พับลิคคลาวด์ (Public cloud)

พับลิคคลาวด์เป็นระบบที่ทุกคนสามารถเข้าถึงได้ผ่านทางอินเทอร์เน็ต ซึ่งผู้ให้บริการสร้างทรัพยากรไว้ให้บริการเพื่อให้ผู้ใช้งานใช้ได้ตามความต้องการ แต่ผู้ใช้งานจะมีสิทธิในการควบคุมที่จำกัดโดยจะขึ้นอยู่กับสิทธิที่ผู้ให้บริการได้มอบให้ โดยการใช้บริการพับลิคคลาวด์อาจจะมีทั้งเสียและไม่เสียค่าใช้จ่าย ตัวอย่างเช่น Amazon Elastic Compute Cloud (EC2)

2) ไพรเวทคลาวด์ (Private cloud)

เป็นระบบที่เป็นแบบส่วนตัว โดยองค์กรจะสร้างขึ้นมานำไปใช้งานภายในองค์กรและมีการบริหารจัดการระบบกันเอง ซึ่งจะมุ่งเน้นเรื่องความปลอดภัยของข้อมูลเป็นหลักเพราะสามารถควบคุมและปรับปรุงระบบความปลอดภัยได้ด้วยตนเอง อีกทั้งผู้ใช้งานภายนอกไม่สามารถเข้าถึงระบบได้

3) ไฮบริดคลาวด์ (Hybrid cloud)

เป็นการผสมผสานกันระหว่างพับลิคและไพรเวทคลาวด์ โดยบางส่วนจะสร้างขึ้นมาเองและบางส่วนจะใช้บริการจากผู้ให้บริการภายนอก

เอกสารนี้เป็นเอกสารที่สงวนไว้สำหรับการใช้งานเพื่อการศึกษาเท่านั้น ไม่อนุญาตให้นำไปใช้ประโยชน์ด้านการค้าไม่ว่ากรณีใดๆ ทั้งสิ้น อีกทั้งห้ามมิให้ดัดแปลงเนื้อหา และต้องอ้างอิงถึงเจ้าของเอกสารทุกครั้งที่มีการนำไปใช้

2.2.5 การให้บริการ (Services)

รูปแบบการให้บริการของระบบการประมวลผลแบบกลุ่มเมฆจะแบ่งออกได้เป็นสามรูปแบบ ซึ่งจะประมวลผลตามความต้องการของผู้ใช้ซึ่งทำให้เรียกใช้งานได้อย่างง่ายและสะดวก ซึ่งจะแสดงให้เห็นระดับชั้นของการให้บริการดังรูปที่ 2.3

1) การให้บริการซอฟต์แวร์ (Software as a Service: SaaS)

บริการเหล่านี้คือการที่ให้ผู้ใช้งานเรียกใช้แอปพลิเคชันต่างๆบนอินเทอร์เน็ตโดยไม่จำเป็นต้องติดตั้งแอปพลิเคชันลงบนคอมพิวเตอร์ของตนเอง โดยปกติแล้วผู้ใช้งานจะทำการรันแอปพลิเคชันเหล่านั้นผ่านเว็บเบราว์เซอร์ ซึ่งผู้ใช้งานจะไม่รู้เบื้องหลังการทำงานของแอปพลิเคชันเหล่านี้ ตัวอย่างของบริการแบบเอสเอเอส เช่น Google Docs

2) การให้บริการแพลตฟอร์ม (Platform as a Service: PaaS)

บริการนี้จะมุ่งเน้นไปที่การให้บริการเช่าแพลตฟอร์ม (Platform) ซึ่งประกอบไปด้วยฮาร์ดแวร์ (Hardware) ระบบปฏิบัติการ (Operating System) ที่จัดเก็บข้อมูล (Storage) ผ่านทางอินเทอร์เน็ต ทำให้ผู้ใช้งานสามารถปรับเปลี่ยนความสามารถของระบบได้ง่ายและช่วยลดค่าใช้จ่ายในการดูแลระบบ ตัวอย่างของบริการแบบพีเอเอส เช่น Google App engine

3) การให้บริการโครงสร้างพื้นฐาน (Infrastructure as a Service: IaaS)

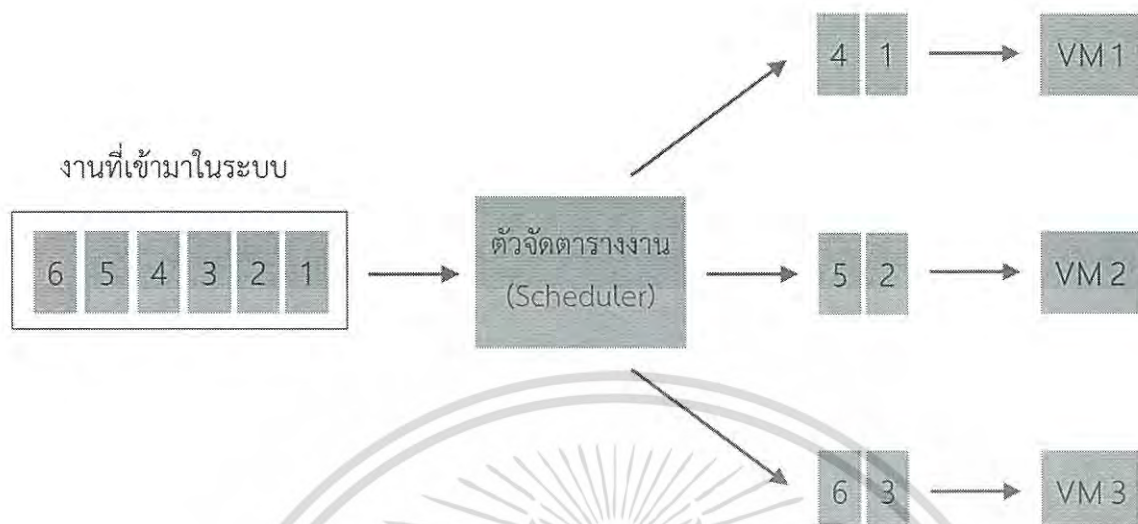
เป็นบริการที่เกี่ยวกับโครงสร้างพื้นฐานของระบบคอมพิวเตอร์ ไม่ว่าจะเป็นเซิร์ฟเวอร์ (Server) การเชื่อมต่อ (Connection) ฮาร์ดแวร์และแอปพลิเคชัน รวมถึงทรัพยากรจะถูกจัดหามาให้โดยผู้ให้บริการ โดยผู้ให้บริการจะเป็นเจ้าของอุปกรณ์และรับผิดชอบการทำงาน การบำรุงรักษา



รูปที่ 2.3 สถาปัตยกรรมการให้บริการบนระบบการประมวลผลแบบกลุ่มเมฆ

เอกสารนี้เป็นเอกสารที่สงวนไว้สำหรับการใช้งานเพื่อการศึกษาเท่านั้น ไม่อนุญาตให้นำไปใช้ประโยชน์ด้านการค้า ไม่ว่าจะกรณีใดๆ ทั้งสิ้น อีกทั้งห้ามมิให้ดัดแปลงเนื้อหา และต้องอ้างอิงถึงเจ้าของเอกสารทุกครั้งที่มีการนำไปใช้

2.3 การจัดตารางงานในระบบการประมวลผลแบบกลุ่มเมฆ



รูปที่ 2.4 ตัวอย่างการจัดตารางงานในระบบการประมวลผลแบบกลุ่มเมฆ

ที่ผ่านมาได้มีอัลกอริทึมในการจัดตารางงานหลายรูปแบบที่มีการใช้งานบนระบบแบบกระจาย (Distributed System) ถูกนำมาประยุกต์ใช้กับระบบการประมวลผลแบบกลุ่มเมฆโดยมีการพัฒนาปรับปรุงให้เหมาะสมกับการใช้งาน [18] โดยจุดมุ่งหมายหลักของอัลกอริทึมในการจัดตารางงานคือเพื่อลดเวลาที่ใช้ในการประมวลผลให้น้อยลง และเพิ่มประสิทธิภาพในการทำงานให้กับระบบการประมวลผล โดยการจัดตารางงานในระบบการประมวลผลแบบกลุ่มเมฆมีลักษณะดังรูป 2.4 ตัวอย่างของวิธีการในการจัดตารางงานแบบพื้นฐานมีดังนี้

2.3.1 First Come First Serve algorithm (FCFS)

งานจะถูกนำไปประมวลผลตามลำดับที่เข้ามาในระบบ นั่นคือมาก่อนได้ทำงานก่อน โดยงานที่เข้ามาในระบบจะถูกไปเก็บไว้ในคิว (Queue) เพื่อรอรับการประมวลผล อัลกอริทึมนี้สามารถนำไปใช้งานได้ง่ายและไม่ซับซ้อน

2.3.2 Round Robin algorithm (RR)

ในการจัดตารางงานแบบ RR นั้น แต่ละงานจะได้รับเวลาที่จำกัดสำหรับซีพียูสำหรับการประมวลผล โดยเรียกเวลานั้นว่า ไทม์สไลด์ (Time-Slice) หรือ ควอนตัม (Quantum) ถ้าหากว่างานนั้นไม่สามารถทำให้เสร็จได้ภายในเวลาที่กำหนดแล้วก็จะถูกงานถัดไปที่อยู่ในคิว (Queue) เข้ามาทำแทนที่และงานนั้นก็จะถูกนำไปต่ออย่างท้ายสุดในคิว

เอกสารนี้เป็นเอกสารที่สงวนไว้สำหรับการใช้งานเพื่อการศึกษาเท่านั้น ไม่อนุญาตให้นำไปใช้ประโยชน์ด้านการค้า ไม่ว่าจะกรณีใดๆ ทั้งสิ้น อีกทั้งห้ามมิให้ดัดแปลงเนื้อหา และต้องอ้างอิงถึงเจ้าของเอกสารทุกครั้งที่มีการนำไปใช้

2.3.3 Min-Min algorithm

อัลกอริทึมนี้จะเลือกงานที่มีขนาดเล็กที่สุดก่อนแล้วส่งไปยังคอมพิวเตอร์เสมือน จึงทำให้งานที่มีขนาดใหญ่ต้องใช้เวลาในการรอถูกประมวลผลนานกว่า

2.3.4 Max-Min algorithm

อัลกอริทึมนี้จะเลือกงานที่มีขนาดใหญ่ที่สุดก่อนแล้วส่งไปยังคอมพิวเตอร์เสมือน จึงทำให้งานที่มีขนาดเล็กต้องใช้เวลาในการรอถูกประมวลผลนาน

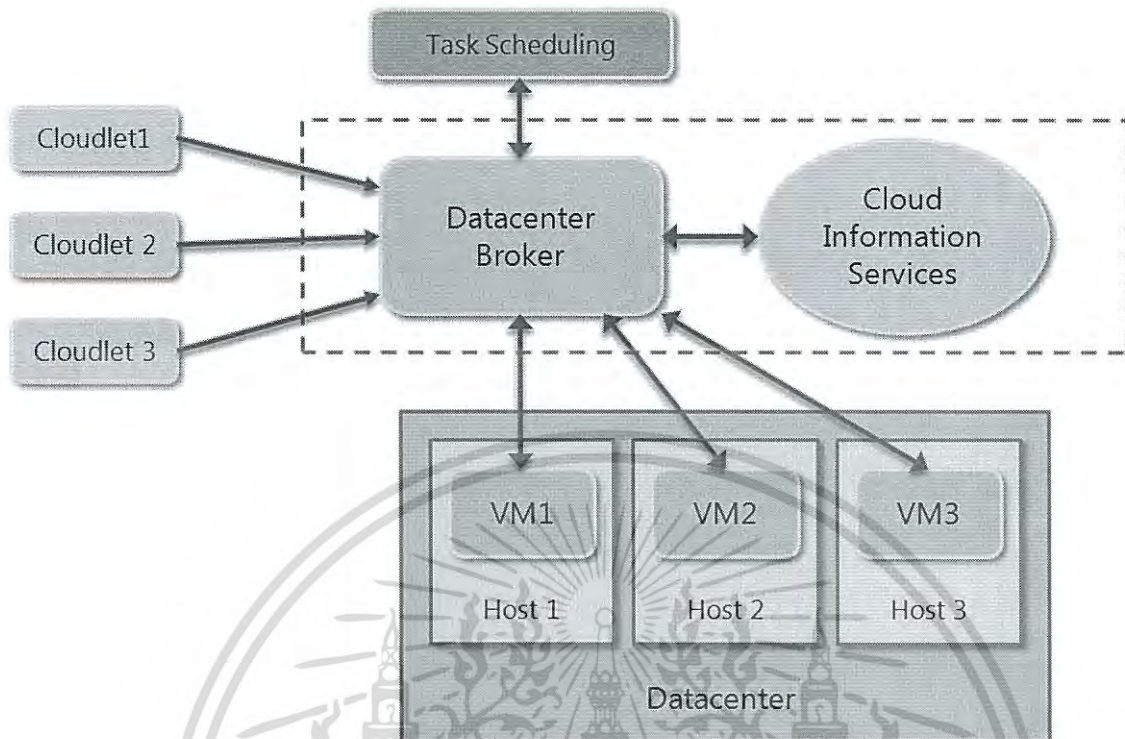
2.3.5 Priority scheduling algorithm

แต่ละงานจะถูกกำหนดลำดับความสำคัญ (Priority) โดยการพิจารณาจากพารามิเตอร์ (Parameter) ต่างๆ และจะถูกนำไปประมวลผลโดยเลือกงานที่มีความสำคัญมากที่สุดก่อน

2.3.6 Most fit task scheduling algorithm

เป็นการเลือกประมวลผลงานที่มีความเหมาะสมที่สุดในคิวก่อน ซึ่งความเหมาะสมนั้นจะพิจารณาเพียงบางพารามิเตอร์เท่านั้น

โดยเมื่อมีการเลือกวิธีการจัดตารางงานให้กับระบบประมวลผลแบบกลุ่มเมฆเป็นที่เรียบร้อยแล้ว จะมีกระบวนการจัดตารางงาน (Scheduling Process) ซึ่งสามารถแบ่งออกเป็นทั้งหมดสามขั้นตอนหลัก ได้แก่ ขั้นตอนการค้นหาและคัดกรองทรัพยากร (Resource Discovering and Filtering) ขั้นตอนการเลือกทรัพยากร (Resource Selection) และขั้นตอนการส่งมอบงาน (Task Submission)



รูปที่ 2.5 กระบวนการจัดตารางงานบนระบบประมวลผลแบบกลุ่มเมฆ

ขั้นตอนของกระบวนการจัดตารางงานสามารถอธิบายได้ดังรูปที่ 2.5

1) ขั้นตอนการค้นหาและคัดกรองทรัพยากร (Resource Discovering And Filtering)

Datacenter Broker จะทำการค้นหาทรัพยากรทั้งหมดที่อยู่ในระบบ และเก็บข้อมูลรวมถึงสถานะต่างๆที่เกี่ยวข้องเพื่อนำไปใช้งาน

2) ขั้นตอนการเลือกทรัพยากร (Resource Selection)

ในการเลือกทรัพยากรเพื่อนำไปใช้ในการประมวลผล จะถูกเลือกโดยขึ้นอยู่กับพารามิเตอร์ต่างๆของงานที่เข้ามาในระบบและทรัพยากรที่มีอยู่ โดยขั้นตอนนี้จะเป็นขั้นตอนการตัดสินใจในการจัดการเลือก VM ให้กับงาน

3) ขั้นตอนการส่งมอบงาน (Task Submission)

งานที่เข้ามาในระบบทั้งหมดจะถูก Datacenter Broker ส่งให้กับ VM เพื่อไปประมวลผลต่อไป

2.4 วิธีการเมตาฮีริสติก

ปัญหาทั่วไปในทางการวิจัยและดำเนินงานนั้นมีมากมาย ซึ่งปัญหาที่เป็นปัญหามาตรฐานนั้นจะใช้ในการพัฒนาหาวิธีการหาคำตอบใหม่ ๆ ซึ่งมีประสิทธิภาพสูงขึ้น ในขณะที่เวลาที่ใช้ในการหาคำตอบลดลงเรื่อยๆ เอกสารนี้เป็นเอกสารที่สงวนไว้สำหรับการใช้งานเพื่อการศึกษาเท่านั้น ไม่อนุญาตให้นำไปใช้ประโยชน์ด้านการค้า ไม่ว่าจะกรณีใดๆ ทั้งสิ้น อีกทั้งห้ามมิให้ดัดแปลงเนื้อหา และต้องอ้างอิงถึงเจ้าของเอกสารทุกครั้งที่มีการนำไปใช้

แต่เมื่อปัญหามีขนาดใหญ่ขึ้นจะมีจำนวนคำตอบที่เป็นไปได้มากขึ้น ซึ่งการคำนวณหาคำตอบที่ดีที่สุดจะเสียเวลามาก แต่หากใช้วิธีการทางฮิวริสติก (Heuristic) อาจจะใช้เวลาเพียงไม่กี่นาทีเท่านั้น แม้ว่าคำตอบที่ได้ อาจจะไม่ใช่ว่าคำตอบที่ดีที่สุด แต่คุณภาพของคำตอบก็ดีเพียงพอต่อความต้องการ ซึ่งเป็นข้อดีของการใช้วิธีการฮิวริสติกในการแก้ปัญหาแทนวิธีการที่ได้คำตอบที่ดีที่สุด

วิธีการฮิวริสติกเป็นระเบียบวิธีแบบอิสระที่สามารถสร้างวิธีหรือขั้นตอนใด ๆ ก็ได้ โดยการออกแบบวิธีการทางฮิวริสติกต้องออกแบบให้ใช้งานง่ายและมีประสิทธิภาพใช้งานได้จริง วิธีการสร้างฮิวริสติกอีกประเภทหนึ่งเรียกว่า เมตาฮิวริสติก (Meta-Heuristic) ซึ่งหมายถึง ชุดของลำดับขั้นการแก้ปัญหาหรือ อัลกอริทึม (Algorithm) แบบฮิวริสติกชนิดหนึ่งที่สามารถนำหลักการเดียวกันไปใช้แก้ปัญหาได้หลากหลายปัญหา ซึ่งในปัจจุบัน วิธีการออกแบบฮิวริสติกโดยอาศัยหลักการทางเมตาฮิวริสติกนี้ได้รับความนิยมเป็นอย่างสูงเนื่องจากคำตอบที่ได้จากวิธีการนี้ให้ผลที่ดี แก้ปัญหาได้รวดเร็วและนำไปใช้งานได้ง่าย

Blum และ Roli [19] ได้กล่าวถึงหลักการเบื้องต้นของเมตาฮิวริสติกดังนี้

- 1) เมตาฮิวริสติกมีระเบียบวิธีในการค้นหาคำตอบที่ดีภายในพื้นที่ของคำตอบที่เป็นไปได้ (Feasible Region)
- 2) เมตาฮิวริสติกมีจุดประสงค์เพื่อหาคำตอบที่ดีที่สุดหรือคำตอบที่ใกล้เคียงคำตอบที่ดีที่สุดภายในระยะเวลาอันสั้น
- 3) เมตาฮิวริสติกเป็นขั้นตอนการประมาณคำตอบ
- 4) เมตาฮิวริสติกอาจจะเกิดจากการรวมหลากหลายเทคนิค เพื่อค้นหาคำตอบที่ดีที่สุดภายในพื้นที่คำตอบที่เป็นไปได้

ในปัจจุบัน วิธีการทางด้านเมตาฮิวริสติกมีอยู่หลากหลายให้เลือกใช้ ซึ่งแต่ละวิธีการจะมีจุดดีและจุดด้อยที่แตกต่างกัน บางวิธีการให้ผลดีแต่ใช้เวลาในการคำนวณ บางวิธีการทำงานได้รวดเร็วแต่ให้ผลที่แย่กว่าวิธีการอื่น

ตัวอย่างของวิธีการเมตาฮิวริสติกที่เกิดจากแรงบันดาลใจตามธรรมชาติ ได้แก่ เจเนติกอัลกอริทึม (Genetic Algorithm) และวิธีระบบอาณานิคมมด (Ant Colony Optimization) จะถูกกล่าวถึงในส่วนถัดไป

2.4.1 วิธีระบบอาณานิคมมด

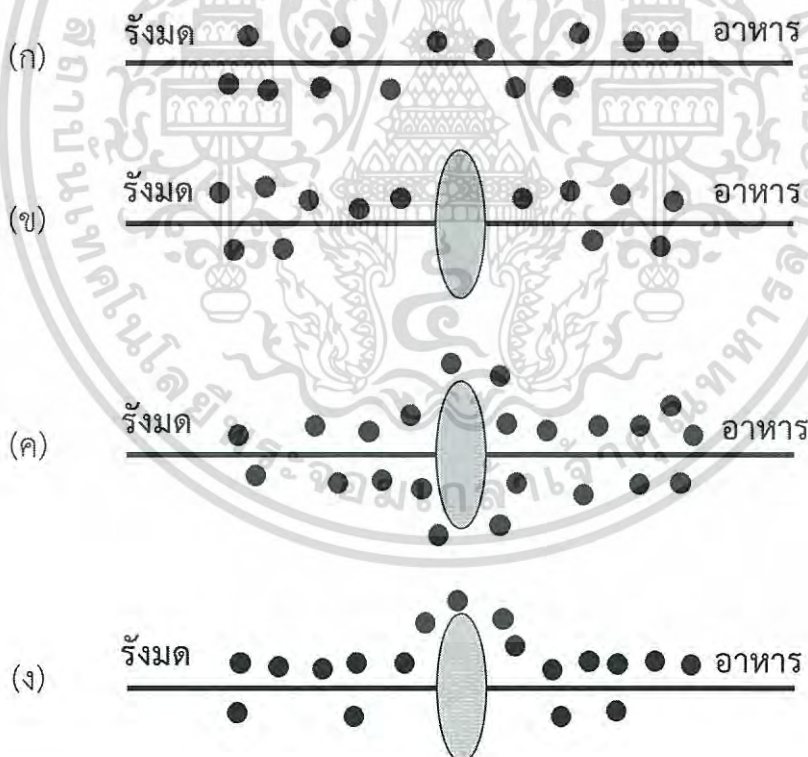
มาร์โค โดริโก (Marco Dorigo) และคณะ ได้เสนอแนวคิดวิธีการหาคำตอบโดยใช้ระบบอาณานิคมมด (Ant Colony Optimization: ACO) [20] ซึ่งเป็นอัลกอริทึมด้านวิวัฒนาการ (Evolutionary Algorithm) โดยมีขั้นตอนในการทำงานหลักคือการสร้างกลุ่มของตัวค้นหาผลลัพธ์ (Population of Solution) แล้วใช้หลักเกณฑ์ที่ต่างกันในการค้นหาแบบสโตแคสติก (Stochastic Search) ที่ทำการลอกเลียนแบบการพัฒนาตัวเองตามธรรมชาติ

โดยระบบอาณานิคมมด จะเลียนแบบพฤติกรรมกรรมการหาอาหารของมดโดยการค้นหาเส้นทางที่สั้นที่สุดระหว่างรังกับแหล่งอาหาร โดยมดจะเดินทางจากรังไปสู่แหล่งอาหารและกลับมาที่รังอีกครั้งหลังจากได้อาหาร

เอกสารนี้เป็นเอกสารที่สงวนไว้สำหรับการใช้งานเพื่อการศึกษาเท่านั้น ไม่อนุญาตให้นำไปใช้ประโยชน์ด้านการค้า ไม่ว่ากรณีใดๆ ทั้งสิ้น อีกทั้งห้ามมิให้ดัดแปลงเนื้อหา และต้องอ้างอิงถึงเจ้าของเอกสารทุกครั้งที่มีการนำไปใช้

แล้ว ในระหว่างเดินทาง มดจะปล่อยสารเคมีที่ชื่อว่าฟีโรโมน (Pheromone) เพื่อให้มดตัวอื่นๆเดินทางตามกลิ่นหรือร่องรอยของฟีโรโมนนั้นๆ เมื่อระยะเวลาผ่านไป ฟีโรโมนนี้จะสามารถระเหยไปได้ตามคุณสมบัติทางเคมี ดังนั้นระยะทางที่ยาวจนเกินไปจะทำให้ฟีโรโมนระเหยหมดระหว่างเดินทาง ในขณะที่เดียวกันหากระยะทางสั้นจะทำให้มีโอกาสเพิ่มฟีโรโมนในขณะที่เดินทางไปและกลับได้ก่อนที่ฟีโรโมนจะระเหย เมื่อมีการเดินทางของมดหลายๆตัวหรือมีการเดินทางหลายๆรอบ จะทำให้ฟีโรโมนเพิ่มความเข้มข้นขึ้นเรื่อยๆ ในทางตรงกันข้ามเส้นทางเดินที่มีระยะยาวกว่า จะมีแรงดึงดูดหรือระดับความเข้มข้นของฟีโรโมนน้อยกว่าเนื่องจากการระเหยมากกว่า และหากมีมดเดินทางผ่านเป็นจำนวนน้อยจะทำให้ฟีโรโมนมีความเจือจางและไม่ดึงดูดมดตัวอื่นๆในที่สุด

การทำงานของระบบอาณานิคมมดจะแสดงให้เห็นดังรูปที่ 2.6 โดย (ก) มดจะเริ่มเดินจากรังไปยังแหล่งอาหารพร้อมกับปล่อยฟีโรโมนไว้ระหว่างทาง และเมื่อมีสิ่งกีดขวางดัง (ข) มดจะทำการสูมเส้นทางไปทั้งด้านบนและด้านล่างพร้อมกับปล่อยฟีโรโมนไว้ในระหว่างทางเช่นเดียวกัน ในรูป (ค) เมื่อเวลาผ่านไปมดจะทำการเลือกเส้นทางตามความเข้มข้นของฟีโรโมนที่มดตัวอื่นได้ปล่อยไว้ และ (ง) คือผลลัพธ์ที่ได้โดยมดจะทำการเลือกเดินทางตามเส้นทางนี้ตลอดซึ่งจะเป็นระยะทางที่สั้นที่สุดในการเดินทางจากรังไปยังแหล่งอาหาร



รูปที่ 2.6 จำลองการทำงานของระบบอาณานิคมมด

เอกสารนี้เป็นเอกสารที่สงวนไว้สำหรับการใช้งานเพื่อการศึกษาเท่านั้น ไม่อนุญาตให้นำไปใช้ประโยชน์ด้านการค้าไม่ว่ากรณีใดๆ ทั้งสิ้น อีกทั้งห้ามมิให้ดัดแปลงเนื้อหา และต้องอ้างอิงถึงเจ้าของเอกสารทุกครั้งที่มีการนำไปใช้

ตัวอย่างของปัญหาที่นาระบบอานานิคมมดมาใช้เพื่อหาคำตอบ เช่น การหาเส้นทางที่สั้นที่สุดของ เซลส์แมน (Travelling Salesman Problem: TSP) การจัดตารางการผลิตแบบตามสั่ง (Job-Shop Scheduling) เป็นต้น

อัลกอริทึมของวิธีระบบอานานิคมมดสามารถเขียนเป็นรหัสเทียม (Pseudo Code) ได้ดังนี้

ตั้งค่าเริ่มต้นที่จำเป็น

เมื่อวนซ้ำยังไม่ครบจำนวนรอบที่กำหนดหรือเงื่อนไขอื่นๆที่ส่งผลให้หยุดการวนซ้ำยังไม่ครบกำหนด ดำเนินการ ดังนี้

เมื่อจำนวนมดยังไม่ครบตามจำนวนที่ตั้งค่าไว้

สร้างคำตอบเริ่มต้น

ปรับปรุงคำตอบ

สิ้นสุดการสร้างคำตอบจากมดแต่ละตัว

ปรับปรุงค่าฟีโรโมน

สิ้นสุดการวนซ้ำ

อัลกอริทึมการทำงานของระบบอาณาจักรมด เริ่มแรกมดจะทำการสุ่มประชากรจำนวนหนึ่ง โดยที่มดแต่ละตัวจะแทนผลลัพธ์ มดจะทำการเดินทางจะโหนดหนึ่งไปยังอีกโหนดหนึ่งหรือเรียกว่าการเปลี่ยนสถานะ ซึ่งมีสองทางเลือกคือ การเลือกสำรวจเพื่อหาผลเฉลย (Exploration) หรือการเลือกผลเฉลยโดยอาศัยความรู้เดิมที่มีอยู่ก่อนแล้ว (Exploitation) มดตัวที่ k ที่อยู่โหนด i จะทำการเลือกโหนดถัดไปที่จะเดินทางด้วยฟังก์ชันความน่าจะเป็นดังสมการที่ 1

$$P_{ij}^k(t) = \begin{cases} \frac{[\tau_{ij}(t)]^\alpha \cdot [\eta_{ij}]^\beta}{\sum_{l \in N_i^k} [\tau_{il}(t)]^\alpha \cdot [\eta_{il}]^\beta} & \text{if } j \in N_i^k \\ 0, & \text{otherwise} \end{cases} \quad \text{----- (1)}$$

$\tau_{ij}(t)$ คือ ค่าฟีโรโมนระหว่างโหนด i และโหนด j ในเวลา t

$\eta = 1/d_{ij}$ คือ ค่าฮิวริสติกในเวลา t โดย d_{ij} คือค่าของผลลัพธ์ที่ต้องการ

เอกสารนี้เป็นเอกสารที่สงวนไว้สำหรับการใช้งานเพื่อการศึกษาเท่านั้น ไม่อนุญาตให้นำไปใช้ประโยชน์ด้านการค้า ไม่ว่ากรณีใดๆ ทั้งสิ้น อีกทั้งห้ามมิให้ดัดแปลงเนื้อหา และต้องอ้างอิงถึงเจ้าของเอกสารทุกครั้งที่มีการนำไปใช้

โดยค่า $[\tau_{ij}(t)]^\alpha \cdot [\eta_{ij}]^\beta$ คือค่าความน่าสนใจ (Attractiveness) ของการเดินทางจากโหนด i ไปยังโหนด j ซึ่งค่าความสนใจจะมี 2 พารามิเตอร์ย่อย คือ นอกจากนี้อัลฟา α และบีตา β ซึ่งเป็นค่าคงที่ค่าหนึ่งที่จะบ่งชี้การให้น้ำหนัก (Weight) กับค่าฟีโรโมนกับระยะทางระหว่างการเชื่อมของโหนดสองโหนด โดยแอลฟาจะเป็นน้ำหนักที่ให้กับฟีโรโมน และบีตาจะเป็นน้ำหนักที่ให้กับค่าฮิวริสติกระหว่างสองโหนด

ในการอัปเดตค่าฟีโรโมน (Pheromone updating) จะทำหลังจากเมื่อมดทำการสร้างเส้นทางเรียบร้อยแล้วเพื่อหลีกเลี่ยงการสะสมของฟีโรโมนที่มีมากเกินไป โดยมดทุกตัวจะมีสิทธิ์ปล่อยฟีโรโมน แต่การปล่อยจะมีปริมาณที่ไม่เท่ากัน โดยสมการที่ใช้ในการปรับค่าฟีโรโมนจะแสดงให้ดังสมการที่ 2

$$\tau_{ij}(t) = (1 - \rho)\tau_{ij}(t) + \Delta\tau_{ij}(t) \quad \text{----- (2)}$$

ρ คือ อัตราการระเหยของฟีโรโมน (Evaporation rate) มีค่าระหว่าง $0 \leq \rho \leq 1$

$\Delta\tau_{ij}$ คือ ปริมาณของฟีโรโมนที่มดทุกตัวจะเพิ่มให้กับเส้นทางที่ได้เดินผ่านมาแล้ว สามารถคำนวณได้จากสมการที่ 3

$$\Delta\tau_{ij}(t) = \sum_{k=1}^m \Delta\tau_{ij}^k \quad \text{----- (3)}$$

และ $\Delta\tau_{ij}^k$ คือ ปริมาณของฟีโรโมนที่มดตัวที่ k จะเพิ่มให้กับเส้นทาง ซึ่งสามารถคำนวณได้ดังสมการ

ที่ 4

$$\Delta\tau_{ij}^k = \begin{cases} \frac{Q}{L^k(t)} & \text{if } (i, j) \in T^k(t) \\ 0 & \text{if } (i, j) \notin T^k(t) \end{cases} \quad \text{----- (4)}$$

$T^k(t)$ คือ เส้นทางที่สร้างโดยมด k ในเวลา t

$L^k(t)$ คือ ผลลัพธ์คาดหวังสำหรับเส้นทางที่สร้างโดยมด k ในเวลา t

Q คือ ค่าคงที่ใดๆ

และมดตัวที่ให้คำตอบที่ดีที่สุดจะทำการเพิ่มปริมาณฟีโรโมนบนเส้นทางอีกครั้ง เรียกว่า การอัปเดตฟีโรโมนแบบโกลบอล (Global pheromone updating) ดังแสดงในสมการที่ 6

$$\tau_{ij}(t) = \tau_{ij}(t) + \frac{Q}{L^+} \quad \text{if } (i, j) \in T^+ \quad \text{----- (6)}$$

เอกสารนี้เป็นเอกสารที่สงวนไว้สำหรับการใช้งานเพื่อการศึกษาเท่านั้น ไม่อนุญาตให้นำไปใช้ประโยชน์ด้านการค้าไม่ว่ากรณีใดๆ ทั้งสิ้น อีกทั้งห้ามมิให้ตัดแปลงเนื้อหา และต้องอ้างอิงถึงเจ้าของเอกสารทุกครั้งที่มีการนำไปใช้

L^+ คือ ผลลัพธ์ที่ได้ของเส้นทางที่ดีที่สุด

T^+ คือ เส้นทางที่สร้างมดที่ให้คำตอบที่ดีที่สุด

โดยค่าความน่าจะเป็นนี้ขึ้นอยู่กับค่าของฟังก์ชันเป้าหมายและปริมาณของฟีโรโมน และเมื่อเวลาผ่านไป ปริมาณฟีโรโมนจะระเหยเพื่อไม่ให้ลู่อู่เข้าหาคำตอบเร็วเกินไป (Convergence) เมื่อมดทุกตัวเดินทางไปยัง โหนดต่อไปจะมีการปรับค่า (Update) ปริมาณของฟีโรโมนสำหรับช่วงเวลาถัดไป เมื่อเวลาผ่านไปกระบวนการ Positive Feedback จะทำให้มดทุกตัวเลือกเดินทางในเส้นทางที่สั้นที่สุดและได้คำตอบที่ต้องการ

2.4.2 เจเนติกอัลกอริทึม

เจเนติกอัลกอริทึม (Genetic Algorithm) หรือเรียกอย่างย่อว่าจีเอ (GA) เป็นวิธีการเมตาฮิวริสติกที่นิยมนำมาใช้กันอย่างแพร่หลาย ถูกคิดค้นและนำเสนอโดยจอห์น เฮนรี ฮอลแลนด์ (John Henry Holland) ในปีค.ศ. 1970 โดยสามารถนำมาใช้ในการแก้ปัญหาหรือค้นหาคำตอบเพื่อให้ได้วิธีการหรือคำตอบที่ดีที่สุด ซึ่งได้รับแรงบันดาลใจมาจากวิธีการวิวัฒนาการ (Evolution) ของสิ่งมีชีวิตตามทฤษฎีของชาร์ล ดาร์วิน (Charles Darwin) โดยในปีค.ศ. 1859 เขาได้เสนอทฤษฎีวิวัฒนาการของสิ่งมีชีวิตโดยอธิบายกระบวนการในการคัดเลือกสิ่งมีชีวิตให้อยู่รอดสำหรับรุ่นถัดไป

ชาร์ล ดาร์วินได้กล่าวไว้ว่าแต่ละรุ่นของการวิวัฒนาการนั้นจะมีการคัดเลือกผู้ที่มีความเหมาะสมที่จะอยู่รอด (Survival of The Fittest) เพื่อทำการผสมพันธุ์และสร้างประชากรรุ่นใหม่ที่ดีกว่าเดิมขึ้นมา

ต่อมาเมนเดล (Mendel) ได้เสนอการทดลองการข้ามผสมพันธุ์ในปี ค.ศ. 1901 เป็นการอธิบายเพิ่มเติมสำหรับทฤษฎีของดาร์วิน โดยสรุปว่าในการวิวัฒนาการของสิ่งมีชีวิตตามธรรมชาตินั้นเป็นไปเพื่อปรับปรุงให้เป็นสิ่งมีชีวิตที่ดีขึ้นกว่าเดิมตามธรรมชาติ โดยมีลักษณะของพันธุกรรมที่ถ่ายทอดต่อกันมาจากรุ่นสู่รุ่นในลักษณะของยีน (Gene) โดยยีนจะอยู่ในโครโมโซม (Chromosome) ของสิ่งมีชีวิต ดังนั้นโดยส่วนใหญ่แล้วในขั้นตอนของการวิวัฒนาการนั้น ลูกมักจะมีคุณสมบัติที่ดีกว่าพ่อแม่หรือบรรพบุรุษอยู่เสมอ จึงได้สิ่งมีชีวิตที่มีวิวัฒนาการที่ดีขึ้นเรื่อยๆ

ดังนั้นเจเนติกอัลกอริทึมเป็นแนวคิดในการแก้ปัญหาและค้นหาคำตอบด้วยการเลียนแบบกระบวนการทางธรรมชาติ ซึ่งเป็นการผสมผสานกันระหว่างการค้นหาแบบสุ่มและการเปรียบเทียบคำตอบที่ได้คล้ายการค้นหาแบบ Hill Climbing Technique แต่ต่างกันว่าเจเนติกอัลกอริทึมใช้การผสมชุดคำตอบที่มีความเหมาะสมและคัดเลือกคำตอบที่ดีกว่าเพื่อสร้างชุดคำตอบที่ดียิ่งขึ้น

องค์ประกอบหลักของเจเนติกอัลกอริทึม มีดังนี้

- 1) การออกแบบโครโมโซมแทนคำตอบ (Chromosome Encoding)
- 2) ประชากรเริ่มต้น (Initial Population)
- 3) ฟังก์ชันวัตถุประสงค์ (Fitness Function)

เอกสารนี้เป็นเอกสารที่สงวนไว้สำหรับการใช้งานเพื่อการศึกษาเท่านั้น ไม่อนุญาตให้นำไปใช้ประโยชน์ด้านการค้า ไม่ว่ากรณีใดๆ ทั้งสิ้น อีกทั้งห้ามมิให้ดัดแปลงเนื้อหา และต้องอ้างอิงถึงเจ้าของเอกสารทุกครั้งที่มีการนำไปใช้

4) วิธีการถ่ายทอดทางพันธุกรรม (Genetic Operator)

โดยรายละเอียดในแต่ละองค์ประกอบจะอธิบายในส่วนถัดไป

1) การออกแบบโครโมโซมแทนคำตอบ (Chromosome Encoding)

เป็นขั้นตอนการออกแบบโครโมโซมเพื่อให้สอดคล้องกับปัญหาจริงที่ต้องการพัฒนาวิธีการแก้ปัญหา ด้วยเจเนติกอัลกอริทึม วิธีการออกแบบโครโมโซมเพื่อแทนคำตอบมีหลายวิธี ดังรายละเอียดต่อไปนี้

1.1) การออกแบบโครโมโซมแบบไบนารี (Binary Encoding) เป็นการออกแบบโครโมโซมที่แทนที่ด้วย 0 หรือ 1 เท่านั้น

1.2) การออกแบบโครโมโซมแบบลำดับ (Permutation Encoding) เป็นการออกแบบโครโมโซมที่ใช้เป็นตัวเลขทั่วไปได้ เช่น ตัวเลขที่บอกถึงลำดับขั้นตอนในการทำงานหรือเดินทาง

1.3) การออกแบบโครโมโซมแบบใช้ค่าหรือเครื่องหมายจริง (Value Encoding) เป็นการออกแบบโครโมโซมที่ใช้เลขจำนวนจริงหรือใช้อักขระที่เป็นตัวแทนของคำตอบจริงมาใช้ในการแทนค่าในโครโมโซม

2) การสร้างประชากรเริ่มต้น (Initial Population)

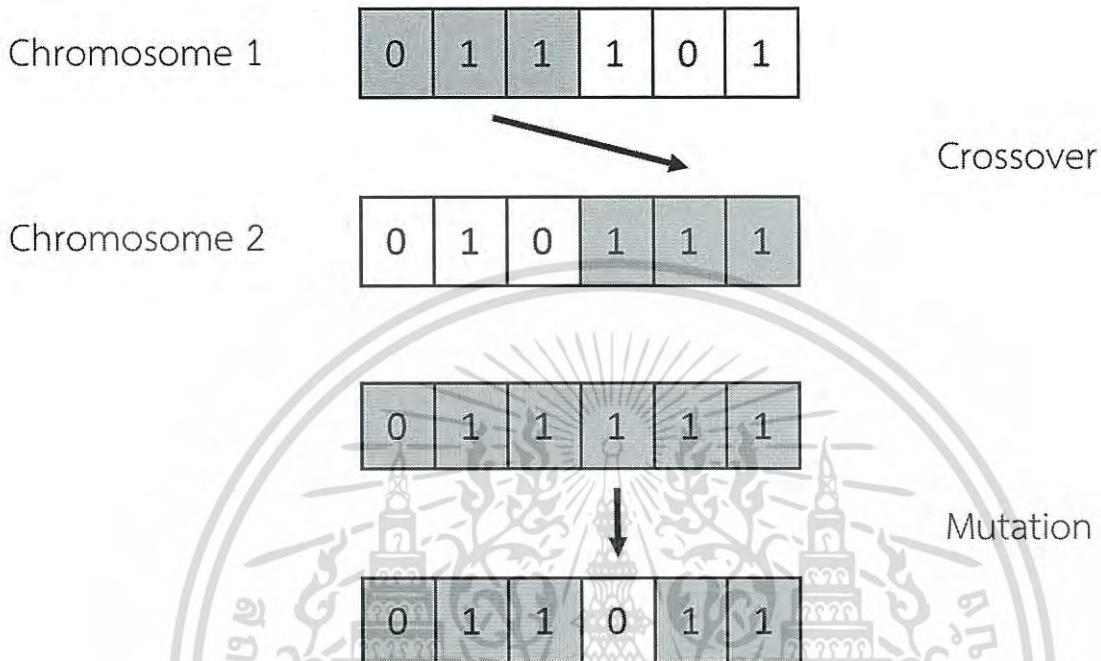
สร้างประชากรขึ้นมาโดยใช้โครโมโซม (Chromosome) เพื่อใช้แทนประชากรแต่ละตัว (Individual) โดยแต่ละโครโมโซมจะประกอบด้วยยีนต่างๆ เพื่อถ่ายทอดคุณสมบัติเฉพาะของตนไปยังประชากรรุ่นถัดไปได้ โดยขั้นตอนนี้จะเรียกว่า Genotype Representation โดยนิยมใช้อาร์เรย์ (Array) ในการแทนโครโมโซม มักกำหนดในรูปแบบของแถวของอักขระ (String of Alphabet) หรือแถวของเลขฐานสอง (Bit String) ตัวอย่างการกำหนดโครโมโซมอย่างง่าย เช่น {100101} โดยตำแหน่งของยีนในแต่ละโครโมโซมจะแทนลักษณะขององค์ประกอบย่อยขอบเขตคำตอบของปัญหา แต่อย่างไรก็ดี สามารถกำหนดยีนและโครโมโซมในรูปแบบอื่นได้ ขึ้นอยู่กับลักษณะของปัญหาและคำตอบที่ต้องการ

3) การกำหนดฟังก์ชันวัตถุประสงค์ (fitness Function)

การวัดความเหมาะสมของแต่ละโครโมโซมจะได้ค่าออกมาค่าหนึ่งซึ่งเรียกว่าค่าฟิตเนส (Fitness Value) เพื่อให้คะแนนคำตอบต่างๆที่เป็นไปได้ เป็นการบ่งบอกว่าโครโมโซมนั้นๆเหมาะสมที่ถูกถ่ายทอดไปยังอีกรุ่นหนึ่งหรือไม่ ซึ่งค่าฟิตเนสนั้นยิ่งมากจะเป็นการบอกว่าโครโมโซมดังกล่าวมีคุณภาพมากกว่า โดยฟังก์ชันที่ใช้ในการหาค่าฟิตเนสจะเรียกว่าฟิตเนสฟังก์ชัน (fitness function) โดยใช้ข้อมูลจากโครโมโซม ได้แก่ ยีนและตำแหน่งของยีนในโครโมโซม นอกจากนี้ยังสามารถคำนวณข้อจำกัด (Constraints) อื่นๆ การกำหนดฟิตเนสฟังก์ชันจะขึ้นอยู่กับคำตอบของปัญหาที่ต้องการหา

เอกสารนี้เป็นเอกสารที่สงวนไว้สำหรับการใช้งานเพื่อการศึกษาเท่านั้น ไม่อนุญาตให้นำไปใช้ประโยชน์ด้านการค้า ไม่ว่ากรณีใดๆ ทั้งสิ้น อีกทั้งห้ามมิให้ดัดแปลงเนื้อหา และต้องอ้างอิงถึงเจ้าของเอกสารทุกครั้งที่มีการนำไปใช้

ตัวอย่างของการครอสโอเวอร์และมิวเทชันแสดงให้เห็นดังรูป 2.7 โดยจะทำการครอสโอเวอร์แบบการแลกเปลี่ยนยีนข้ามโครโมโซมแบบหนึ่งจุด



รูปที่ 2.7 ตัวอย่างการครอสโอเวอร์และมิวเทชัน

5) การทำซ้ำ (Repetition)

กระบวนการทั้งหมดจะถูกทำซ้ำจนกว่าจะตรงตามเงื่อนไขที่ได้กำหนดไว้ โดยรูปที่ 2.8 จะแสดงแผนผังการทำงานของเจเนติกอัลกอริทึมแบบพื้นฐาน

เอกสารนี้เป็นเอกสารที่สงวนไว้สำหรับการใช้งานเพื่อการศึกษาเท่านั้น ไม่อนุญาตให้นำไปใช้ประโยชน์ด้านการค้า ไม่ว่ากรณีใดๆ ทั้งสิ้น อีกทั้งห้ามมิให้ดัดแปลงเนื้อหา และต้องอ้างอิงถึงเจ้าของเอกสารทุกครั้งที่มีการนำไปใช้

4) ตัวดำเนินการทางพันธุกรรม (Genetic Operator)

ตัวดำเนินการทางพันธุกรรม คือ ตัวดำเนินการต่างๆเพื่อให้เกิดการถ่ายทอดจากประชากรรุ่นหนึ่งไปสู่อีกรุ่นหนึ่ง ไม่ว่าจะเป็นการคัดเลือกสายพันธุ์ (Selection) การแลกเปลี่ยนยีนข้ามโครโมโซมหรือครอสโอเวอร์ (Crossover) การปรับเปลี่ยนยีนภายในโครโมโซมหรือมิวเทชัน (Mutation)

นอกจากวิธีการทั้งสามแล้ว การกำหนดค่าพารามิเตอร์ที่เกี่ยวข้องกับวิธีการทั้งสามนี้ก็มีผลกับคำตอบเช่นเดียวกัน พารามิเตอร์ที่จำเป็นต่อการดำเนินการต่างๆทางพันธุกรรม เช่น ขนาดของประชากรในแต่ละรุ่น ความน่าจะเป็นในการเลือกใช้วิธีการถ่ายทอดทางพันธุกรรมทั้งสามแบบ เป็นต้น รายละเอียดของค่าพารามิเตอร์ต่างๆสามารถอธิบายได้ตามลำดับต่อไปนี้

การคัดเลือกประชากรที่เหมาะสมที่จะนำไปเป็นประชากรรุ่นถัดไป จะคัดเลือกมาเพียงส่วนหนึ่งเท่านั้น วิธีการทั่วไปที่ใช้สำหรับการคัดเลือกประชากร เช่น การคัดเลือกแบบ Roulette Wheel คือการสุ่มเลือกด้วยความน่าจะเป็นในการถูกคัดเลือกตามสัดส่วนของคะแนนความเหมาะสมของประชากรจากคะแนนรวมทั้งหมด เป็นต้น

จำนวนประชากรที่เหลือจะถูกสร้างขึ้นมาด้วยการครอสโอเวอร์และมิวเทชันเพื่อเป็นการสร้างประชากรรูปแบบใหม่ขึ้นมาและอาจมีโอกาสที่ได้ประชากรที่มีคุณภาพมากกว่าเดิม ซึ่งวิธีการทั้งสองแบบมีกระบวนการทำงานดังนี้

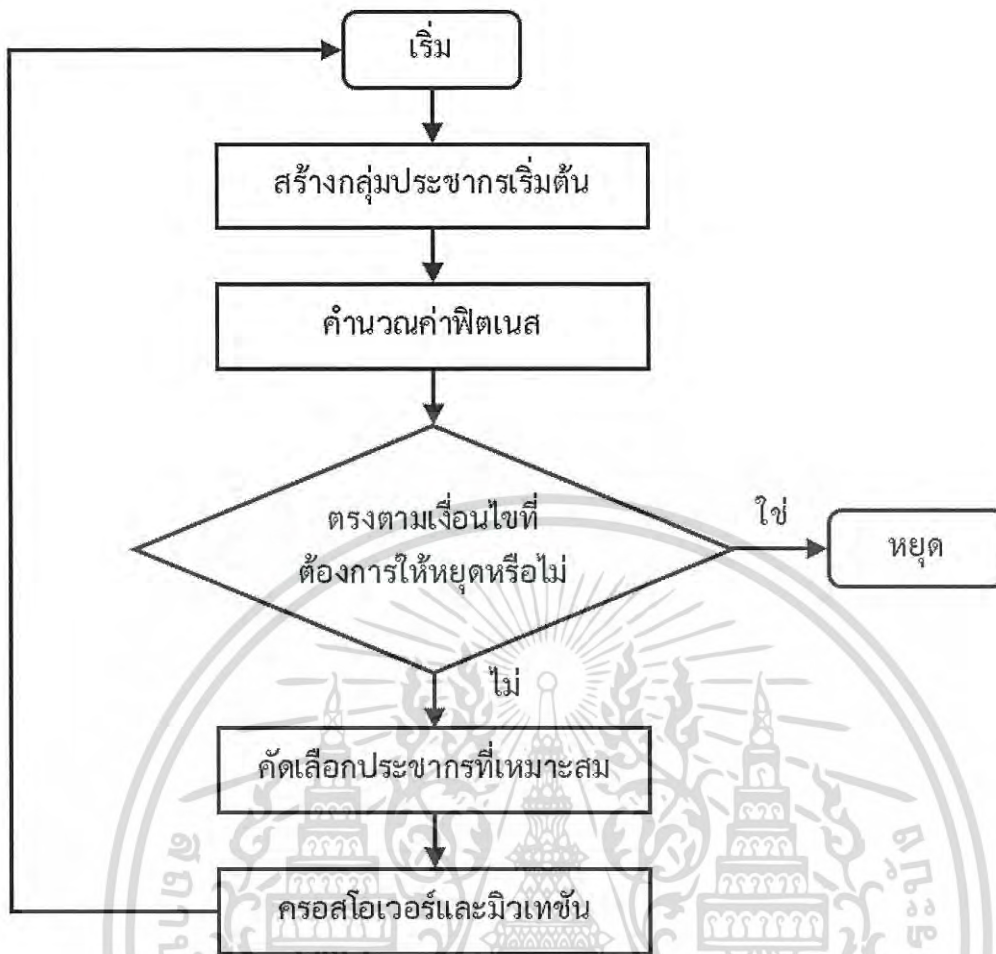
1) ครอสโอเวอร์ (Crossover)

การครอสโอเวอร์คือการที่สองโครโมโซมแลกเปลี่ยนกันและได้โครโมโซมใหม่ขึ้นมา หรือโครโมโซมรุ่นลูก (Offspring) ซึ่งจะมีส่วนที่เหมือนกับโครโมโซมรุ่นพ่อแม่ (Parent) โดยวิธีการในการแลกเปลี่ยนกันก็มีหลากหลายรูปแบบ ตัวอย่างเช่น การแลกเปลี่ยนยีนข้ามโครโมโซมแบบหนึ่งจุด (Single Point Crossover) การแลกเปลี่ยนยีนข้ามโครโมโซมแบบสองจุด (Two Points Crossover) การแลกเปลี่ยนยีนข้ามโครโมโซมแบบลำดับ (Order Crossover) การแลกเปลี่ยนยีนข้ามโครโมโซมแบบยึดตำแหน่งเป็นหลัก (Position Based Crossover) การแลกเปลี่ยนยีนข้ามโครโมโซมแบบวนรอบ (Cycle Crossover) การแลกเปลี่ยนยีนข้ามโครโมโซมแบบการจับคู่ปรับบางส่วน (Partial Mapped Crossover) เป็นต้น

2) มิวเทชัน (Mutation)

การมิวเทชันคือการเปลี่ยนรูปแบบของยีนบางส่วนเพื่อให้เกิดโครโมโซมที่มีลักษณะใหม่ขึ้นมาที่อาจให้คำตอบที่ดีขึ้นกว่าเดิม สามารถทำได้ด้วยการสุ่มเปลี่ยนยีนในโครโมโซมในอัตราความน่าจะเป็นในช่วง 0-100 โดยทั่วไปค่าความน่าจะเป็นของการปรับเปลี่ยนยีนภายในโครโมโซมจะถูกกำหนดไว้ให้อยู่ในช่วง 0-1% ของจำนวนตำแหน่งโครโมโซม หากปรับเปลี่ยนยีนภายในโครโมโซมให้เป็น 100% จะทำให้ทุกตำแหน่งในโครโมโซมมีการเปลี่ยนแปลงทั้งหมด ซึ่งปกติแล้วในเจเนติกอัลกอริทึมอาจเกิดกรณีแบบนี้ขึ้นได้แต่ไม่บ่อยนัก เพราะจะทำให้การค้นหาในเจเนติกอัลกอริทึมกลายเป็นการค้นหาแบบสุ่ม (Random Search) ตัวอย่างของวิธีการปรับเปลี่ยนยีนภายในโครโมโซม เช่น การปรับเปลี่ยนภายในโครโมโซมแบบอินเวอร์ส (Inversion Mutation) การปรับเปลี่ยนโครโมโซมด้วยการแทรก (Insertion Mutation)

เอกสารนี้เป็นเอกสารที่สงวนไว้สำหรับการใช้งานเพื่อการศึกษาเท่านั้น ไม่อนุญาตให้นำไปใช้ประโยชน์ด้านการค้า ไม่ว่าจะกรณีใดๆ ทั้งสิ้น อีกทั้งห้ามมิให้ดัดแปลงเนื้อหา และต้องอ้างอิงถึงเจ้าของเอกสารทุกครั้งที่มีการนำไปใช้



รูปที่ 2.8 เจเนติกอัลกอริทึมแบบพื้นฐาน

6) ตรวจสอบเงื่อนไขหยุดการทำงาน

เงื่อนไขในการหยุดการทำงานของเจเนติกอัลกอริทึมมีได้หลายรูปแบบ เช่น ทำงานครบตามจำนวนรอบ (รุ่น) ที่ต้องการ หรือคำตอบที่ได้เป็นคำตอบที่น่าพอใจแล้ว

2.6 เซลลูลาร์ออโตมาตา

เซลลูลาร์ออโตมาตา (Cellular Automata: CA) ถูกพัฒนาโดย John Von Neumann และ Stanisław Ulam ในปีค.ศ. 1940 โดยเซลลูลาร์ออโตมาตาเป็นระบบที่มีเวลาแบบไม่ต่อเนื่อง (discrete-time system) ที่สามารถใช้ในการสร้างแบบจำลองปรากฏการณ์หลายอย่างทั้งในระบบแบบกายภาพ (physical system) และแบบธรรมชาติ (natural system)

โมเดลของเซลลูลาร์ออโตมาตาจะอยู่ในรูปของเซลล์ (Cell) ประกอบกันจำนวนตั้งแต่หนึ่งเซลล์ขึ้นไป ซึ่งมีลักษณะสำคัญสามประการดังนี้

เอกสารนี้เป็นเอกสารที่สงวนไว้สำหรับการใช้งานเพื่อการศึกษาเท่านั้น ไม่อนุญาตให้นำไปใช้ประโยชน์ด้านการค้า ไม่ว่ากรณีใดๆ ทั้งสิ้น อีกทั้งห้ามมิให้ดัดแปลงเนื้อหา และต้องอ้างอิงถึงเจ้าของเอกสารทุกครั้งที่มีการนำไปใช้

- 1) กริด (Grid) เซลล์ทุกๆเซลล์ของเซลล์ลาร์อโตมาตาอาศัยอยู่บนกริด
 - 2) สถานะ (State) แต่ละเซลล์มีสถานะกำหนดอยู่ โดยจำนวนสถานะของเซลล์จะเป็นจำนวนที่มีขอบเขต (finite) และสถานะของเซลล์ที่น้อยที่สุดที่สามารถมีได้คือสองสถานะ ได้แก่ 0 และ 1 ซึ่งจะกล่าวในส่วนถัดไป
 - 3) เพื่อนบ้าน (Neighborhood) แต่ละเซลล์จะมีเพื่อนบ้านซึ่งก็คือเซลล์ที่อยู่ข้างเคียง
- ในส่วนถัดไปจะกล่าวถึงรูปแบบของเซลล์ลาร์อโตมาตาที่เป็นรูปแบบพื้นฐานและเรียบง่ายที่สุด นั่นคือเซลล์ลาร์อโตมาตาแบบพื้นฐาน (Elementary Cellular Automata)

2.6.1 เซลล์ลาร์อโตมาตาแบบพื้นฐาน (Elementary Cellular Automata)

เซลล์ลาร์อโตมาตาแบบพื้นฐาน หรือเรียกอีกชื่อหนึ่งว่า เซลล์ลาร์อโตมาตาแบบไบนารีหนึ่งมิติ (One-Dimensional Binary Cellular Automata) ซึ่งเป็นเซลล์ลาร์อโตมาตาที่มีรูปแบบอย่างง่ายที่สุด ส่วนประกอบสำคัญหลักสามประการของเซลล์ลาร์อโตมาตาแบบพื้นฐานมีดังนี้

1) กริด (Grid)

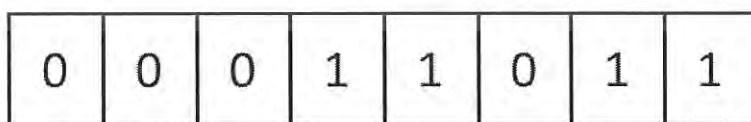
โดยกริดในรูปแบบพื้นฐานที่สุดคือแบบหนึ่งมิติ (One-Dimensional Grid) ดังรูป 2.9 และหนึ่งช่องของกริดจะเรียกว่า เซลล์ลาร์อโตเมตอน (Cellular Automaton) หรือเซลล์ (Cell)



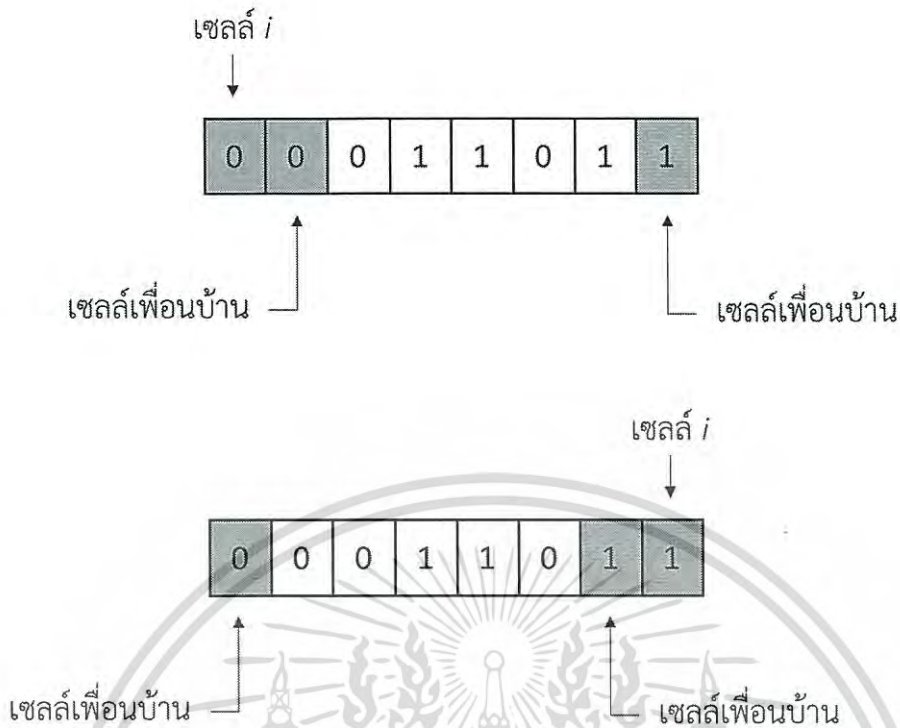
รูปที่ 2.9 ตัวอย่างของกริดในเซลล์ลาร์อโตมาตา

2) สถานะ (State)

จำนวนสถานะของเซลล์ในรูปแบบที่ง่ายที่สุดคือสองสถานะ ได้แก่ 0 หรือ 1 ดังรูป 2.10

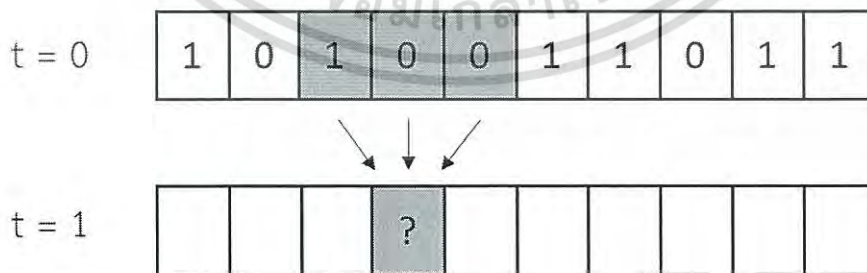


รูปที่ 2.10 ตัวอย่างของสถานะในเซลล์ลาร์อโตมาตา



รูปที่ 2.12 ตัวอย่างของเพื่อนบ้านของเซลล์แรกและเซลล์สุดท้าย

จากที่ได้กล่าวมาแล้วว่าสถานะที่เป็นไปได้จะมีทั้งหมดสองสถานะ คือ 0 หรือ 1 เซลล์ลาร์วอโตมาตาจะมีการวิวัฒนาการตามเวลาที่เปลี่ยนแปลง โดยการวิวัฒนาการคือการเปลี่ยนแปลงสถานะของเซลล์ในเวลา $t+1$ โดยสถานะใหม่ของเซลล์ในเวลา $t+1$ จะขึ้นอยู่กับกฎที่ถูกเลือกใช้ กฎการเปลี่ยนสถานะของเซลล์คือตารางที่ระบุสถานะถัดไปที่เวลา $t+1$ ซึ่งจะพิจารณาจากสถานะปัจจุบันของตัวเองและเซลล์เพื่อนบ้านที่เวลา t ดังรูป 2.13 เวลาเริ่มต้นคือที่ $t = 0$ และดำเนินต่อเนื่องไปเรื่อยๆ เป็น $t = 1, 2, 3, \dots$



รูปที่ 2.13 วิวัฒนาการของเซลล์ลาร์วอโตมาตาแบบพื้นฐาน

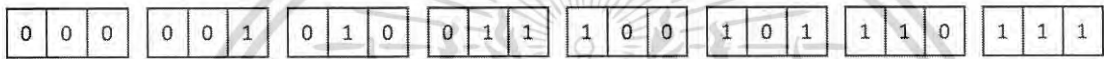
เอกสารนี้เป็นเอกสารที่สงวนไว้สำหรับการใช้งานเพื่อการศึกษาเท่านั้น ไม่อนุญาตให้นำไปใช้ประโยชน์ด้านการค้า ไม่ว่าจะกรณีใดๆ ทั้งสิ้น อีกทั้งห้ามมิให้ดัดแปลงเนื้อหา และต้องอ้างอิงถึงเจ้าของเอกสารทุกครั้งที่มีการนำไปใช้

ดังนั้นวิวัฒนาการของเซลล์ i ที่มีสถานะคือ $C_i(t)$ ในเวลา $t+1$ จะทำให้เกิดสถานะใหม่ คือ $C_i(t+1)$ สามารถอธิบายได้ดังสมการที่ 7

$$C_i(t+1) = \varphi[C_{i-1}(t), C_i(t), C_{i+1}(t)] \quad \text{----- (7)}$$

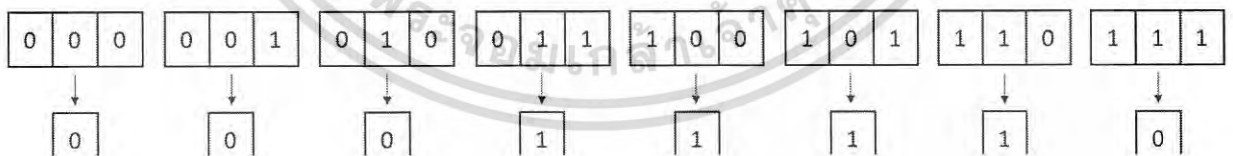
นั่นคือสถานะใหม่ของเซลล์ i จะเป็นสถานะใดขึ้นอยู่กับสถานะปัจจุบันของตัวมันเองและเซลล์เพื่อนบ้านที่อยู่ติดกัน

เนื่องจากเซลล์ที่ถูกนำมาพิจารณาในการเปลี่ยนสถานะของแต่ละเซลล์จะมีทั้งหมดสามเซลล์ แต่ละเซลล์จะมีสถานะที่เป็นไปได้คือ 0 หรือ 1 ทำให้รูปแบบของการจัดเรียงสถานะของทั้งสามเซลล์ที่เป็นไปได้มีทั้งหมดแปดรูปแบบ (2^3) ดังรูป 2.14



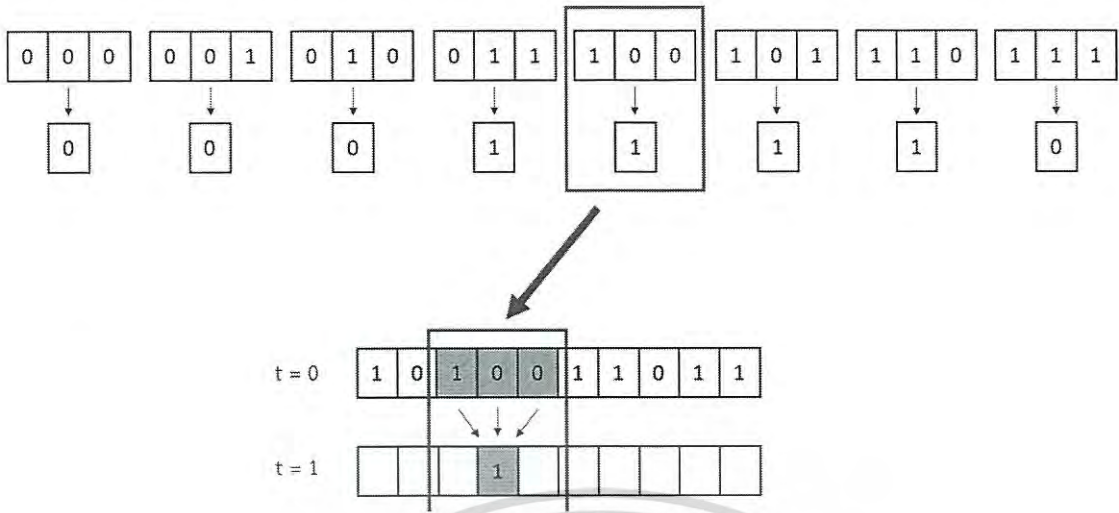
รูปที่ 2.14 รูปแบบการจัดเรียงสถานะที่เป็นไปได้ของเซลล์สามเซลล์

เมื่อกำหนดรูปแบบของการจัดเรียงสถานะที่เป็นไปได้ของเซลล์สามเซลล์ทั้งหมดแล้ว จากนั้นกำหนดผลลัพธ์ (Outcome) ที่ได้จากการพิจารณาทั้งสามเซลล์ซึ่งก็คือสถานะถัดไปของเซลล์ที่อยู่ตรงกลางแต่ละรูปแบบ ดังรูป 2.15 ซึ่งเป็นตัวอย่างของกฎที่นำมาใช้กับเซลล์ูลาร์อโตมาตา โดยชื่อของกฎจะเรียกตามสถานะใหม่ที่เกิดจากรูปแบบทั้งหมด ในตัวอย่างเรียกว่า กฎ 30 (00011110_2) และตัวอย่างของการนำกฎ 30 มาใช้งานกับเซลล์ูลาร์อโตมาตาจะแสดงให้เห็นดังรูป 2.16



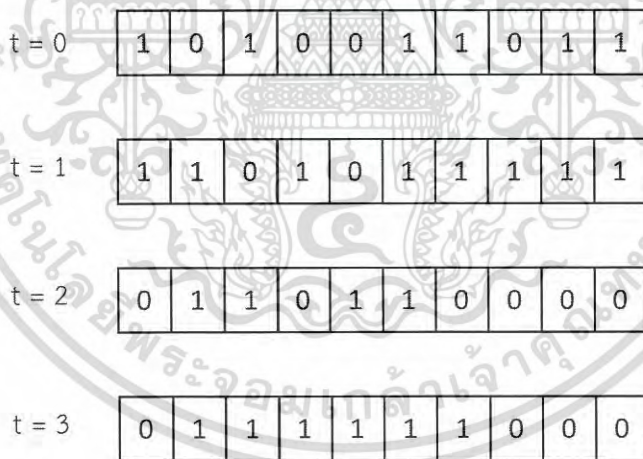
รูปที่ 2.15 กฎ 30

เอกสารนี้เป็นเอกสารที่สงวนไว้สำหรับการใช้งานเพื่อการศึกษาเท่านั้น ไม่อนุญาตให้นำไปใช้ประโยชน์ด้านการค้า ไม่ว่ากรณีใดๆ ทั้งสิ้น อีกทั้งห้ามมิให้ดัดแปลงเนื้อหา และต้องอ้างอิงถึงเจ้าของเอกสารทุกครั้งที่มีการนำไปใช้



รูปที่ 2.16 ตัวอย่างการเปลี่ยนสถานะของเซลล์โดยใช้กฎ 30

เมื่อนำมากฎ 30 ใช้กับเซลล์ลาร์อโตมาตาในรูป 2.20 ที่เวลา $t = 0$ จะทำให้มีวิวัฒนาการดังรูป 2.17 เมื่อเวลาผ่านไป



รูปที่ 2.17 วิวัฒนาการของเซลล์ลาร์อโตมาตาเมื่อใช้กฎ 30

เอกสารนี้เป็นเอกสารที่สงวนไว้สำหรับการใช้งานเพื่อการศึกษาเท่านั้น ไม่อนุญาตให้นำไปใช้ประโยชน์ด้านการค้า ไม่ว่ากรณีใดๆ ทั้งสิ้น อีกทั้งห้ามมิให้ดัดแปลงเนื้อหา และต้องอ้างอิงถึงเจ้าของเอกสารทุกครั้งที่มีการนำไปใช้

บทที่ 3

งานวิจัยที่เกี่ยวข้อง

3.1 ทบทวนงานวิจัยที่เกี่ยวข้อง

เนื่องจากระบบการประมวลผลแบบกลุ่มเมฆได้พัฒนามาจากระบบการประมวลผลแบบกระจาย (Distributed Computing) การประมวลผลแบบขนาน (Parallel Computing) และการประมวลผลแบบกริด (Grid Computing) ทำให้สามารถนำวิธีการจัดสรรงานจากระบบอื่นมาประยุกต์ใช้ในระบบการประมวลผลแบบกลุ่มเมฆได้ ซึ่งการจัดตารางงานในระบบการประมวลผลแบบกลุ่มเมฆเป็นสิ่งสำคัญที่ต้องมีการพัฒนาในดียิ่งขึ้นเพื่อลดระยะเวลาในการประมวลผลของงานที่เข้ามาในระบบทั้งหมดและเป็นการเพิ่มประสิทธิภาพในการทำงานให้กับระบบ จึงได้มีการพัฒนาวิธีการต่างๆเพื่อใช้ในการจัดตารางงานขึ้นมาหลายวิธี

ปัญหาการจัดตารางงานเป็นปัญหาแบบ Np-Hard ที่มีความยากในการแก้ปัญหา การที่จะแก้ปัญหาได้อย่างมีประสิทธิภาพนิยมใช้วิธีการเมตาฮีริสติก (Meta-Heuristic) ซึ่งถูกพัฒนาขึ้นมาเพื่อใช้ในการแก้ปัญหาที่มีความยากและซับซ้อน ช่วยลดระยะเวลาในการคำนวณให้น้อยลงและได้คำตอบที่ดีที่สุด มีผู้คิดค้นวิธีการเมตาฮีริสติกต่างๆมากมาย เช่น เจเนติกอัลกอริทึม (Genetic Algorithm) ที่อาศัยหลักการจากทฤษฎีวิวัฒนาการจากชีววิทยาและการคัดเลือกตามธรรมชาติ วิธีอาณานิคมมด (Ant Colony Optimization) เป็นการเลียนแบบจากการหาอาหารของมด เป็นต้น

สำหรับเจเนติกอัลกอริทึมได้เป็นที่นิยมและมีผู้นำไปพัฒนากันอย่างหลากหลายเพื่อใช้ในการแก้ปัญหาจัดสรรงาน ผู้เขียนใน [12] ได้นำเจเนติกอัลกอริทึมมาใช้ในระบบมัลติโพรเซสเซอร์เพื่อลดระยะเวลาในการประมวลผลของงานทั้งหมดโดยกำหนดให้โครโมโซมคือการจัดสรรงานให้กับแต่ละโพรเซสเซอร์ และค่าฟิตเนสคือเวลาที่ใช้ในการประมวลผลงานที่เข้ามา

ในการประมวลผลแบบกริดได้มีผู้นำเจเนติกอัลกอริทึมมาใช้เช่นกัน ดังผู้เขียนใน [13] และ [15] รวมถึงในระบบการประมวลผลแบบกระจายในงานวิจัย [16] และ [17] โดยจะมีการทำงานพื้นฐานที่เหมือนกันคือกำหนดให้การจัดสรรงานเป็นโครโมโซมในอัลกอริทึม

และนอกจากนี้เจเนติกอัลกอริทึมยังถูกนำไปใช้ทำงานร่วมกับวิธีการอื่นๆเพื่อเพิ่มประสิทธิภาพการทำงานของอัลกอริทึมให้ดียิ่งขึ้น หนึ่งในวิธีการเหล่านั้นคือเซลล์ลาร์อโตมาตา

ผู้เขียนใน [4] และ [5] ได้นำเสนอการจัดการตารางงานที่ใช้เซลล์ลาร์อโตมาตาทำงานร่วมกับเจเนติกอัลกอริทึมในการหาวิธีการจัดสรรงานให้กับทรัพยากรที่มีอยู่ให้สามารถลดเวลาในการประมวลผลของงานแบบขนานให้เหลือน้อยที่สุดในระบบมัลติโพรเซสเซอร์ที่มีสองโพรเซสเซอร์ (Two-Processor System) เซลล์ลาร์อโตมาตาได้รับความสนใจเนื่องจากพฤติกรรมที่มีความซับซ้อนของมันที่เกิดขึ้นจากการทำงานร่วมกันแบบง่าย และอีกทั้งยังสามารถนำเซลล์ลาร์อโตมาตามาประยุกต์ใช้กับการแก้ปัญหาการจัดตารางงาน

เอกสารนี้เป็นเอกสารที่สงวนไว้สำหรับการใช้งานเพื่อการศึกษาเท่านั้น ไม่อนุญาตให้นำไปใช้ประโยชน์ด้านการค้า ไม่ว่ากรณีใดๆ ทั้งสิ้น อีกทั้งห้ามมิให้ดัดแปลงเนื้อหา และต้องอ้างอิงถึงเจ้าของเอกสารทุกครั้งที่มีการนำไปใช้

โดยใช้กฎที่เจอ กฎที่มีประสิทธิภาพสำหรับเซลล์ลาร์อโตมาตานั้นสามารถถูกค้นพบได้โดยการใช้เจเนติกอัลกอริทึมในการค้นหา

ในส่วนถัดไปจะอธิบายถึงทฤษฎีและวิธีการต่างๆที่เกี่ยวข้องกับวิธีที่นำเสนอ ได้แก่ การประยุกต์ใช้งานเซลล์ลาร์อโตมาตาสำหรับงานวิจัย [23], [24] การพัฒนาเซลล์ลาร์อโตมาตาในการจัดตารางงานบนระบบมัลติโพรเซสเซอร์ [4], [5] และวิธีที่นำมาเปรียบเทียบเพื่อวัดประสิทธิภาพ ได้แก่วิธีแบบมาก่อนได้ก่อน (First-Come-First-Served: FCFS) วิธีเจเนติกอัลกอริทึม (Genetic Algorithm: GA) และวิธีการใช้ระบบอาณานิคมมาจัดสรรงานในระบบการประมวลผลแบบกลุ่มเมฆ (Ant Colony Optimization: ACO) [14]

3.2 การประยุกต์ใช้งานเซลล์ลาร์อโตมาตาสำหรับงานวิจัย

ในการวิจัยนั้นเซลล์ลาร์อโตมาตาสามารถนำไปใช้ประยุกต์ใช้งานได้อย่างกว้างขวางในหลายๆด้าน [23], [24] โดยตัวอย่างของการนำเซลล์ลาร์อโตมาตาไปใช้งานมีดังนี้

3.2.1 เกมเซลล์ลาร์อโตมาตา (CA Games)

เซลล์ลาร์อโตมาตาได้ถูกนำไปใช้ในการสร้างแบบจำลองสำหรับเกมหลายเกม โดยเกมที่เป็นที่รู้จักกันมากนั้นคือ Game of Life ได้ถูกนำเสนอโดย John H. Conway [25] โดยได้แสดงให้เห็นถึงการที่เซลล์ลาร์อโตมาตาที่มีความเรียบง่ายสามารถสร้างรูปแบบ (Pattern) ที่มีความซับซ้อนได้มาก ซึ่งเกมดังกล่าวเป็นเกมที่ไม่ต้องใช้ผู้เล่น (Zero-Player Game) และการวิวัฒนาการของเกมจะถูกกำหนดด้วยสถานะเริ่มต้นของตัวเองและเซลล์เพื่อนบ้าน ซึ่งจะทำให้เกิดรูปแบบที่มีความซับซ้อนเป็นจำนวนมาก

นอกเหนือจาก Game of Life แล้วยังมีเกมที่นำเซลล์ลาร์อโตมาตาไปประยุกต์ใช้งาน เช่น Firing Squad [26], Queen Bee [27] รวมถึงมีการนำไปใช้ในการจำลองสถานการณ์กับทฤษฎีเกม (Game Theory) ที่มีชื่อเสียง ตัวอย่างการนำไปใช้งานในทฤษฎีเกมคือ เกมความลำบากใจของนักโทษ (Prisoner's Dilemma) [28]

3.2.2 การออกแบบจำลองสำหรับระบบทางกายภาพ (Physical) และชีวภาพ (Biology)

นักฟิสิกส์ได้พัฒนาเซลล์ลาร์อโตมาตาให้เป็นทางเลือกสำหรับสมการเชิงอนุพันธ์ (Differential Equation) ซึ่งเป็นสมการที่แสดงความสัมพันธ์กันระหว่างฟังก์ชันของตัวแปรอิสระ ตัวแปรตาม และอนุพันธ์ของตัวแปรตามเทียบกับตัวแปรอิสระนั้นๆสำหรับกฎการสร้างแบบจำลองทางฟิสิกส์ [29] และเซลล์ลาร์อโตมาตายังได้ถูกนำไปใช้กับกระบวนการทางเคมีในอย่างหลากหลาย เช่น การแพร่กระจายระหว่างอะตอมของวัสดุสองชนิด [30] การก่อตัวของโลหะผสมโดยการใช้เซลล์ลาร์อโตมาตาเป็นแบบจำลอง [31]

มีงานวิจัยหลายงานที่นำเซลล์ลาร์อโตมาตาไปประยุกต์ใช้กับงานด้านชีววิทยาและประสบความสำเร็จในการใช้งาน ได้แก่ การทำแบบจำลองสำหรับระบบภูมิคุ้มกัน (Immune System) ถูกคิดค้นโดย Celada, Seiden, และ De Boer [32] การพัฒนายาเพื่อการรักษาการติดเชื้อเอชไอวี (HIV) [33] การพัฒนาเอกสารนี้เป็นเอกสารที่สงวนไว้สำหรับการใช้งานเพื่อการศึกษาเท่านั้น ไม่นอนุญาตให้นำไปใช้ประโยชน์ด้านการค้า ไม่ว่ากรณีใดๆ ทั้งสิ้น อีกทั้งห้ามมิให้ดัดแปลงเนื้อหา และต้องอ้างอิงถึงเจ้าของเอกสารทุกครั้งที่มีการนำไปใช้

แบบจำลองเซลล์ลาร์อโตมาตาสำหรับการเกิดเนื้องอก [34] การตรวจจับความผิดปกติทางพันธุกรรมของเซลล์มะเร็ง [35] รวมถึงมีงานวิจัยเป็นจำนวนมากที่ได้นำไปใช้กับหัวข้อที่เกี่ยวข้องกับแบบจำลองลำดับของดีเอ็นเอ (Dna)

ในนิเวศวิทยา (Ecology) ได้มีการใช้งานเซลล์ลาร์อโตมาตาเช่นกัน ทั้งการตรวจจับการอพยพของปลาในแม่น้ำตามธรรมชาติ [36] การจำลองการเติบโตของประชากรผัก [37] การจำลองระบบนิเวศวิทยาของผู้ล่าและผู้ถูกล่า [38]

3.2.3 การใช้งานด้านสังคมศาสตร์ (Social Science)

ในด้านสังคมศาสตร์มีการนำเซลล์ลาร์อโตมาตาไปใช้งานเช่นเดียวกัน โดย James M. Sakoda เป็นผู้นำเซลล์ลาร์อโตมาตาไปพัฒนาแบบจำลองด้านสังคมศาสตร์เป็นคนแรกในปี 1971 [39] โดยได้สร้างแบบจำลองกระดานหมากรุก (Checkerboard Model) ซึ่งเป็นการจำลองสถานการณ์โดยใช้คอมพิวเตอร์สำหรับการสร้างปฏิสัมพันธ์ทางสังคมระหว่างสองกลุ่มโดยมีจุดประสงค์คือเพื่อให้เข้าใจการสร้างกลุ่ม (Group Formation)

หลังจากนั้นได้มีงานวิจัยในด้านสังคมศาสตร์อีกหลายงานที่ใช้เซลล์ลาร์อโตมาตาเพื่อใช้อธิบายพฤติกรรมทางสังคม รวมทั้งพฤติกรรมทางด้านเศรษฐศาสตร์ (Economics) เช่น การวิเคราะห์การตั้งราคาโดยใช้เซลล์ลาร์อโตมาตาแบบหนึ่งมิติ [40] การวิเคราะห์พลวัตของความร่วมมือจากเฟรมเวิร์คของเซลล์ลาร์อโตมาตา [41] เป็นต้น

3.2.4 การรู้จำแบบ (Pattern Recognition)

มีการค้นคว้าเกี่ยวกับการจดจำรูปแบบโดยมีพื้นฐานจากไวยากรณ์ (Syntactic Approach) ซึ่งเซลล์ลาร์อโตมาตาแบบจำกัด (Finite Cellular Automata) จะถูกมองให้เป็นตัวยอมรับภาษา (Language Acceptor) สำหรับการพิจารณานั้นจะพิจารณาจากค่าเริ่มต้นของข้อมูลนำเข้าแบบสายอักขระ (String) โดยการยอมรับหรือการปฏิเสธจะถูกกำหนดโดยเซลล์ของเซลล์ลาร์อโตมาตา มีงานวิจัยที่ได้แสดงให้เห็นว่าเซลล์ลาร์อโตมาตาสามารถยอมรับภาษาที่เป็น Context-Free และ Non Context-Free และ Context-Sensitive [42], [43] และมีการศึกษาความสามารถในการจำแนกความหนาแน่นโดยการใช้เซลล์ลาร์อโตมาตา (Classification)

3.2.5 การเข้ารหัสข้อมูล (Crptography)

Wolfram Stephen ได้นำเสนอการนำเซลล์ลาร์อโตมาตามาใช้ร่วมกับการเข้ารหัสในหนังสือ Cellular Automata And Complexity: Collected Papers โดยเซลล์ลาร์อโตมาตาที่ใช้จะเป็นแบบหนึ่งมิติ ซึ่งเป็นรูปแบบที่เรียบง่ายที่สุดไปใช้ในการเข้ารหัสข้อมูลโดยการสร้างคีย์เพื่อเข้ารหัส [24] และมีงานวิจัยที่นำหลักการไปพัฒนาต่อยอด [44] โดยใช้กับการเข้ารหัสแบบบล็อก (Block Cipher) และเข้ารหัสแบบสตรีม

เอกสารนี้เป็นเอกสารที่สงวนไว้สำหรับการใช้งานเพื่อการศึกษาเท่านั้น ไม่อนุญาตให้นำไปใช้ประโยชน์ด้านการค้าไม่ว่ากรณีใดๆ ทั้งสิ้น อีกทั้งห้ามมิให้ดัดแปลงเนื้อหา และต้องอ้างอิงถึงเจ้าของเอกสารทุกครั้งที่มีการนำไปใช้

(Stream Cipher) บนพื้นฐานของการเปลี่ยนสถานะของเซลล์ลาร์อโตมาตาแบบหนึ่งมิติที่กฎ 51, 153 และ 195 งานวิจัยด้านการสร้างการเข้ารหัสโดยการใช้คีย์แบบสมมาตร (Symmetric Key Cryptography) บนพื้นฐานของการเข้ารหัสแบบ Vernam [45]

การเปลี่ยนสถานะของเซลล์ลาร์อโตมาตาสามารถให้กำเนิดรูปแบบแบบสุ่มได้เป็นจำนวนมากและมีความซับซ้อน จึงนิยมนำไปใช้ในการสร้างลำดับตัวเลขแบบสุ่มในงานด้านการเข้ารหัสข้อมูล [46] โดยได้มีงานวิจัยที่ได้วิเคราะห์การสร้างลำดับเลขแบบสุ่มจากเซลล์ลาร์อโตมาตาเพื่อวิเคราะห์การกระจายตัวของผลลัพธ์ที่ได้ [47]

3.2.6 การสร้างวงจรรวมขนาดใหญ่มาก (Very Large Scale Integration)

การสร้างวงจรรวมขนาดใหญ่มากหรือเรียกกันว่า Vlsi คือกระบวนการในการสร้างวงจรรวมโดยการนำทรานซิสเตอร์เป็นจำนวนมากให้อยู่ภายใต้ชิปตัวเดียวกัน กลายเป็นแผงวงจรที่มีขนาดใหญ่และทำให้เกิดไมโครโพรเซสเซอร์ (Microprocessor) ตัวแรกของโลก ทำให้คอมพิวเตอร์มีขนาดเล็กลง

เนื่องจากความเรียบง่ายไม่ซับซ้อนของโครงสร้าง Vlsi ทำให้สามารถนำเซลล์ลาร์อโตมาตาไปปรับเพื่อใช้งานร่วมกันได้ มีการใช้งานที่หลากหลายที่ได้ถูกนำเสนอขึ้นมา เช่น การออกแบบและทดสอบ Vlsi โดยขึ้นอยู่กับคุณสมบัติทางด้านสถิติของรูปแบบที่ถูกสร้าง Wolfram ได้จัดหมวดหมู่ของเซลล์ลาร์อโตมาตาแบบสามเซลล์เพื่อนบ้านออกเป็นทั้งหมด 4 หมวดหลัก ซึ่งพบว่ากฎของเซลล์ลาร์อโตมาตาแบบ Class 3 จะเหมาะสมในการสร้างรูปแบบแบบสุ่มมากที่สุด [48]

Hortensius ได้นำเสนอ Prpg (Pseudo Random Pattern Generator) บนพื้นฐานของเซลล์ลาร์อโตมาตาแบบผสม เพื่อใช้ในการสร้างวงจร Vlsi [49] และหลังจากนั้นประสิทธิภาพของ Prpg ได้ถูกนำไปเปรียบเทียบกับงานวิจัยในกับงานเป็นจำนวนมาก

3.2.7 การประมวลผลภาพ (Image Processing)

เซลล์ลาร์อโตมาตาได้ประสบความสำเร็จในการนำไปพัฒนาเพื่อใช้ร่วมกับการประมวลผลภาพ โดยจุดประสงค์หลักคือเพื่อปรับปรุงคุณภาพของภาพที่ได้จากการประมวลผลให้มีคุณภาพที่ดีขึ้น มีงานวิจัยที่มองว่าภาพดิจิทัลนั้นมีลักษณะเป็นสองมิติและมีขนาดเป็น $N \times N$ พิกเซล และสามารถนำเซลล์ลาร์อโตมาตาแบบสองมิติไปปรับใช้ได้ [50] โดยผลลัพธ์ที่ได้คือให้คุณภาพของภาพที่ดีขึ้น งานวิจัยใน [51] ได้มีการทดลองโดยค้นหาความเป็นไปได้ในการเทรนเซลล์ลาร์อโตมาตาสำหรับการใช้งานเพื่อประมวลผลภาพในหลายๆงาน

งานส่วนใหญ่ที่ใช้เซลล์ลาร์อโตมาตาจะเกี่ยวข้องกับภาพแบบไบนารี แต่มีงานวิจัยที่จัดการกับความเข้มของสีภาพ มีงานวิจัยที่ประยุกต์ใช้เซลล์ลาร์อโตมาตากับงานประมวลผลภาพประเภทการลดสัญญาณรบกวน (Denoising) และการตรวจหาคุณลักษณะเด่น (Feature Detection) โดยการเพิ่มสถานะของเซลล์ในเซลล์ลาร์อโตมาตาให้เป็น 3 สถานะ

เอกสารนี้เป็นเอกสารที่สงวนไว้สำหรับการใช้งานเพื่อการศึกษาเท่านั้น ไม่อนุญาตให้นำไปใช้ประโยชน์ด้านการค้า ไม่ว่ากรณีใดๆ ทั้งสิ้น อีกทั้งห้ามมิให้ดัดแปลงเนื้อหา และต้องอ้างอิงถึงเจ้าของเอกสารทุกครั้งที่มีการนำไปใช้

3.2.8 โทรคมนาคม (Telecommunication)

ในด้านของโทรคมนาคมมีหลายส่วนที่นำเซลล์ลาร์อโตมาตาไปใช้งานกับระบบเครือข่าย เช่น ระบบเซนเซอร์แบบไร้สาย (Wireless Sensor Network) โดยการนำเซลล์ลาร์อโตมาตาไปใช้เพื่อสร้างตัวจำลองสถานการณ์สำหรับระบบขนาดใหญ่เพื่อควบคุมโทโปโลยี [52] และมีผู้นำไปพัฒนาต่อสำหรับการทำเราต์ติ้ง (Routing) บนระบบเซนเซอร์แบบไร้สาย [53], [54] งานวิจัยเพื่อการพัฒนาโปรโตคอลแบบกระจายชื่อ DV-CAST บนระบบเครือข่ายแอดฮอค (Ad Hoc Network) [55] การพัฒนาเซลล์ลาร์อโตมาตาสำหรับการจัดการโลเคชันบนระบบเครือข่ายมือถือที่มีการใช้งานร่วมกันกับเจเนติกอัลกอริทึมเพื่อค้นหากฎที่ดีที่สุด [56]

3.2.9 ระบบประมวลผล (Computing Systems)

เซลล์ลาร์อโตมาตาได้ถูกนำไปใช้ในระบบประมวลผลแบบขนาน (Parallel Processing) [57], [58] ซึ่งสามารถนำไปใช้ในการจำลองระบบการประมวลผล (Computational Simulation) เนื่องจากความสามารถสร้างความซับซ้อนของระบบโดยเซลล์ลาร์อโตมาตา และสามารถนำไปประยุกต์ใช้เพื่อจำลองในรูปแบบของโลกความจริงได้

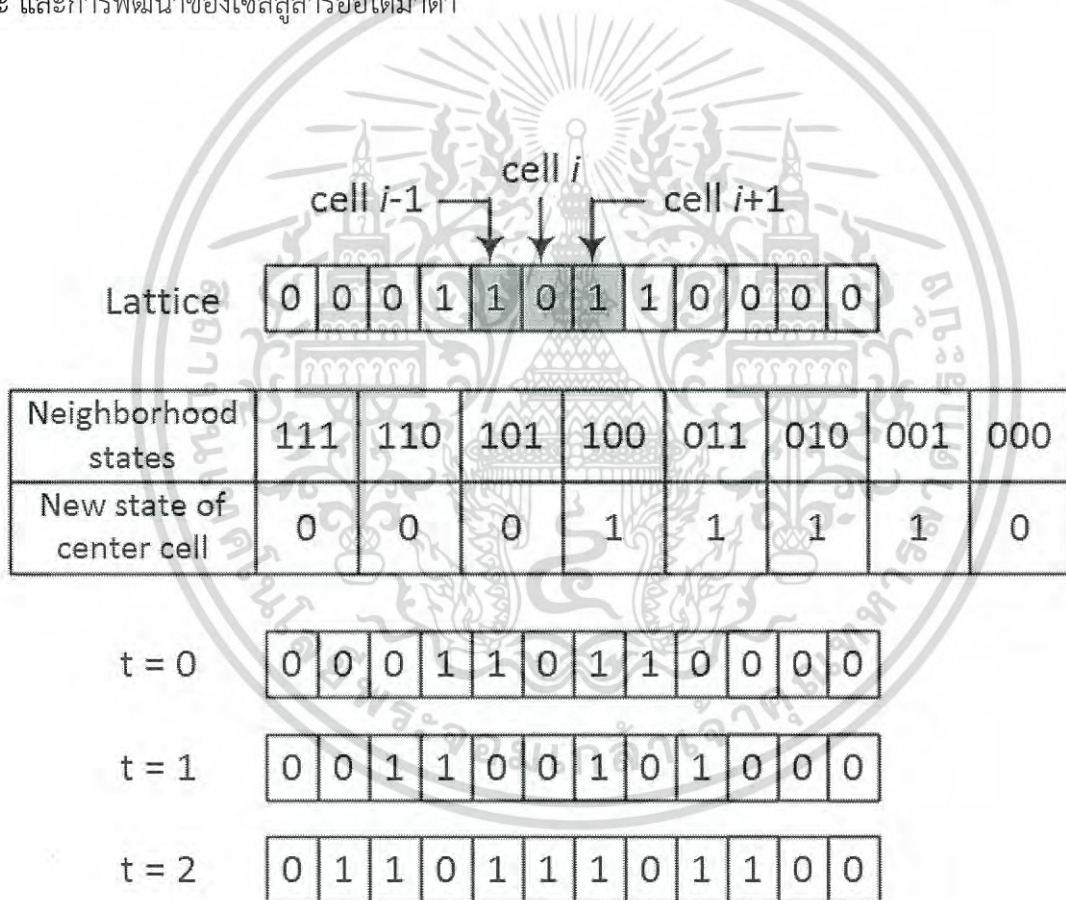
นอกจากนี้ยังการนำไปพัฒนาการบนระบบมัลติโพรเซสเซอร์เพื่อใช้ในการจัดการรายงานโดยจะอธิบายในหัวข้อ 3.3

3.3 การพัฒนาเซลล์ลาร์อโตมาตาในการจัดตารางงานบนระบบมัลติโพรเซสเซอร์

3.3.1 เซลล์ลาร์อโตมาตา

เซลล์ลาร์อโตมาตาที่ถูกนำมาใช้ในงานวิจัย [4] และ [5] คือ เซลล์ลาร์อโตมาตาแบบไบนารีหนึ่งมิติ (One-Dimensional Binary Cellular Automata) ซึ่งจะมีสถานะที่เป็นไปได้ในแต่ละเซลล์ i คือ 0 และ 1 ($k = 2$) และมีกฎการเปลี่ยนสถานะ (Transition Rule) สำหรับใช้ในการเปลี่ยนแปลงสถานะของเซลล์ในเซลล์ลาร์อโตมาตา โดยกฎจะกำหนดสถานะใหม่ของแต่ละเซลล์ในเซลล์ลาร์อโตมาตาจากพิจารณาสถานะของเซลล์นั้นๆ และเซลล์เพื่อนบ้านอีกสองเซลล์

จากรูปที่ 3.1 ตัวอย่างที่ใช้คือกฎ 30 สามารถเขียนเป็นเลขฐานสองได้ 00011110 แต่ละเซลล์จะมีเซลล์เพื่อนบ้าน ทำให้มีทั้งหมด 8 รูปแบบ (2^3) โดยรูปจะแสดงให้เห็นถึงสถานะที่เป็นไปได้ กฎการเปลี่ยนสถานะ และการพัฒนาของเซลล์ลาร์อโตมาตา



รูปที่ 3.1 ตัวอย่างของกฎ 30 สำหรับเซลล์ลาร์อโตมาตาแบบไบนารีหนึ่งมิติ

3.3.2 การนำเซลล์ูลาร์อัตโนมัติมาใช้ในการจัดตารางงานในระบบมัลติโพรเซสเซอร์

ผู้เขียนใน [4] และ [5] ได้นำเซลล์ูลาร์อัตโนมัติมาไปใช้งานร่วมกับเจเนติกอัลกอริทึมในการจัดตารางงานในระบบมัลติโพรเซสเซอร์เนื่องจากสถานะของเซลล์สามารถแสดงถึงวิธีการจัดสรรงานในแต่ละโพรเซสเซอร์ได้ ซึ่งจำนวนโพรเซสเซอร์ที่ใช้ในการทดลองมีจำนวนสองเครื่อง และใช้เจเนติกอัลกอริทึมในการค้นพบกฎที่มีประสิทธิภาพสำหรับเซลล์ูลาร์อัตโนมัติเพื่อที่จะได้ลดเวลาที่ใช้ในการประมวลผลของงานทั้งหมดหรือเมคสแปน (Makespan)

โดยวิธีนี้จะแบ่งออกเป็นสองขั้นตอน ขั้นตอนแรก เจเนติกอัลกอริทึมจะถูกใช้ในการค้นหากฎที่เหมาะสมสำหรับเซลล์ูลาร์อัตโนมัติสำหรับการแก้ปัญหาในการจัดตารางงาน และขั้นตอนถัดมาคือ กฎที่ถูกค้นพบสำหรับเซลล์ูลาร์อัตโนมัติจะถูกใช้ในการหาวิธีการจัดสรรงานที่เหมาะสมในระบบมัลติโพรเซสเซอร์ และให้เวลาน้อยลงเมื่อเปรียบเทียบกับวิธีการแบบดั้งเดิมคือตามลำดับก่อนหลัง (First-Come-First-Served: FCFS)

แต่อย่างไรก็ตาม ในระบบการประมวลผลแบบกลุ่มเมฆนั้นมีจำนวนของคอมพิวเตอร์เสมือนเป็นจำนวนมากในระบบ จึงทำให้ปัญหามีความซับซ้อนเพิ่มมากยิ่งขึ้นเนื่องจากความยาวของกฎของเซลล์ูลาร์อัตโนมัติที่เพิ่มขึ้นตามจำนวนของโพรเซสเซอร์ที่จำนวน k เมื่อพิจารณาปัญหาของการจัดตารางงานในกรณีที่มีจำนวนโพรเซสเซอร์ที่มากกว่าสองโพรเซสเซอร์ ความยาวของกฎจะเพิ่มขึ้นอย่างรวดเร็วจากค่า k ซึ่งความยาวของกฎสามารถคำนวณได้เท่ากับ k^3 ดังที่ได้แสดงไว้ในตารางที่ 3.1 โดยกำหนดให้ค่า k มีค่า จะเห็นว่าเป็นการยากที่เจเนติกอัลกอริทึมจะสามารถค้นหากฎที่เหมาะสมได้ในพื้นที่ (Search Space) ที่มีขนาดใหญ่

k	ความยาวของกฎ
2	8
3	27
4	64
5	125
10	1000
20	8000
30	27000
50	125000

ตารางที่ 3.1 ความยาวของกฎที่ค่า k ต่างๆ

เอกสารนี้เป็นเอกสารที่สงวนไว้สำหรับการใช้งานเพื่อการศึกษาเท่านั้น ไม่อนุญาตให้นำไปใช้ประโยชน์ด้านการค้าไม่ว่ากรณีใดๆ ทั้งสิ้น อีกทั้งห้ามมิให้ดัดแปลงเนื้อหา และต้องอ้างอิงถึงเจ้าของเอกสารทุกครั้งที่มีการนำไปใช้

3.4 การจัดสรรงานบนระบบการประมวลผลแบบกลุ่มเมฆโดยใช้ระบบอาณานิคมมด

ผู้เขียนใน [14] ได้นำเสนอวิธีการจัดสรรงานที่เข้ามาในบนระบบการประมวลผลแบบกลุ่มเมฆโดยใช้ระบบอาณานิคมมดมาช่วยค้นหาวิธีการจัดตารางงานที่ดีที่สุด จุดมุ่งหมายของงานวิจัยคือเพื่อต้องการลดระยะเวลาในการประมวลผลของงานทั้งหมดหรือเมคสแปน (Makespan) ให้เหลือน้อยลงที่สุดโดยใช้ระบบอาณานิคมแบบมดมาช่วยในการแก้ปัญหา

ปัญหาของระบบการจัดสรรงานในระบบได้ถูกอธิบายด้วยกราฟ $G = (N, E)$ โดย N คือ จำนวนโหนดหรือคอมพิวเตอร์เสมือน (VM) และงานที่เข้ามาในระบบคือเซตของ E

มดทุกตัวจะเริ่มต้นการทำงานที่คอมพิวเตอร์เสมือนแบบสุ่ม ในระหว่างการทำงานมดจะมีการสร้างคำตอบโดยการย้ายจากคอมพิวเตอร์เสมือนเครื่องหนึ่งไปยังคอมพิวเตอร์และทำซ้ำจนกระทั่งจบการทำงานนั้นคือเมื่อการจัดสรรงานได้เสร็จสมบูรณ์แล้ว โดยเงื่อนไขในการหยุดการทำงานของมดคือเมื่อครบรอบในการวนซ้ำ $t = t_{max}$ เมื่อ t_{max} คือจำนวนรอบที่ได้กำหนดไว้ และใช้เวลาในการประมวลผลที่คาดหวัง (Expected Execution Time) เป็นค่าฮิวริสติกของงาน i ที่ถูกประมวลผลบนคอมพิวเตอร์เสมือน j โดยขั้นตอนการทำงานของอัลกอริทึมจะแสดงตามรูปที่ 3.2





รูปที่ 3.2 แสดงอัลกอริทึมของวิธีการจัดสรรงานโดยใช้ระบบบอานานิคมมต

ในการกำหนดค่าเริ่มต้นของฟีโรโมน $\tau_{ij}(t)$ ให้งับการเส้นทาง (Edge) ระหว่างงาน i และคอมพิวเตอร์เสมือน j จะสมมติให้ค่าเริ่มต้นของฟีโรโมนเท่ากันหมดโดยให้เป็นค่าน้อยมากๆที่มากกว่าศูนย์ ระหว่างการทำงานมต k จะทำการเลือกคอมพิวเตอร์เสมือนเครื่องถัดไปสำหรับงานที่เข้ามาทำด้วยความน่าจะเป็นตามสมการที่ 1

เอกสารนี้เป็นเอกสารที่สงวนไว้สำหรับการใช้งานเพื่อการศึกษาเท่านั้น ไม่อนุญาตให้นำไปใช้ประโยชน์ด้านการค้า ไม่ว่ากรณีใดๆ ทั้งสิ้น อีกทั้งห้ามมิให้ดัดแปลงเนื้อหา และต้องอ้างอิงถึงเจ้าของเอกสารทุกครั้งที่มีการนำไปใช้

$$P_{ij}^k(t) = \begin{cases} \frac{[\tau_{ij}(t)]^\alpha \cdot [\eta_{ij}]^\beta}{\sum_{s \in allowed_k} [\tau_{is}(t)]^\alpha \cdot [\eta_{is}]^\beta} & \text{if } j \in allowed_k \\ 0, & \text{otherwise} \end{cases} \quad (1)$$

$\tau_{ij}(t)$ คือ ค่าฟีโรโมนระหว่างงาน i และคอมพิวเตอร์เสมือน j ในเวลา t

$\eta_{ij} = 1/d_{ij}$ คือ ค่าฮิวริสติกในเวลา t โดย d_{ij} คือเวลาในการประมวลผลที่คาดหวังของงาน i บนคอมพิวเตอร์เสมือน j โดยคำนวณได้จากสมการที่ 2

$$d_{ij} = \frac{TL_Task_i}{Pe_num_j * Pe_mips_j} + \frac{InputFileSize}{VM_bw_j} \quad (2)$$

TL_Task_i คือ ความยาว (Length) ของงาน i ที่ถูกส่งไปยังคอมพิวเตอร์เสมือน j

Pe_num_j คือ จำนวนโปรเซสเซอร์ (Processor) ของคอมพิวเตอร์เสมือน j

Pe_mips_j คือ MIPS (Million Instructions per Second) คอมพิวเตอร์เสมือน j

$InputFileSize$ คือ ขนาดอินพุตของงานก่อนส่งเข้าระบบ

VM_bw_j คือ แบนด์วิธ (Bandwidth) ของคอมพิวเตอร์เสมือน j

α และ β เป็นค่าที่ใช้สำหรับถ่วงน้ำหนัก (Weight) ให้กับฟีโรโมนและค่าฮิวริสติก

ในการอัปเดตค่าฟีโรโมน (Pheromone Updating) จะทำหลังจากเมื่อมดทำการเลือกคอมพิวเตอร์เสมือนครบสำหรับการจัดสรรงานที่เข้ามาในระบบดังสมการที่ 3 เพื่อหลีกเลี่ยงการสะสมของฟีโรโมนบนที่มีมากเกินไป

$$\tau_{ij}(t) = (1 - \rho)\tau_{ij}(t) + \Delta\tau_{ij}(t) \quad (3)$$

ρ คือ อัตราการระเหยของฟีโรโมน (Evaporation rate) มีค่าระหว่าง $0 \leq \rho \leq 1$

$\Delta\tau_{ij}$ คือ ปริมาณของฟีโรโมนที่มดทุกตัวจะเพิ่มให้กับเส้นทางที่ได้เดินผ่านมาแล้ว โดยที่ปริมาณของฟีโรโมนที่มดตัวที่ k จะเพิ่มให้กับเส้นทาง ซึ่งคำนวณได้จากสมการที่ 4

$$\Delta\tau_{ij}(t) = \sum_{k=1}^m \Delta\tau_{ij}^k \quad (4)$$

และ $\Delta\tau_{ij}^k$ คือ ปริมาณของฟีโรโมนที่มดตัวที่ k จะเพิ่มให้กับเส้นทาง ซึ่งสามารถคำนวณได้ดังสมการ

ที่ 5

เอกสารนี้เป็นเอกสารที่สงวนไว้สำหรับการใช้งานเพื่อการศึกษาเท่านั้น ไม่อนุญาตให้นำไปใช้ประโยชน์ด้านการค้า
ไม่ว่ากรณีใดๆ ทั้งสิ้น อีกทั้งห้ามมิให้ดัดแปลงเนื้อหา และต้องอ้างอิงถึงเจ้าของเอกสารทุกครั้งที่มีการนำไปใช้

$$\Delta\tau_{ij}^k = \begin{cases} \frac{Q}{L^k(t)} & \text{if } (i, j) \in T^k(t) \\ 0 & \text{if } (i, j) \notin T^k(t) \end{cases} \quad \text{----- (5)}$$

$T^k(t)$ คือ เส้นทางที่สร้างโดยมด k ในเวลา t

$L^k(t)$ คือ คคือ เมตริกซ์ที่คาดหวังสำหรับเส้นทางที่สร้างโดยมด k ในเวลา t

Q คือ Adaptive Parameter

และมดจะทำงานวนซ้ำจนจบการทำงานตามเงื่อนไขที่ได้กำหนดไว้ ผลลัพธ์ที่ได้คือผลเฉลยของอัลกอริทึม นั่นคือวิธีการจัดสรรตารางงานสำหรับงานที่เข้ามาในระบบ



เอกสารนี้เป็นเอกสารที่สงวนไว้สำหรับการใช้งานเพื่อการศึกษาเท่านั้น ไม่อนุญาตให้นำไปใช้ประโยชน์ด้านการค้าไม่ว่ากรณีใดๆ ทั้งสิ้น อีกทั้งห้ามมิให้ดัดแปลงเนื้อหา และต้องอ้างอิงถึงเจ้าของเอกสารทุกครั้งที่มีการนำไปใช้

บทที่ 4

กลไกการจัดตารางงานบนพื้นฐานของเซลล์ลาร์อโตมาตาและเจเนติกอัลกอริทึม

ในบทนี้จะกล่าวถึงวิธีการที่ได้นำเสนอ คือ กลไกการจัดตารางงานบนพื้นฐานของเซลล์ลาร์อโตมาตา ซึ่งได้ถูกพัฒนาเพื่อใช้งานในระบบการประมวลผลแบบกลุ่มเมฆ หรือเรียกย่อว่าCATS (CATS) โดยเนื้อหาภายในจะประกอบด้วยขั้นตอนการทำงานต่างๆของวิธีการCATS

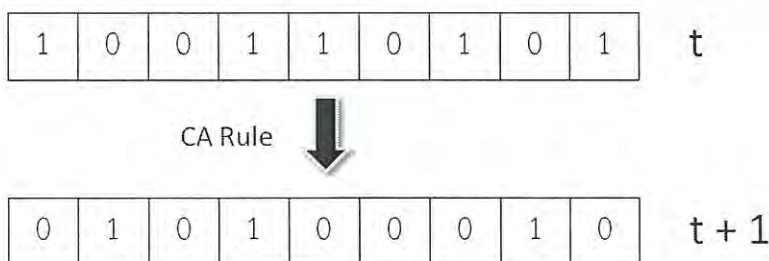
4.1 วิธีการของกลไกการจัดตารางงานบนพื้นฐานของเซลล์ลาร์อโตมาตาสำหรับระบบการประมวลผลแบบกลุ่มเมฆ

เป็นการนำเซลล์ลาร์อโตมาตาใช้งานร่วมกับเจเนติกอัลกอริทึมสำหรับการค้นหาหากฎที่มีประสิทธิภาพ เพื่อนำกฎที่หาได้ไปหาวิธีการจัดตารางงานที่สามารถลดเวลาในการประมวลผลหรือเมคสแปน (Makespan) ให้น้อยลง

โดยเซลล์ลาร์อโตมาตาจะถูกนำมาใช้เป็นโมเดลของการจัดตารางงาน และเจเนติกอัลกอริทึมจะทำหน้าที่ในการคัดเลือกเพื่อหากฎ (CA Rule) ที่ดีที่สุดเพื่อนำไปใช้งานต่อไป

4.1.1 การออกแบบโครงสร้างของเซลล์ลาร์อโตมาตา

ในการออกแบบโครงสร้างของเซลล์ลาร์อโตมาตา จะกำหนดให้โครงสร้างเป็นลักษณะแบบไบนารีหนึ่งมิติ (One-Dimensional Binary Cellular Automata) ซึ่งเป็นเซลล์ลาร์อโตมาตาแบบพื้นฐานที่สุดสถานะ (State) ที่เป็นไปได้ของเซลล์จะมีสองสถานะ โดยกำหนดให้เป็น 0 และ 1 และมีการนำกฎมาใช้ในการเปลี่ยนสถานะเมื่อเวลาผ่านไป ($t+1$) ซึ่งเวลาในการเปลี่ยนสถานะของเซลล์ลาร์อโตมาตานั้นจะเป็นเวลาที่ไมต่อเนื่อง (Discrete Time) ดังรูปที่ 4.1

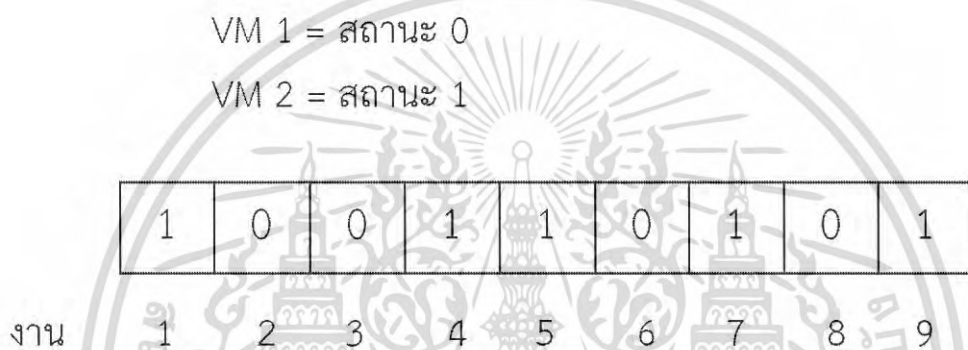


รูปที่ 4.1 เซลล์ลาร์อโตมาตาแบบไบนารีหนึ่งมิติ

เอกสารนี้เป็นเอกสารที่สงวนไว้สำหรับการใช้งานเพื่อการศึกษาเท่านั้น ไม่อนุญาตให้นำไปใช้ประโยชน์ด้านการค้า ไม่ว่าจะกรณีใดๆ ทั้งสิ้น อีกทั้งห้ามมิให้ดัดแปลงเนื้อหา และต้องอ้างอิงถึงเจ้าของเอกสารทุกครั้งที่มีการนำไปใช้

กำหนดให้สถานะของเซลล์ถูกแทนด้วยคอมพิวเตอร์เสมือน (Virtual Machine: VM) ในแต่ละเซลล์จะหมายถึงงานที่เข้ามาในระบบ นั่นคือ วิธีการจัดสรรงาน (Task Scheduling) โดยจะถูกแทนด้วยเซลล์ลูลาร์อัตโนมัติตามโครงสร้างที่ได้ออกแบบไว้ ซึ่งความหมายของวิธีการจัดสรรงาน คือ การกำหนดคอมพิวเตอร์เสมือนที่จะนำไปประมวลผลให้งานที่เข้ามาในระบบการประมวลผลแบบกลุ่มเมฆ

เนื่องจากเซลล์ลูลาร์อัตโนมัติแบบไบนารีหนึ่งมิติจะมีสองสถานะคือ 0 และ 1 จึงสามารถกำหนดให้สถานะ 0 คือ คอมพิวเตอร์เสมือนเครื่องที่หนึ่ง (VM 1) และสถานะ 1 คือ คอมพิวเตอร์เสมือนเครื่องที่สอง (VM2) แสดงดังรูป 4.2 ซึ่งจะทำให้เกิดรูปแบบการจัดตารางงานดังรูป 4.3



รูปที่ 4.2 เซลล์ลูลาร์อัตโนมัติแบบไบนารีหนึ่งมิติสำหรับการจัดตารางงานที่ 2 VM



รูปที่ 4.3 การจัดตารางงานตามรูปแบบที่ถูกกำหนดจากเซลล์ลูลาร์อัตโนมัติที่ 2 VM

เอกสารนี้เป็นเอกสารที่สงวนไว้สำหรับการใช้งานเพื่อการศึกษาเท่านั้น ไม่อนุญาตให้นำไปใช้ประโยชน์ด้านการค้า ไม่ว่ากรณีใดๆ ทั้งสิ้น อีกทั้งห้ามมิให้ดัดแปลงเนื้อหา และต้องอ้างอิงถึงเจ้าของเอกสารทุกครั้งที่มีการนำไปใช้

โดยปกติแล้วจำนวนคอมพิวเตอร์เสมือนที่ถูกใช้งานในระบบจะมีตั้งแต่สองเครื่องขึ้นไป จึงไม่สามารถใช้ 0 และ 1 เป็นค่าในเซลล์ของเซลล์ลาร์อโตมาตาแทนที่คอมพิวเตอร์เสมือนได้ เนื่องจากจะทำให้ระบบถูกจำกัดอยู่แค่เพียงสองเครื่องเท่านั้น แต่ถ้าหากเพิ่มสถานะจากสองให้เป็นตามจำนวนคอมพิวเตอร์เสมือนจะเกิดปัญหาที่ทำให้ภูมิความยาวเพิ่มและมีความซับซ้อนมากขึ้น ซึ่งจะส่งผลต่อการค้นหาคำตอบของเจเนติกอัลกอริทึมดังที่ได้กล่าวไว้ในบทที่ 3

ดังนั้น เพื่อให้เซลล์ลาร์อโตมาตาสามารถนำมาใช้กับระบบที่มีจำนวนคอมพิวเตอร์เสมือนที่มากกว่าสองเครื่อง จึงได้ออกแบบโครงสร้างของเซลล์ลาร์อโตมาตาใหม่โดยการเพิ่มความยาวของเซลล์ลาร์อโตมาตา คือ การเพิ่มจำนวนเซลล์ให้มากขึ้นเพื่อให้สามารถรองรับจำนวนคอมพิวเตอร์เสมือนที่มากกว่าสองเครื่องได้

จำนวนของเซลล์ทั้งหมดที่ใช้ในเซลล์ลาร์อโตมาตา (C) สามารถคำนวณได้ดังสมการที่ 1 โดยกำหนดให้ N คือจำนวนคอมพิวเตอร์เสมือนในระบบการประมวลผลแบบกลุ่มเมฆ และ J คือจำนวนงานทั้งหมดที่เข้ามาในระบบ

$$C = J(\log_2 N) \quad \text{----- (1)}$$

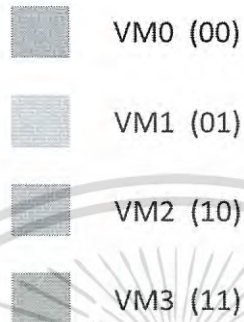
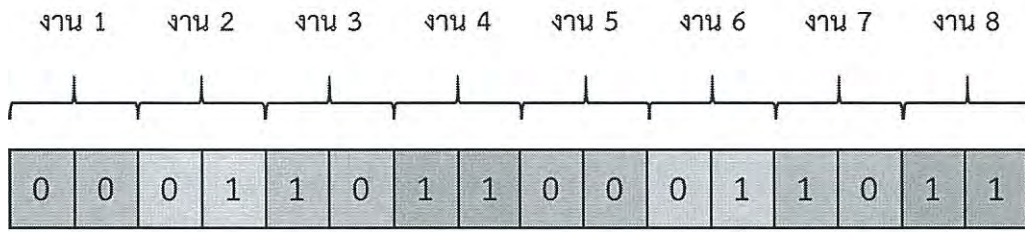
และจำนวนเซลล์ที่ใช้ต่อคอมพิวเตอร์เสมือนหนึ่งเครื่อง (C_{vm}) สามารถคำนวณได้ดังสมการที่ 2

$$C_{vm} = \log_2 N \quad \text{----- (2)}$$

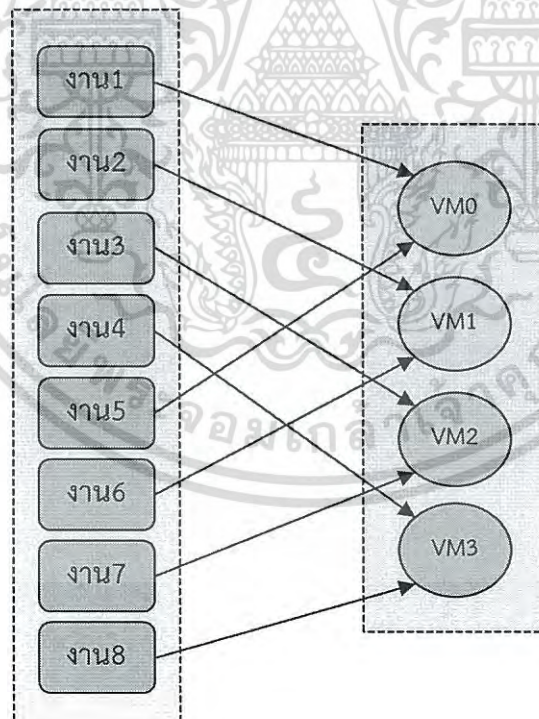
สมมติมีงานเข้ามาในระบบประมวลผลทั้งหมด 8 งาน และมีจำนวนคอมพิวเตอร์เสมือน 4 เครื่อง ($J = 10, N = 4$) จะได้ค่า $C = 16$ และ $C_{vm} = 2$ นั่นคือ จำนวนเซลล์ทั้งหมดที่ต้องใช้มีจำนวน 16 เซลล์ และคอมพิวเตอร์เสมือนหนึ่งเครื่องจะถูกแทนค่าด้วยเซลล์ 2 เซลล์

จากรูปที่ 4.4 เป็นตัวอย่างของวิธีการจัดสรรงานที่ถูกแทนด้วยเซลล์ลาร์อโตมาตา เมื่อกำหนดให้มีจำนวนของคอมพิวเตอร์เสมือนในระบบทั้งหมด 4 เครื่อง (00, 01, 10, 11) และจำนวนงานที่เข้ามาในระบบคือ 8 งาน ดังนั้นจำนวนเซลล์ในเซลล์ลาร์อโตมาตาจะมีค่าเท่ากับ 16 เซลล์ และจำนวนเซลล์ที่ใช้แทนงานที่เข้ามาในระบบหนึ่งงานคือ 2 เซลล์ และการจัดสรรงานที่เข้ามาในระบบให้กับคอมพิวเตอร์เสมือนจะเป็นไปดังรูปที่ 4.5 กล่าวคือ งานแรกจะถูกส่งไปยังคอมพิวเตอร์เสมือน VM0 และงานถัดมาจะถูกส่งไปยัง VM1 และจะเป็นเช่นนี้ไปตามลำดับจนถึงงานสุดท้ายซึ่งจะถูกส่งไปยัง VM3

เอกสารนี้เป็นเอกสารที่สงวนไว้สำหรับการใช้งานเพื่อการศึกษาเท่านั้น ไม่อนุญาตให้นำไปใช้ประโยชน์ด้านการค้า ไม่ว่ากรณีใดๆ ทั้งสิ้น อีกทั้งห้ามมิให้ดัดแปลงเนื้อหา และต้องอ้างอิงถึงเจ้าของเอกสารทุกครั้งที่มีการนำไปใช้



รูปที่ 4.4 เซลล์ลาร์อัตโนมัติมาตาสำหรับการจัดตารางงานที่ 4 VM



รูปที่ 4.5 การจัดสรรงานในระบบตามสถานะในเซลล์ลาร์อัตโนมัติมาตา

เอกสารนี้เป็นเอกสารที่สงวนไว้สำหรับการใช้งานเพื่อการศึกษาเท่านั้น ไม่อนุญาตให้นำไปใช้ประโยชน์ด้านการค้า ไม่ว่ากรณีใดๆ ทั้งสิ้น อีกทั้งห้ามมิให้ดัดแปลงเนื้อหา และต้องอ้างอิงถึงเจ้าของเอกสารทุกครั้งที่มีการนำไปใช้

จะเห็นว่าเซลล์ลาร์อโตมาตาจะมีความสอดคล้องกับงานที่เข้ามาในระบบการประมวลผลแบบกลุ่มเมฆ โดยสถานะของเซลล์ในเซลล์ลาร์อโตมาตาจะพัฒนาไปตามกฎที่ได้ตั้งไว้ สำหรับสถานะเริ่มต้นของเซลล์ลาร์อโตมาตาในเวลา $t = 0$ หมายถึงการจัดสรรงานในเวลาเริ่มต้น (Initial Allocation) สำหรับคอมพิวเตอร์เสมือน ซึ่งสถานะของเซลล์ในตอนเริ่มต้นจะเกิดจากการสุ่มแบบ Uniform Distribution และสถานะของเซลล์จะมีการเปลี่ยนแปลงไปตามกฎที่ได้กำหนดไว้เมื่อเวลาผ่านไป และจะมีการกำหนดรอบของการเปลี่ยนแปลงสถานะของเซลล์ ทำให้การเปลี่ยนแปลงสถานะของเซลล์ลาร์อโตมาตาจะมีผลถึงวิธีการจัดสรรงานในระบบที่เปลี่ยนแปลงตามด้วย

ในการค้นหากฎที่มีประสิทธิภาพและมีความเหมาะสมที่จะสามารถทำให้เซลล์ลาร์พัฒนาสถานะของเซลล์จนได้วิธีการจัดสรรงานที่ดีที่สุด จะใช้เจเนติกอัลกอริทึมในการค้นหากฎ โดยกฎที่เจเนติกอัลกอริทึมหามาได้นั้นจะสามารถให้วิธีการจัดสรรงานที่ใช้เวลาในการประมวลผลของงานทั้งหมดน้อยที่สุดเป็นเวลา T_{min} โดยสามารถเริ่มที่การจัดสรรงานแบบใดก็ได้ จนได้วิธีการจัดสรรงานตามที่ต้องการ

4.3 การออกแบบการทำงานของวิธีเจเนติกอัลกอริทึม

CATSจะนำวิธีเจเนติกอัลกอริทึมมาใช้ในการค้นหากฎที่ดีที่สุดเพื่อนำไปหาวิธีการจัดสรรงานที่ลดเวลาที่ใช้ในการประมวลผลทั้งหมดได้อย่างมีประสิทธิภาพ จึงมีการกำหนดกระบวนการในแต่ละขั้นตอนของวิธีเจเนติกอัลกอริทึมไว้ดังต่อไปนี้

4.3.1 การออกแบบโครโมโซมแทนคำตอบ (Chromosome Encoding)

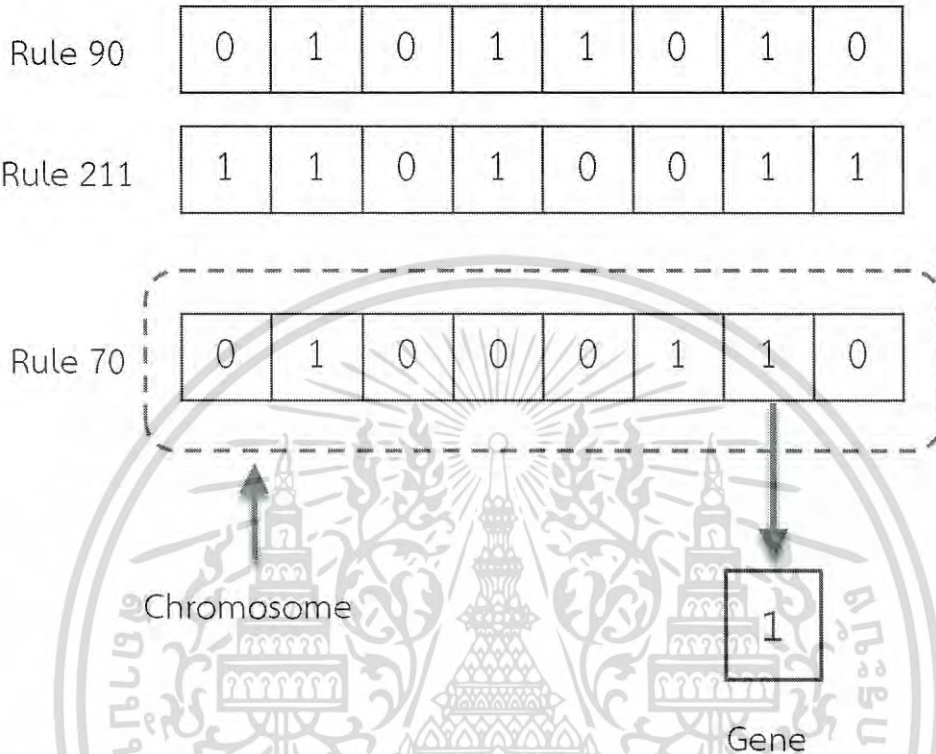
ประชากรหรือโครโมโซมใช้ในวิธี CATSคือกฎของเซลล์ลาร์อโตมาตาเพื่อใช้กำหนด Output ของเซลล์ตัวเอง $C_i(t)$ และเซลล์เพื่อนบ้าน $C_{i-1}(t)$ และ $C_{i+1}(t)$ ซึ่งเป็นข้อมูลแบบไบนารีที่มีค่า 0 และ 1 ในแต่ละเซลล์ของโครโมโซมหรือเรียกว่ายีน (Gene) ตัวอย่างดังรูป 4.6 เป็นรูปแบบของกฎ 90 ของเซลล์ลาร์อโตมาตา

	000	001	010	011	100	101	110	111
Rule 90	0	1	0	1	1	0	1	0

รูปที่ 4.6 ตัวอย่างกฎ 90 ของเซลล์ลาร์อโตมาตา

เอกสารนี้เป็นเอกสารที่สงวนไว้สำหรับการใช้งานเพื่อการศึกษาเท่านั้น ไม่อนุญาตให้นำไปใช้ประโยชน์ด้านการค้า ไม่ว่าจะกรณีใดๆ ทั้งสิ้น อีกทั้งห้ามมิให้ดัดแปลงเนื้อหา และต้องอ้างอิงถึงเจ้าของเอกสารทุกครั้งที่มีการนำไปใช้

เพื่อออกแบบโครโมโซมเพื่อให้สอดคล้องกับปัญหาของวิธี CATS กำหนดให้การออกแบบโครโมโซมเป็นลักษณะ Binary Encoding ซึ่งค่าที่เป็นไปได้ในยีนคือค่า 0 และ 1 เท่านั้น โดยขนาดของโครโมโซมจะมีขนาดเท่ากับ $8 (2^3)$ ซึ่งจำนวนโครโมโซมที่เป็นไปได้จะมีทั้งหมด 256 รูปแบบ (2^8) ดังตัวอย่างในรูปที่ 4.7



รูปที่ 4.7 ตัวอย่างการออกแบบโครโมโซมสำหรับวิธี CATS

4.3.2 การสร้างประชากรเริ่มต้น (Initial Population)

กำหนดจำนวนประชากรเริ่มต้นโดยการสุ่มเลือกเพื่อสร้างประชากรต้นแบบขึ้นมา และนำไปใช้เป็นจุดเริ่มต้นของขั้นตอนการวิวัฒนาการ ในขั้นตอนนี้จะเป็นขั้นตอนแรกที่เกิดขึ้นก่อนที่จะเข้าสู่กระบวนการของเจเนติกอัลกอริทึม และมีการทดลองเพื่อหาจำนวนประชากรเริ่มต้นที่เหมาะสมสำหรับวิธี CATS โดยมีการเฉลี่ยดในบทที่ 5

4.3.3 การกำหนดฟังก์ชันวัตถุประสงค์ (Fitness Function)

เป็นฟังก์ชันที่ใช้ในการประเมินประสิทธิภาพของโครโมโซมเพื่อใช้ในการพิจารณาโครโมโซม เหมาะหรือไม่ที่จะนำมาใช้สืบทอดพันธุกรรมสำหรับสร้างโครโมโซมรุ่นใหม่ โดยวิธีการสำหรับคิดค่าความเหมาะสมนั้นจะใช้สมการที่สอดคล้องกับแต่ละปัญหา ซึ่งค่าที่ได้จะถูกเรียกว่าค่าฟิตเนส (Fitness Value)

เอกสารนี้เป็นเอกสารที่สงวนไว้สำหรับการใช้งานเพื่อการศึกษาเท่านั้น ไม่อนุญาตให้นำไปใช้ประโยชน์ด้านการค้า ไม่ว่ากรณีใดๆ ทั้งสิ้น อีกทั้งห้ามมิให้ดัดแปลงเนื้อหา และต้องอ้างอิงถึงเจ้าของเอกสารทุกครั้งที่มีการนำไปใช้

สำหรับวิธี CATS นั้นจะกำหนดให้ค่าเฉลี่ยของค่าฟิตเนสเป็นเมคสแปน โดยเมคสแปนคือเวลาที่งานทั้งหมดในระบบใช้ในการประมวลผลตั้งแต่ต้นจนจบ เนื่องจากจุดประสงค์ของวิธี CATS คือการลดเมคสแปนให้น้อยลง ดังนั้นเราจึงใช้ค่าเฉลี่ยของเมคสแปนตัววัดประสิทธิภาพของโครโมโซม

สำหรับค่าฟิตเนส (Fitness) ของวิธี CATS คำนวณได้ดังสมการที่ 1

$$fitness = \frac{1}{T_L - T_S} \quad \text{----- (1)}$$

T_S คือ เวลาเริ่มต้นของงานแรกที่ถูกประมวลผล

T_L คือ เวลาสิ้นสุดของงานสุดท้ายที่ถูกประมวลผล

4.3.4 ตัวดำเนินการทางพันธุกรรม (Genetic Operator)

เพื่อให้การเกิดวิวัฒนาการไปสู่คำตอบที่ดีขึ้นจึงได้มีการทำกระบวนการ Genetic Operator และสำหรับวิธี CATS จะแบ่งออกเป็น 3 ขั้นตอน ดังนี้

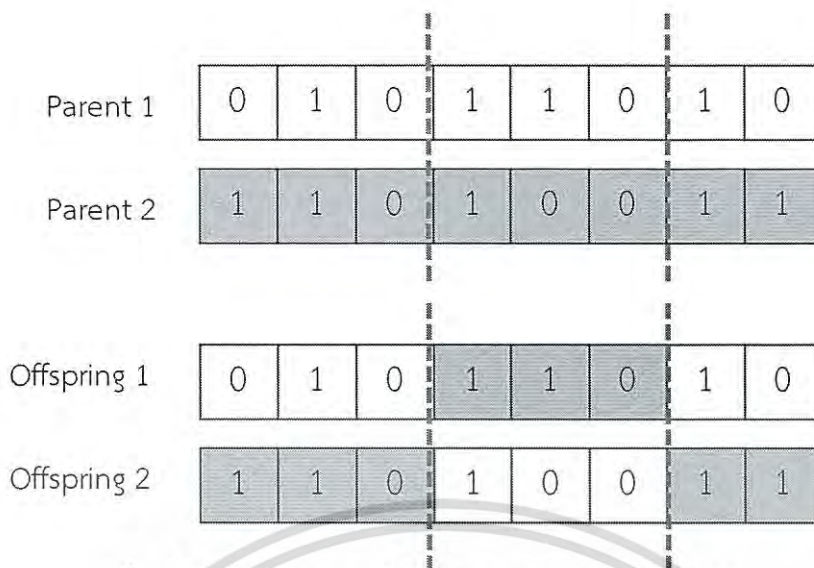
1) การคัดเลือกสายพันธุ์ (Selection)

เป็นการสร้างประชากรใหม่ด้วยการสำเนาซ้ำ (Copy) จากการคัดเลือกประชากรชุดเดิม ซึ่งจะคัดเลือกประชากรที่ดีที่สุดนั่นคือมีค่าเฉลี่ยของเมคสแปนน้อยที่สุดเป็นจำนวน 50% ของประชากรเดิม และประชากรใหม่อีก 50% ที่เหลือจะถูกสร้างจากการ Crossover และ Mutation ในขั้นตอนต่อไป

2) การแลกเปลี่ยนยีนข้ามโครโมโซมหรือครอสโอเวอร์ (Crossover)

เป็นการนำเอาโครโมโซมที่เหลือมาจับคู่และผสมยีนระหว่างกันให้ได้โครโมโซมใหม่เพื่อหาลักษณะทางพันธุกรรมใหม่ที่มีความเหมาะสมดีกว่า โดยมีตัวแปรสำคัญคือ Crossover Probability (P_c) คือ ค่าความน่าจะเป็นของการเกิด Crossover และในกรณีที่ไม่เกิดการ Crossover เกิดขึ้นจะเป็นการทำสำเนาซ้ำรูปแบบของพันธุกรรมพ่อแม่ไปสู่ลูก (Offspring)

สำหรับวิธีการผสมยีนที่ CATS เลือกใช้จะเป็นการผสมยีนแบบสองจุด (Two-Point Crossover) โดยจะสุ่มตำแหน่งสองตำแหน่งเพื่อใช้ในการ Crossover ซึ่งจะแสดงดังรูป 4.8



รูปที่ 4.8 ตัวอย่างการผสมยีนแบบสองจุดสำหรับวิธี CATS

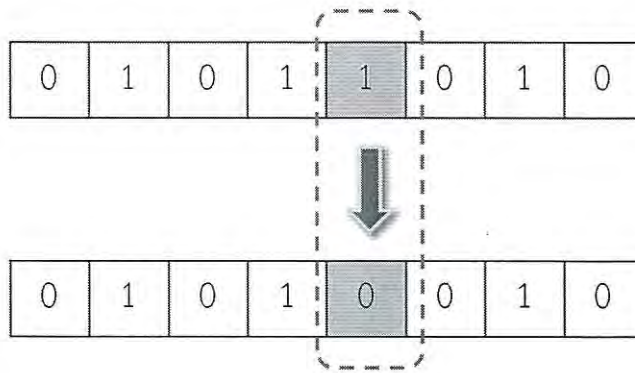
ตัวอย่างการทำ Crossover เช่น ถ้ากำหนดให้ P_c มีค่าเท่ากับ 0.8 นั่นคือมีโอกาส 80% ที่จะยอมให้เกิดการ Crossover ขึ้น ค่า P_c ที่วิธี CATS ใช้จะได้จากการทดลองในบทที่ 5

3) การปรับเปลี่ยนยีนภายในโครโมโซมหรือมิวเทชัน (Mutation)

กระบวนการ Mutation เป็นการช่วยให้สามารถค้นพบคำตอบที่อาจไม่มีข้อมูลอยู่ในกลุ่มประชากรของโครโมโซมเดิมได้ด้วยการสุ่มเปลี่ยนแปลงยีนในโครโมโซมในอัตราความน่าจะเป็นที่ค่อนข้างต่ำ ขั้นตอนการ Mutation จะเกิดขึ้นหลังจากการ Crossover เสร็จสิ้น ซึ่งจะทำการสุ่มประชากรเพื่อเปลี่ยนแปลงผลที่ได้จากการ Crossover หมายความว่า รุ่นลูกที่เกิดจากการ Crossover ระหว่างรุ่นพ่อแม่แล้วจะถูกนำมาดำเนินการ Mutation ต่อไป

ตัวแปรสำหรับการทำ Mutation คือ Mutation Probability (P_m) เป็นค่าความน่าจะเป็นในการเกิด Mutation ในกรณีที่ไม่มีการ Mutation นั้นหมายความว่ามีการ Crossover เกิดขึ้นเพียงอย่างเดียว แต่ถ้าหากว่า เกิดการ Mutation 100% จะทำให้ทุกตำแหน่งใน Chromosome มีการเปลี่ยนแปลงทั้งหมด

สำหรับวิธีการ CATS นั้น การ Mutation จะใช้รูปแบบของ A Bit-Flip Mutation คือการกลับบิตของข้อมูลจาก 0 เป็น 1 หรือ จาก 1 เป็น 0 ดังตัวอย่างในรูป 4.9



รูปที่ 4.9 ตัวอย่างการ Mutation แบบ Bit Flipped สำหรับวิธี CATS

4.3.5 การทำซ้ำ (Repetition)

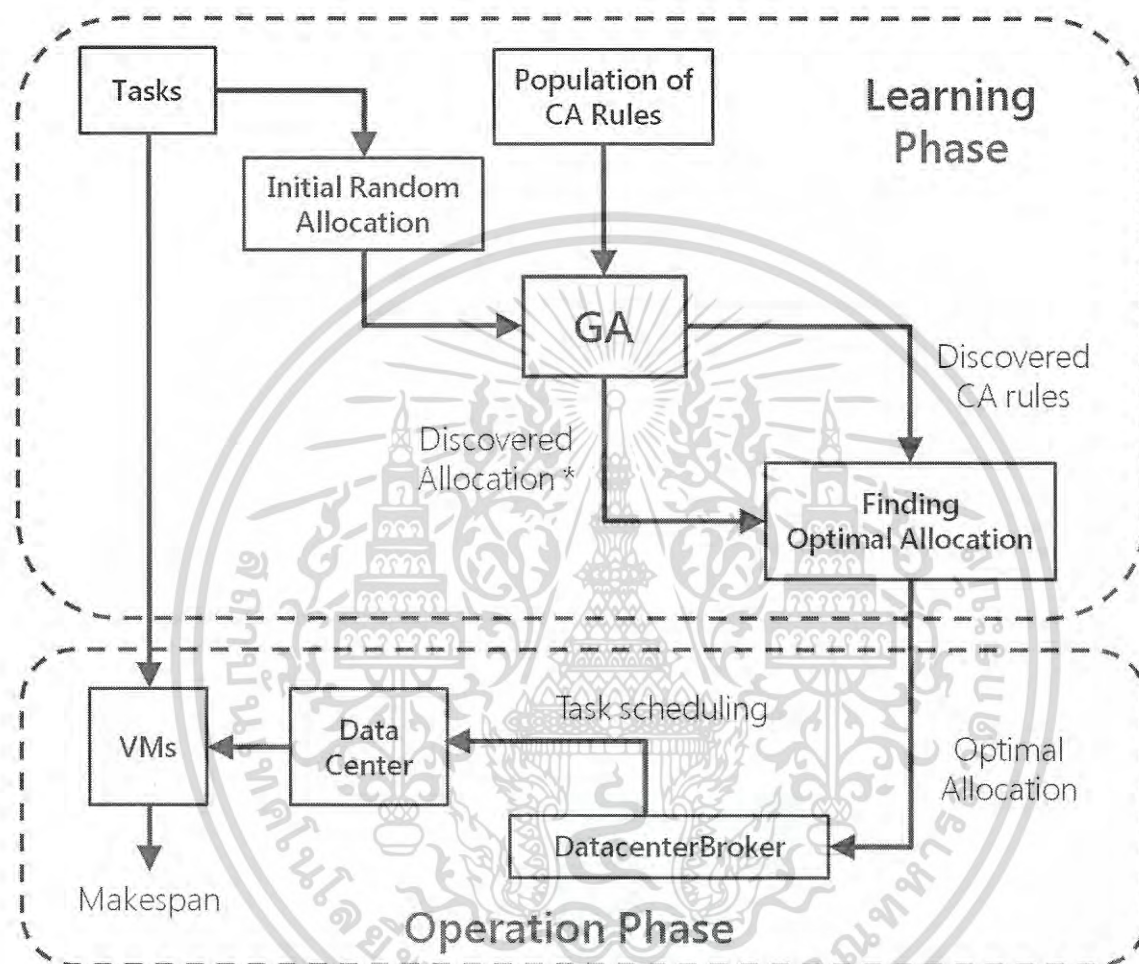
กระบวนการทั้งหมดจะถูกทำซ้ำจนกว่าจะตรงตามเงื่อนไขที่กำหนดไว้

4.3.6 ตรวจสอบเงื่อนไขหยุดการทำงาน

เงื่อนไขการหยุดการทำงาน (Termination Condition) ของวิธี CATS คือการกำหนดจำนวนรุ่น (Generation: G) เมื่อเจเนติกอัลกอริทึมทำงานครบตามจำนวนรุ่นที่ได้กำหนดไว้จะหยุดการทำงานและได้ผลลัพธ์ของประชากรที่เป็นคำตอบที่ Optimal โดยจำนวนของรุ่นที่สามารถรู้เข้าหาคำตอบที่ต้องการจะถูกทดลองในบทที่ 5

4.2 ขั้นตอนการทำงานของCATS

วิธีการCATSจะแบ่งการทำงานออกเป็นสองขั้นตอน ได้แก่ ขั้นตอนการเรียนรู้ (Learning Phase) และขั้นตอนการดำเนินการ (Operation Phase) ดังแสดงในรูปที่ 4.10



รูปที่ 4.10 ขั้นตอนการเรียนรู้และการดำเนินงานของCATS

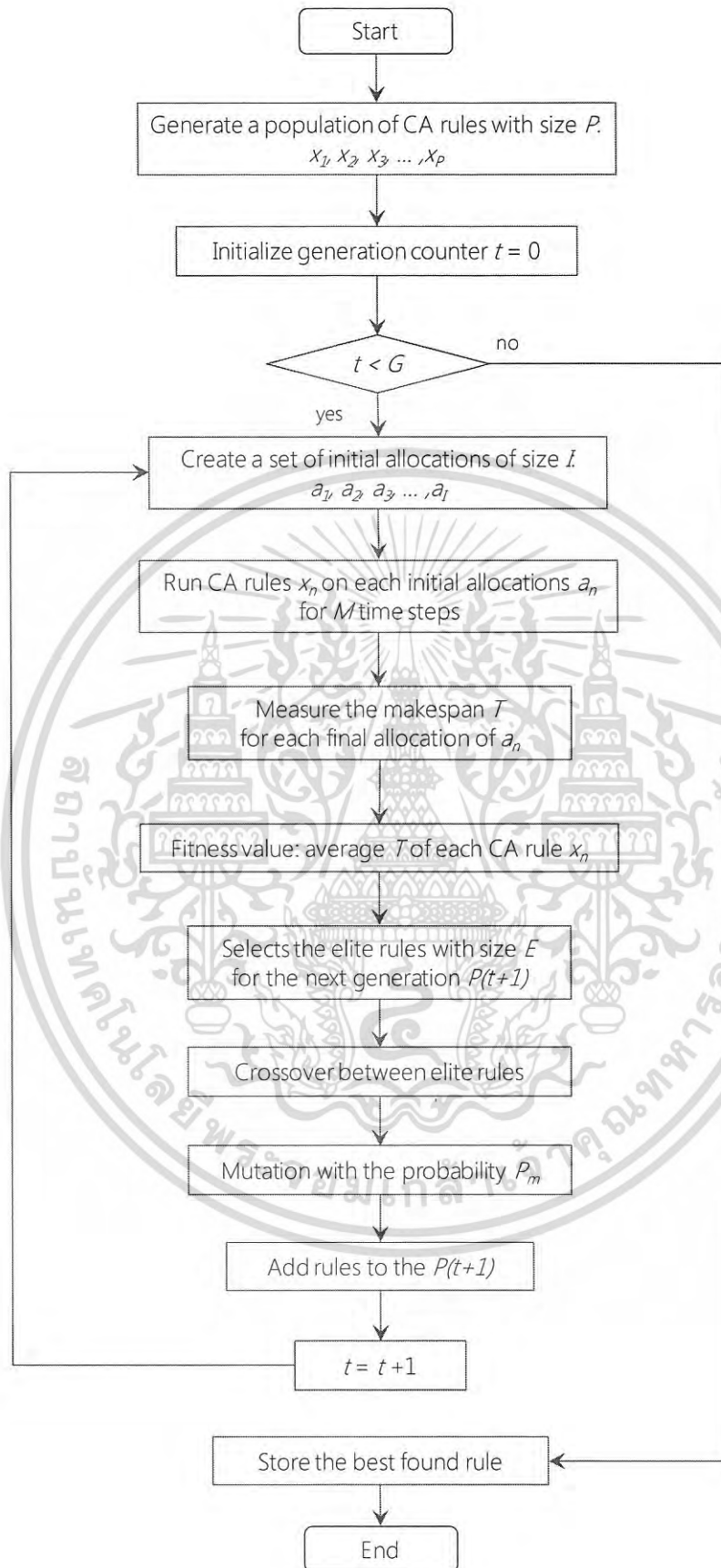
4.2.1 ขั้นตอนการเรียนรู้ (Learning Phase)

จุดมุ่งหมายของขั้นตอนการเรียนรู้ คือ เพื่อค้นหากฎที่มีประสิทธิภาพสำหรับการจัดตารางงานและวิธีการจัดตารางที่ดีที่สุด โดยใช้เจเนติกอัลกอริทึมในการค้นหา จากนั้นจะมีการหาวิธีการจัดตารางงานที่ดีที่สุดโดยการนำกฎและวิธีการจัดตารางงานที่หาได้ไปเข้ากระบวนการหาวิธีการจัดตารางงาน และจะถูกนำไปใช้งานต่อไปใน Operation Phase สำหรับขั้นตอนการทำงานของเจเนติกอัลกอริทึมมีขั้นตอนดังนี้

เอกสารนี้เป็นเอกสารที่สงวนไว้สำหรับการใช้งานเพื่อการศึกษาเท่านั้น ไม่อนุญาตให้นำไปใช้ประโยชน์ด้านการค้า ไม่ว่ากรณีใดๆ ทั้งสิ้น อีกทั้งห้ามมิให้ดัดแปลงเนื้อหา และต้องอ้างอิงถึงเจ้าของเอกสารทุกครั้งที่มีการนำไปใช้

- 1) เริ่มต้นด้วยการสร้างประชากรของกฎขึ้นมาโดยการสุ่มเป็นจำนวน P กฎ
- 2) สร้างเซตของเซลล์ลาร์อโตมาตาเพื่อใช้สำหรับการจัดสรรงานในตอนเริ่มต้นเป็นจำนวน I โดยวิธีการสุ่มสถานะในแต่ละเซลล์ของเซลล์ลาร์อโตมาตา
- 3) กฎของเซลล์ลาร์อโตมาตาแต่ละกฎในประชากร P จะทำการรันบนแต่ละการจัดสรรงานในตอนเริ่มต้นเป็นเวลา M รอบ
- 4) จากนั้นจึงวัดเวลาที่ใช้ในการประมวลผลของงานเป็นเวลา T ของแต่ละการจัดสรรงานในตอนสุดท้าย (ที่รอบ M)
- 5) หาค่าฟิตเนส (Fitness Value) ของแต่ละกฎที่เป็นสมาชิกในประชากร P โดยการหาเวลาเฉลี่ยของ T เพื่อใช้ในการคัดเลือกกฎที่มีประสิทธิภาพ
- 6) เจเนติกอัลกอริทึมจะทำการเลือกกฎที่ดีที่สุดขึ้นมาในกลุ่มหนึ่ง (Elite Rule) ซึ่งเป็นกฎที่มีค่าฟิตเนสที่ดีที่สุด โดยเลือกกฎมาเป็นจำนวน E สำหรับใช้ในการทำสำเนาเพื่อสร้างประชากรรุ่นถัดไปโดยไม่ต้องมีการแก้ไข
- 7) จำนวนกฎที่เหลืออยู่ในประชากรเป็นจำนวน $P-E$ จะถูกนำมาครอสโอเวอร์ (Crossover) ด้วยค่าความน่าจะเป็น P_c เพื่อสร้างประชากรรุ่นใหม่สำหรับรอบถัดไป
- 8) นำประชากรที่ได้จากการครอสโอเวอร์มาทำการมิวเตชัน (Mutation) ด้วยความน่าจะเป็นที่ค่า P_m
- 9) กระบวนการนี้จะถูกดำเนินการไปเรื่อยๆ G รอบ (Generation) กฎที่ค้นพบจะถูกนำไปเก็บไว้เพื่อนำไปใช้ในขั้นตอนการดำเนินการหลังจากกระบวนการค้นหากฎเสร็จสิ้น
- 10) หาวิธีการจัดตารางงานที่ดีที่สุด (Optimal Allocation) โดยการสุ่มประชากรขึ้นมาและนำกฎที่ค้นพบไปหาวิธีการจัดสรรงานที่ให้ค่าแมคสแปนน้อยที่สุด

สามารถเขียนแผนผังแสดงการทำงานของอัลกอริทึมสำหรับการค้นหากฎได้ดังรูป 4.11



รูปที่ 4.11 แผนผังของอัลกอริทึมในการค้นหากฎที่มีประสิทธิภาพ

เอกสารนี้เป็นเอกสารที่สงวนไว้สำหรับการใช้งานเพื่อการศึกษาเท่านั้น ไม่อนุญาตให้นำไปใช้ประโยชน์ด้านการค้า ไม่ว่ากรณีใดๆ ทั้งสิ้น อีกทั้งห้ามมิให้ดัดแปลงเนื้อหา และต้องอ้างอิงถึงเจ้าของเอกสารทุกครั้งที่มีการนำไปใช้

เนื่องจากเซตของการจัดสรรงานที่ใช้ในการทดสอบประสิทธิภาพของกฎจะถูกสร้างขึ้นใหม่ทุกครั้งในแต่ละรุ่น ทำให้ค่าฟิตเนสของกฎเปลี่ยนแปลงในทุกๆรอบ จึงเป็นการคัดสรรให้กฎที่มีค่าฟิตเนสที่ดีแบบคงที่สามารถผ่านจากรุ่นไปสู่อีกรุ่นได้ นั้นหมายความว่าผลลัพธ์ที่ได้ในตอนท้ายจะคงเหลือแต่กฎที่สามารถผ่านมาได้ทุกรุ่น ซึ่งเป็นกฎที่มีประสิทธิภาพและให้ผลลัพธ์ที่ดีกว่าแบบอื่น

4.2.2 ขั้นตอนการดำเนินงาน (Operation Phase)

เมื่อได้วิธีการจัดสรรงานจากการค้นพบกฎที่ดีที่สุดในช่วงการเรียนรู้ วิธีการจัดสรรงานจะถูกส่งไปยัง Datacenter Broker เพื่อทำการจัดสรรงานให้กับงานที่เข้ามาในระบบ และ Datacenter Broker จะส่งงานไปยัง Data Center อีกต่อหนึ่งเพื่อนำงานไปจัดสรรให้กับคอมพิวเตอร์เสมือนตามที่ได้กำหนดไว้ สำหรับผลการประเมินประสิทธิภาพที่ได้จากการใช้วิธี CATS จะกล่าวถึงในบทถัดไป



เอกสารนี้เป็นเอกสารที่สงวนไว้สำหรับการใช้งานเพื่อการศึกษาเท่านั้น ไม่อนุญาตให้นำไปใช้ประโยชน์ด้านการค้า ไม่ว่าจะกรณีใดๆ ทั้งสิ้น อีกทั้งห้ามมิให้ดัดแปลงเนื้อหา และต้องอ้างอิงถึงเจ้าของเอกสารทุกครั้งที่มีการนำไปใช้

บทที่ 5

การประเมินประสิทธิภาพ

ในบทนี้จะกล่าวถึงการนำวิธีมาก่อนได้ก่อน (FCFS) วิธีเจเนติกอัลกอริทึม (GA) วิธีแคตส์ (CATS) และวิธีระบบอาณานิคมมด (ACO) มาจำลองการทำงาน รวมถึงทำการเปรียบเทียบเพื่อประเมินประสิทธิภาพของวิธี CATS กับวิธีอื่น

โดยการประเมินประสิทธิภาพจะทำทั้งหมด 2 ส่วนด้วยกัน ส่วนแรกคือการจำลองการทำงานของวิธี CATS เพื่อค้นหาพารามิเตอร์ที่เหมาะสมสำหรับการนำไปใช้งาน และการจำลองการทำงานเพื่อเปรียบเทียบประสิทธิภาพของวิธี CATS กับวิธี FCFS, GA, และ ACO ในส่วนนี้จะแบ่งออกเป็นการประเมินประสิทธิภาพโดยการกำหนดให้ความสามารถในการประมวลผลของ VM เท่ากันและแตกต่างกัน

สำหรับการจำลองสถานการณ์ของระบบการประมวลผลแบบกลุ่มเมฆจะใช้คลาวด์ซิม (CloudSim) ในการจำลอง โดยจะมีการแก้ไขในส่วนของเอนทิตี (Entity) DatacenterBroker เพื่อนำอัลกอริทึมในการจัดตารางงานไปใช้งานในระบบ

5.1 การจำลองการทำงานของ CATS

5.1.1 การจำลองสถานการณ์เพื่อหาค่า Crossover Probability

Crossover Probability (P_c) คือ ความน่าจะเป็นของการเกิด Crossover ซึ่งมีค่าอยู่ในช่วง 0 - 100 ถ้าไม่เกิดการ Crossover ประชากรรุ่นพ่อแม่และลูกจะมีลักษณะเหมือนกันทุกประการ ซึ่งอาจส่งผลทำให้เกิดการพัฒนาประชากรเพื่อเข้าหาถึงผลลัพธ์ที่ดีที่สุดได้ แต่ในบางครั้งที่ Crossover ในทุกครั้งอาจเป็นการสร้างรุ่นลูกที่ด้อยคุณภาพกว่าแทนที่จะใช้ประชากรรุ่นพ่อแม่เป็นประชากรตั้งต้นใน Generation ถัดไป ซึ่งสิ่งที่เกิดขึ้นจะการลดประสิทธิภาพของการเรียนรู้ เนื่องจากจุดประสงค์หลักของวิธีการเจเนติกอัลกอริทึมคือการปรับปรุงประสิทธิภาพของการเรียนรู้ในทุกๆ Generation แต่อย่างไรก็ตามการสร้างประชากรรุ่นลูกอาจไม่จำเป็นในทุกการใช้งาน ดังนั้นจึงต้องมีการทดลองเพื่อหาค่า P_c ที่เหมาะสมที่สุดสำหรับการทำงานของ CATS

ประเภท	พารามิเตอร์	ค่าที่ใช้	
ดาต้าเซนเตอร์	จำนวนของดาต้าเซนเตอร์	10 ดาต้าเซนเตอร์	
	จำนวนของโฮสต์	2-6 โฮสต์	
	ประเภทการจัดการ	Space_shared	
		Time_shared	

เอกสารนี้เป็นเอกสารที่สงวนไว้สำหรับการใช้งานเพื่อการศึกษาเท่านั้น ไม่อนุญาตให้นำไปใช้ประโยชน์ด้านการค้าไม่ว่ากรณีใดๆ ทั้งสิ้น อีกทั้งห้ามมิให้ดัดแปลงเนื้อหา และต้องอ้างอิงถึงเจ้าของเอกสารทุกครั้งที่มีการนำไปใช้

ประเภท	พารามิเตอร์	ค่าที่ใช้
คอมพิวเตอร์เสมือน (VM)	MIPS	250-2000 MIPS
	หน่วยความจำของ VM (RAM)	512-2048 Mbytes
	ประเภทการจัดการ	Space_shared
	จำนวน VM	16 เครื่อง
Task	จำนวนงานในหนึ่งเซต	100-500 งาน
	ความยาวของงาน	5000-15000 MI

ตารางที่ 5.1 พารามิเตอร์ของการจำลองสถานการณ์สำหรับคลาวด์ซิมเพื่อหาค่า P_c

พารามิเตอร์	ค่าที่ใช้
จำนวนรุ่น (G)	20
จำนวนประชากร (P)	20
จำนวนวิธีการจัดสรรงานในตอนเริ่มต้น (I)	20
จำนวนรอบ (M)	20
จำนวนกฎที่ดีที่สุด (E)	10
ความน่าจะเป็นของการ Crossover (P_c)	0.01-0.9
ความน่าจะเป็นของการ Mutation (P_m)	0.02
จำนวนรอบที่ใช้	10

ตารางที่ 5.2 พารามิเตอร์ของการจำลองสถานการณ์สำหรับวิธี CATS เพื่อหาค่า P_c

การตั้งค่าพารามิเตอร์ที่ใช้สำหรับวิธี CATS จะให้ทำงานเป็นเวลา 20 รุ่น (Generation: G) มีจำนวนประชากร (Population: P) 20 และกำหนดให้ค่า $I = 20$, $M = 20$, $E = 10$ สำหรับการครอสโอเวอร์และมิวเทชัน เราได้เลือกใช้วิธี Two-Point Crossover และ A Bit-Flip Mutation โดยกำหนดให้มีค่าความน่าจะเป็นของการ Mutation คือ $P_m = 0.02$

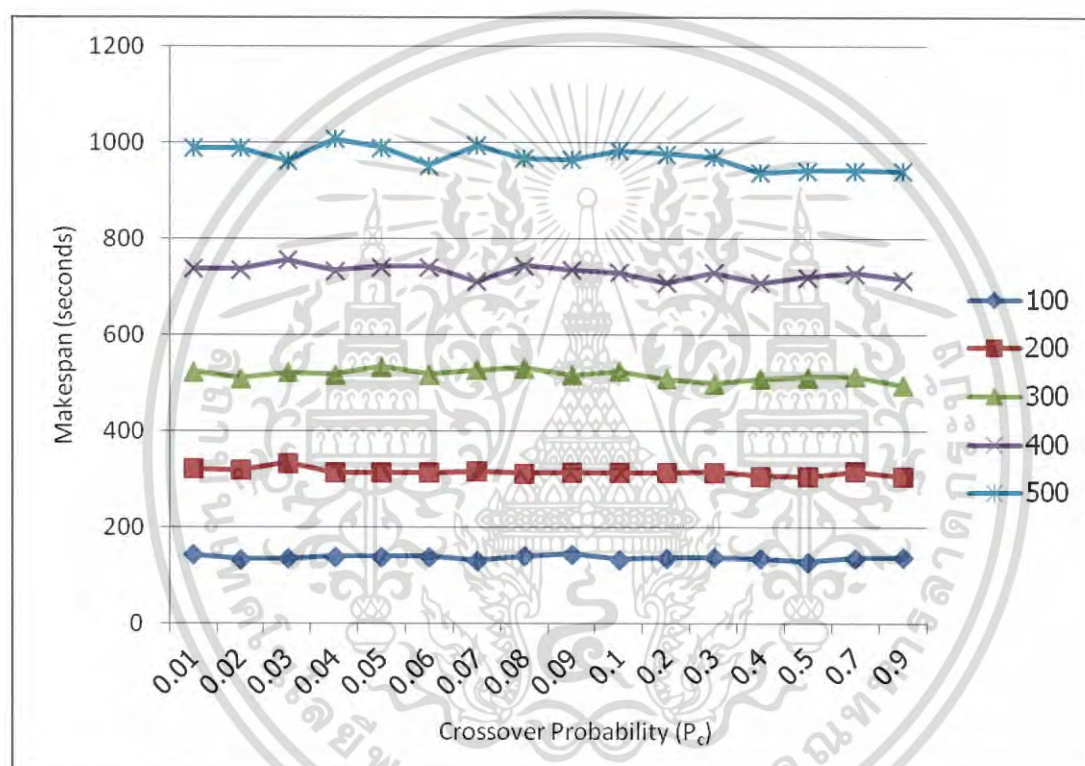
สำหรับการจำลองหาค่า P_c ที่เหมาะสมได้ทำการใช้ค่า P_c ได้แก่ 0.01, 0.02, 0.03, 0.04, 0.05, 0.06, 0.07, 0.08, 0.09, 0.1, 0.2, 0.3, 0.4, 0.5, 0.7, 0.9

กำหนดให้มีจำนวนดาต้าเซตเตอร์ 10 ดาต้าเซตเตอร์ โดยงานที่เข้ามาจะมีจำนวน 100, 200, 300, 400 และ 500 งานตามลำดับ และมีคอมพิวเตอร์เสมือนทั้งหมด 16 เครื่อง ขอบเขตความยาวของงาน (length) จะเริ่มตั้งแต่ 5000 ล้านคำสั่ง (Million Instruction: MI) จนถึง 15000 MI ส่วนความสามารถใน

เอกสารนี้เป็นเอกสารที่สงวนไว้สำหรับการใช้งานเพื่อการศึกษาเท่านั้น ไม่อนุญาตให้นำไปใช้ประโยชน์ด้านการค้า ไม่ว่าจะกรณีใดๆ ทั้งสิ้น อีกทั้งห้ามมิให้ดัดแปลงเนื้อหา และต้องอ้างอิงถึงเจ้าของเอกสารทุกครั้งที่มีการนำไปใช้

การประมวลผลของคอมพิวเตอร์เสมือนจะอยู่ระหว่าง 250 ล้านคำสั่งต่อวินาที (Million Instruction Per Second: MIPS) จนถึง 2000 MIPS ทุกๆดาต้าเซิร์ฟเวอร์จะจัดสรรคอมพิวเตอร์เสมือนบนโฮสต์แบบสุ่มโดยการใช้นโยบายแบบ Time_shared หรือ Space_shared และคอมพิวเตอร์เสมือนทุกเครื่องจะใช้นโยบาย Space_shared เท่านั้น

ในการจำลองสถานการณ์จะดำเนินการจำลองทั้งหมด 10 รอบและหาค่าเฉลี่ย ผลการจำลองสถานการณ์จะได้ดังรูป 5.1 จะเห็นว่าค่า P_c ที่เหมาะสมสำหรับการใช้งานกับวิธี CATS คือ $P_c = 0.9$ เนื่องจากสามารถให้ค่าเฉลี่ยของเมคสแปนที่ดีที่สุดสำหรับทุกงานที่เข้ามาในระบบและมีความคงที่ไม่แกว่งเหมือนกับเมคสแปนที่ค่า P_c อื่นๆ



รูป 5.1 การจำลองหาค่า P_c กับวิธี CATS

5.1.2 การจำลองสถานการณ์เพื่อหาค่า Mutation Probability

ในเจเนติกอัลกอริทึมค่า Mutation Probability (P_m) คือ ความน่าจะเป็นของการเกิดมิวเทชัน (Mutation) เป็นการปรับเปลี่ยนยีนภายในโครโมโซม ซึ่งจะถูกกำหนดไว้ในช่วง 0 ถึง 1 การมิวเทชันเป็นการเพิ่มโอกาสในการค้นหาคำตอบ (Exploration) โดยการเพิ่มพื้นที่ในการค้นหาคำคำตอบที่เป็นไปได้ทั้งหมด (Search Space)

แต่การหาค่าที่เหมาะสมนั้นมีความจำเป็นเนื่องจากการที่มีค่า P_m ที่มากเกินไปอาจจะทำให้ไม่สามารถเข้าสู่หาคำตอบได้เนื่องจากการหาคำตอบจะกลายเป็นการสุ่มซึ่งจะไปลดประสิทธิภาพการทำงานของเจเนติกเอกซารนี้ เป็นเอกสารที่สงวนไว้สำหรับการใช้งานเพื่อการศึกษาเท่านั้น ไม่อนุญาตให้นำไปใช้ประโยชน์ด้านการค้า ไม่ว่ากรณีใดๆ ทั้งสิ้น อีกทั้งห้ามมิให้ดัดแปลงเนื้อหา และต้องอ้างอิงถึงเจ้าของเอกสารทุกครั้งที่มีการนำไปใช้

อัลกอริทึม และในขณะเดียวกันหากกำหนดค่า P_m ที่น้อยเกินไปอาจจะส่งผลให้เกิดปัญหาคำตอบที่เหมาะสมเฉพาะแห่ง (Local Optimum) ซึ่งไม่ใช่คำตอบที่เหมาะสมโดยรวม (Global Optimum) ทำให้ลดโอกาสในการเจอผลลัพธ์ที่ดีกว่า

พารามิเตอร์สำหรับการจำลองการทำงานสำหรับคลาวด์ซิมจะแสดงให้เห็นดังตาราง 5.3 และพารามิเตอร์สำหรับวิธี CATS ดังตาราง 5.4

ประเภท	พารามิเตอร์	ค่าที่ใช้
ดาต้าเซเตอร์	จำนวนของดาต้าเซเตอร์	10 ดาต้าเซเตอร์
	จำนวนของโฮสต์	2-6 โฮสต์
	ประเภทการจัดการ	Space_shared
		Time_shared
คอมพิวเตอร์เสมือน (VM)	MIPS	250-2000 MIPS
	หน่วยความจำของ VM (RAM)	512-2048 Mbytes
	ประเภทการจัดการ	Space_shared
	จำนวน VM	16 เครื่อง
Task	จำนวนงานในหนึ่งเซต	100-500 งาน
	ความยาวของงาน	5000-15000 MI

ตารางที่ 5.3 พารามิเตอร์ของการจำลองสถานการณ์สำหรับคลาวด์ซิมเพื่อหาค่า P_m

พารามิเตอร์	ค่าที่ใช้
จำนวนรุ่น (G)	20
จำนวนประชากร (P)	20
จำนวนวิธีการจัดสรรงานในตอนเริ่มต้น (I)	20
จำนวนรอบ (M)	20
จำนวนกฎที่ดีที่สุด (E)	10
ความน่าจะเป็นของการ Crossover (P_c)	0.9
ความน่าจะเป็นของการ Mutation (P_m)	0.01-0.9
จำนวนรอบที่ใช้	10

ตารางที่ 5.4 พารามิเตอร์ของการจำลองสถานการณ์สำหรับวิธี CATS เพื่อหาค่า P_m

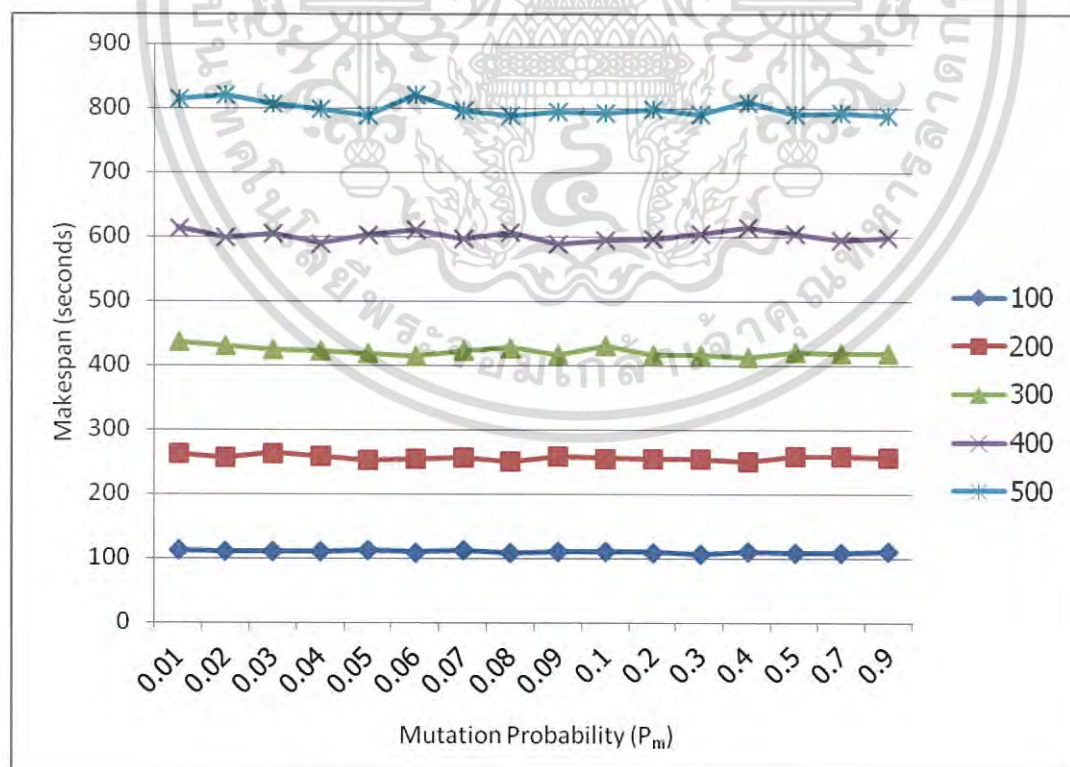
เอกสารนี้เป็นเอกสารที่สงวนไว้สำหรับการใช้งานเพื่อการศึกษาเท่านั้น ไม่อนุญาตให้นำไปใช้ประโยชน์ด้านการค้า ไม่ว่ากรณีใดๆ ทั้งสิ้น อีกทั้งห้ามมิให้ดัดแปลงเนื้อหา และต้องอ้างอิงถึงเจ้าของเอกสารทุกครั้งที่มีการนำไปใช้

การตั้งค่าพารามิเตอร์ที่ใช้สำหรับวิธี CATS จะให้ทำงานเป็นเวลา 20 รุ่น (Generation: G) มีจำนวนประชากร (Population: P) 20 และกำหนดให้ค่า $I = 20$, $M = 20$, $E = 10$ สำหรับการครอสโอเวอร์และมิวเทชัน เราได้เลือกใช้วิธี Two-Point Crossover และ A Bit-Flip Mutation โดยกำหนดให้มีค่าความน่าจะเป็นของการ Crossover คือ $P_c = 0.9$ ซึ่งเป็นค่าที่ได้จากการทดลองในข้อ 5.1.1

สำหรับการจำลองหาค่า P_m ที่เหมาะสมได้ทำการใช้ค่า P_m ได้แก่ 0.01, 0.02, 0.03, 0.04, 0.05, 0.06, 0.07, 0.08, 0.09, 0.1, 0.2, 0.3, 0.4, 0.5, 0.7, 0.9

กำหนดให้มีจำนวนดาต้าเซตเตอร์ 10 ดาต้าเซตเตอร์ โดยงานที่เข้ามาจะมีจำนวน 100, 200, 300, 400 และ 500 งานตามลำดับ และมีคอมพิวเตอร์เสมือนทั้งหมด 16 เครื่อง ขอบเขตความยาวของงาน (length) จะเริ่มตั้งแต่ 5000 ล้านคำสั่ง (Million Instruction: MI) จนถึง 15000 MI ส่วนความสามารถในการประมวลผลของคอมพิวเตอร์เสมือนจะอยู่ระหว่าง 250 ล้านคำสั่งต่อวินาที (Million Instruction Per Second: MIPS) จนถึง 2000 MIPS ทุกๆดาต้าเซตเตอร์จะจัดสรรคอมพิวเตอร์เสมือนบนโฮสต์แบบสุ่มโดยการใช้นโยบายแบบ Time_shared หรือ Space_shared และคอมพิวเตอร์เสมือนทุกเครื่องจะใช้นโยบาย Space_shared เท่านั้น

ในการทดลองจะใช้ทั้งหมด 10 รอบและหาค่าเฉลี่ย ผลการจำลองสถานการณ์จะได้ดังรูป 5.2 จะเห็นว่าค่า P_m ที่เหมาะสมสำหรับการใช้งานกับวิธี CATS คือ $P_m = 0.04$



รูปที่ 5.2 การจำลองหาค่า P_m กับวิธี CATS

เอกสารนี้เป็นเอกสารที่สงวนไว้สำหรับการใช้งานเพื่อการศึกษาเท่านั้น ไม่อนุญาตให้นำไปใช้ประโยชน์ด้านการค้า ไม่ว่ากรณีใดๆ ทั้งสิ้น อีกทั้งห้ามมิให้ดัดแปลงเนื้อหา และต้องอ้างอิงถึงเจ้าของเอกสารทุกครั้งที่มีการนำไปใช้

5.1.3 การจำลองสถานการณ์เพื่อหาจำนวนประชากร

จำนวนประชากร (Population Size: P) จะแสดงให้เห็นถึงจำนวนโครโมโซมทั้งหมดที่เป็นประชากรใน 1 Generation ถ้ามีจำนวนประชากรที่น้อยเกินไปอาจทำให้เจเนติกอัลกอริทึมมีโอกาสน้อยที่จะทำ Crossover และลด Search Space น้อยลง ในทางตรงกันข้าม ถ้ามีจำนวนประชากรที่มากเกินไปจะส่งผลให้เจเนติกอัลกอริทึมทำงานได้ช้าลง การเพิ่มจำนวนประชากรอาจไม่ได้ทำให้ได้ประสิทธิภาพที่ดีขึ้น จึงต้องมีการทดลองเพื่อหาจำนวนประชากรที่เหมาะสมเช่นเดียวกันกับพารามิเตอร์อื่นๆ

พารามิเตอร์สำหรับการจำลองการทำงานสำหรับคลาวด์ซิมจะแสดงให้เก็็นดังตาราง 5.5 และพารามิเตอร์สำหรับวิธี CATS ดังตาราง 5.6

ประเภท	พารามิเตอร์	ค่าที่ใช้
ดาต้าเซนเตอร์	จำนวนของดาต้าเซนเตอร์	10 ดาต้าเซนเตอร์
	จำนวนของโฮสต์	2-6 โฮสต์
	ประเภทการจัดการ	Space_shared
		Time_shared
คอมพิวเตอร์เสมือน (VM)	MIPS	250-2000 MIPS
	หน่วยความจำของ VM (RAM)	512-2048 Mbytes
	ประเภทการจัดการ	Space_shared
	จำนวน VM	16 เครื่อง
Task	จำนวนงานในหนึ่งเซต	100-500 งาน
	ความยาวของงาน	5000-15000 MI

ตารางที่ 5.5 พารามิเตอร์ของการจำลองสถานการณ์สำหรับคลาวด์ซิมเพื่อหาค่า P

พารามิเตอร์	ค่าที่ใช้
จำนวนรุ่น (G)	20
จำนวนประชากร (P)	5-100
จำนวนวิธีการจัดสรรงานในตอนเริ่มต้น (I)	20
จำนวนรอบ (M)	20
จำนวนกฎที่ดีที่สุด (E)	10

เอกสารนี้เป็นเอกสารที่สงวนไว้สำหรับการใช้งานเพื่อการศึกษาเท่านั้น ไม่อนุญาตให้นำไปใช้ประโยชน์ด้านการค้าไม่ว่ากรณีใดๆ ทั้งสิ้น อีกทั้งห้ามมิให้ดัดแปลงเนื้อหา และต้องอ้างอิงถึงเจ้าของเอกสารทุกครั้งที่มีการนำไปใช้

พารามิเตอร์	ค่าที่ใช้
ความน่าจะเป็นของการ Crossover (P_c)	0.9
ความน่าจะเป็นของการ Mutation (P_m)	0.04
จำนวนรอบที่ใช้	10

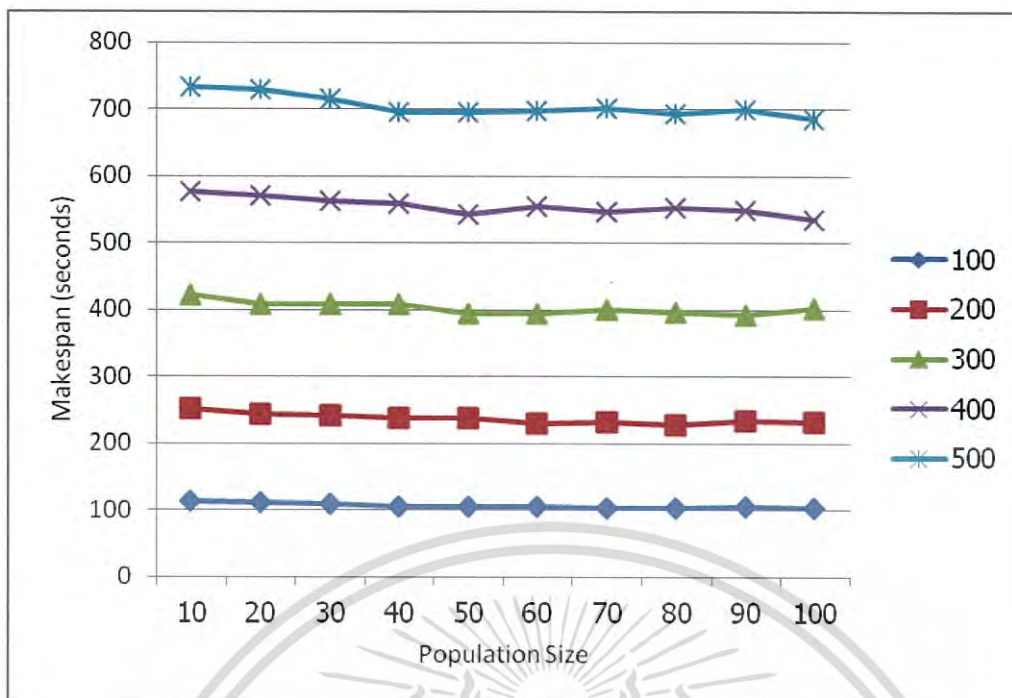
ตารางที่ 5.6 พารามิเตอร์ของการจำลองสถานการณ์สำหรับวิธี CATS เพื่อหาค่า P

การตั้งค่าพารามิเตอร์ที่ใช้สำหรับวิธี CATS จะให้ทำงานเป็นเวลา 20 รุ่น (Generation: G) กำหนดให้ค่า $I = 20$, $M = 20$, $E = 10$ สำหรับการครอสโอเวอร์และมิวเทชัน เราได้เลือกใช้วิธี Two-Point Crossover และ A Bit-Flip Mutation โดยกำหนดให้มีค่าความน่าจะเป็นของการ Crossover คือ $P_c = 0.9$ และค่าความน่าจะเป็นของการ Mutation คือ $P_m = 0.04$

สำหรับการจำลองหาค่า P ที่เหมาะสมได้ทำการใช้ค่า P ได้แก่ 5, 10, 15, 20, 30, 50, 80, 100

กำหนดให้มีจำนวนดาต้าเซตเตอร์ 10 ดาต้าเซตเตอร์ โดยงานที่เข้ามาจะมีจำนวน 100, 200, 300, 400 และ 500 งานตามลำดับ และมีคอมพิวเตอร์เสมือนทั้งหมด 16 เครื่อง ขอบเขตความยาวของงาน (length) จะเริ่มตั้งแต่ 5000 ล้านคำสั่ง (Million Instruction: MI) จนถึง 15000 MI ส่วนความสามารถในการประมวลผลของคอมพิวเตอร์เสมือนจะอยู่ระหว่าง 250 ล้านคำสั่งต่อวินาที (Million Instruction Per Second: MIPS) จนถึง 2000 MIPS ทุกๆดาต้าเซตเตอร์จะจัดสรรคอมพิวเตอร์เสมือนบนโฮสต์แบบสุ่มโดยการใช้นโยบายแบบ Time_shared หรือ Space_shared และคอมพิวเตอร์เสมือนทุกเครื่องจะใช้นโยบาย Space_shared เท่านั้น

ในการทดลองจะใช้ทั้งหมด 10 รอบและหาค่าเฉลี่ย ผลการจำลองสถานการณ์จะได้ดังรูป 5.3 ผลลัพธ์ที่ได้คือ CATS จะให้คำตอบที่เริ่ม Optimal เมื่อใช้จำนวนประชากรตั้งแต่ 50 เป็นต้นไป



รูปที่ 5.3 การจำลองหาค่า P กับวิธี CATS

5.1.3 การจำลองสถานการณ์เพื่อหาค่า Generation

เป็นการจำลองเพื่อค้นหาช่วง Generation ที่ค่าฟิตเนสเข้าสู่หาค่าตอบที่ดีที่สุด เพื่อให้สามารถประเมินจำนวนรอบการทำงานที่จำเป็นต้องใช้ในเจเนติกอัลกอริทึมสำหรับ CATS ได้ ในการจำลองสถานการณ์จะใช้พารามิเตอร์ดังตาราง 5.7 และ 5.8 โดยทดสอบกับงานที่เข้ามาในระบบจำนวน 300 งาน ใช้คอมพิวเตอร์เสมือนจำนวน 16 เครื่อง และกำหนดจำนวนรอบของ Generation (G) ทั้งหมด 200 รอบ และมีการจำลองทั้งหมด 10 รอบ เพื่อนำไปหาค่าเฉลี่ยต่อไป

ประเภท	พารามิเตอร์	ค่าที่ใช้
ดาต้าเซนเตอร์	จำนวนของดาต้าเซนเตอร์	10 ดาต้าเซนเตอร์
	จำนวนของโฮสต์	2-6 โฮสต์
	ประเภทการจัดการ	Space_shared
		Time_shared
คอมพิวเตอร์เสมือน (VM)	MIPS	250-2000 MIPS
	หน่วยความจำของ VM (RAM)	512-2048 Mbytes
	ประเภทการจัดการ	Space_shared
	จำนวน VM	16 เครื่อง

เอกสารนี้เป็นเอกสารที่สงวนไว้สำหรับการใช้งานเพื่อการศึกษาเท่านั้น ไม่อนุญาตให้นำไปใช้ประโยชน์ด้านการค้า ไม่ว่ากรณีใดๆ ทั้งสิ้น อีกทั้งห้ามมิให้ดัดแปลงเนื้อหา และต้องอ้างอิงถึงเจ้าของเอกสารทุกครั้งที่มีการนำไปใช้

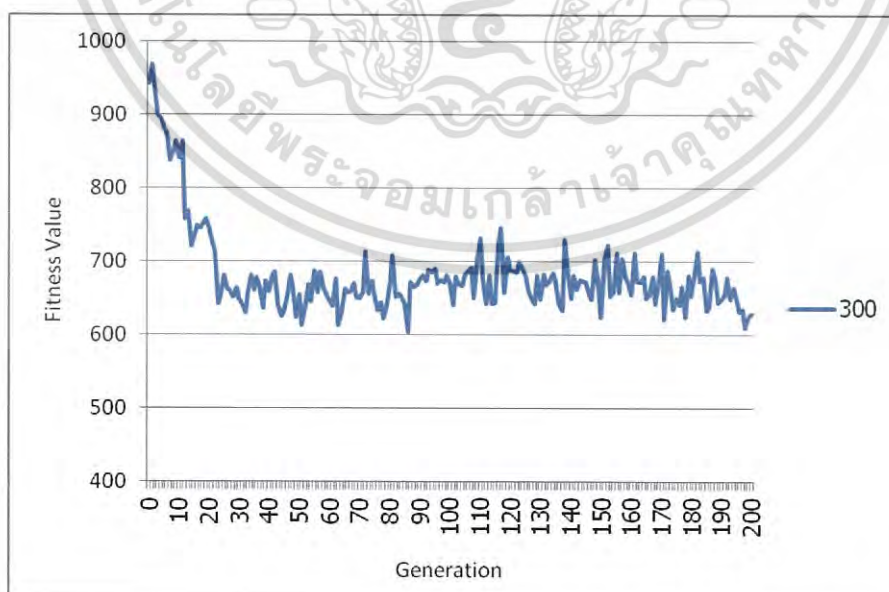
ประเภท	พารามิเตอร์	ค่าที่ใช้
Task	จำนวนงาน	300 งาน
	ความยาวของงาน	5000-15000 MI

ตารางที่ 5.7 พารามิเตอร์ของการจำลองสถานการณ์สำหรับคลาวด์ซิมเพื่อหาค่า G

พารามิเตอร์	ค่าที่ใช้
จำนวนรุ่น (G)	100
จำนวนประชากร (P)	20
จำนวนวิธีการจัดสรรงานในตอนเริ่มต้น (I)	20
จำนวนรอบ (M)	20
จำนวนกฎที่ดีที่สุด (E)	10
ความน่าจะเป็นของการ Crossover (P_c)	0.9
ความน่าจะเป็นของการ Mutation (P_m)	0.04
จำนวนรอบที่ใช้	10

ตารางที่ 5.8 พารามิเตอร์ของการจำลองสถานการณ์สำหรับวิธี CATS เพื่อหาค่า G

ผลลัพธ์จะได้ดังรูปที่ 5.4 แสดงให้เห็นการลู่เข้าหาค่า Fitness Value ที่ดีที่สุดจะเริ่มที่ประมาณรอบที่ 30 ดังนั้นค่า Generation ที่เหมาะสมในนำไปใช้กับวิธี CATS คือ 30 Generation



รูปที่ 5.4 การจำลองหาค่า Generation กับวิธี CATS

เอกสารนี้เป็นเอกสารที่สงวนไว้สำหรับการใช้งานเพื่อการศึกษาเท่านั้น ไม่อนุญาตให้นำไปใช้ประโยชน์ด้านการค้า ไม่ว่ากรณีใดๆ ทั้งสิ้น อีกทั้งห้ามมิให้ดัดแปลงเนื้อหา และต้องอ้างอิงถึงเจ้าของเอกสารทุกครั้งที่มีการนำไปใช้

5.2 การเปรียบเทียบประสิทธิภาพของ CATS กับวิธีการอื่น

เปรียบเทียบประสิทธิภาพโดยการเปรียบเทียบเมคสแปน เพื่อหาระบบที่ให้เมคสแปนที่น้อยที่สุด สำหรับระบบที่นำมาเปรียบเทียบประสิทธิภาพกับวิธี CATS มีดังนี้

- 1) วิธีแบบมาก่อนได้ก่อน (First-Come-First-Served: FCFS)
- 2) วิธีเจเนติกอัลกอริทึม (Genetic Algorithm: GA)
- 3) วิธีระบบอาณานิคมมด (Ant Colony Optimization: ACO)

พารามิเตอร์ที่ใช้ในการจำลองสถานการณ์เพื่อเปรียบเทียบประสิทธิภาพจะใช้พารามิเตอร์ดังตารางที่

5.9, 5.10, 5.11 และ 5.12

โดยในตารางที่ 5.9 จะมีการสุ่มค่าพารามิเตอร์บางค่าให้มีความแตกต่างกันตามช่วงที่กำหนด ได้แก่ จำนวนของโฮสต์ 2-6 โฮสต์ ความสามารถในการประมวลผลของ VM 250-2000 MIPS ความยาวของงาน 5000-15000 MI

ประเภท	พารามิเตอร์	ค่าที่ใช้
ดาต้าเซิร์ฟเวอร์	จำนวนของดาต้าเซิร์ฟเวอร์	10 ดาต้าเซิร์ฟเวอร์
	จำนวนของโฮสต์	2-6 โฮสต์
	ประเภทการจัดการ	Space_shared
		Time_shared
คอมพิวเตอร์เสมือน (VM)	MIPS	250-2000 MIPS
	หน่วยความจำของ VM (RAM)	512-2048 Mbytes
	ประเภทการจัดการ	Space_shared
	จำนวน VM	2-32 VM
Task	จำนวนงานในหนึ่งเซต	100-500 งาน
	ความยาวของงาน	5000-15000 MI

ตารางที่ 5.9 พารามิเตอร์ของการจำลองสถานการณ์สำหรับคลาวด์ซิมเพื่อเปรียบเทียบกับระบบอื่น

พารามิเตอร์	ค่าที่ใช้
จำนวนรุ่น (G)	30
จำนวนประชากร (P)	50
จำนวนวิธีการจัดสรรงานในตอนเริ่มต้น (I)	20
จำนวนรอบ (M)	20
จำนวนกฎที่ดีที่สุด (E)	20
ความน่าจะเป็นของการ Crossover (P_c)	0.9
ความน่าจะเป็นของการ Mutation (P_m)	0.04
จำนวนรอบที่ใช้	10

ตารางที่ 5.10 พารามิเตอร์ของการจำลองสถานการณ์สำหรับวิธี CATS เพื่อเปรียบเทียบกับระบบอื่น

พารามิเตอร์	ค่าที่ใช้
จำนวนรุ่น (G)	30
จำนวนประชากร (P)	50
จำนวนกฎที่ดีที่สุด (E)	20
ความน่าจะเป็นของการ Crossover (P_c)	0.9
ความน่าจะเป็นของการ Mutation (P_m)	0.04
จำนวนรอบที่ใช้	10

ตารางที่ 5.11 พารามิเตอร์ของการจำลองสถานการณ์สำหรับวิธีเจเนติกอัลกอริทึม

พารามิเตอร์	ค่าที่ใช้
จำนวนรอบของมด	50
จำนวนมด (m)	10
α	0.3
β	1
ρ	0.4
Q	100
จำนวนรอบที่ใช้	10

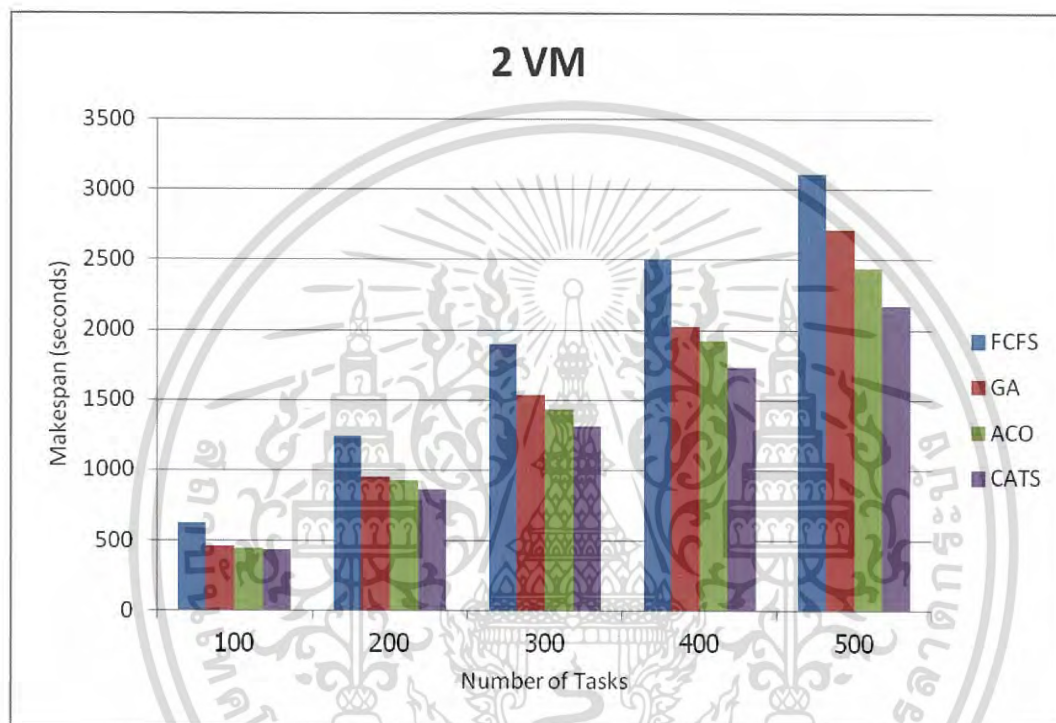
ตารางที่ 5.12 พารามิเตอร์ของการจำลองสถานการณ์สำหรับวิธีระบบอานานิคมมด

เอกสารนี้เป็นเอกสารที่สงวนไว้สำหรับการใช้งานเพื่อการศึกษาเท่านั้น ไม่อนุญาตให้นำไปใช้ประโยชน์ด้านการค้า ไม่ว่ากรณีใดๆ ทั้งสิ้น อีกทั้งห้ามมิให้ตัดแปลงเนื้อหา และต้องอ้างอิงถึงเจ้าของเอกสารทุกครั้งที่มีการนำไปใช้

5.2.1 การเปรียบเทียบประสิทธิภาพวิธี CATS กับวิธีอื่นที่ 2, 4, 8, 16, 32 VM

ในการเปรียบเทียบเมคสแปนจะเทียบวิธี CATS กับวิธีอื่นเมื่อมีงานเข้ามาในระบบ 100-500 งาน โดยจะประเมินประสิทธิภาพที่จำนวน VM เป็น 2, 4, 8, 16, 32 โดยใช้พารามิเตอร์ต่างๆตามที่ได้กล่าวข้างต้น และเปรียบเทียบเมคสแปนในรูปแบบของกราฟ ดังแสดงในรูปที่ 5.5 ถึง 5.10

1) การเปรียบเทียบประสิทธิภาพวิธี CATS กับวิธีอื่นที่ 2 VM

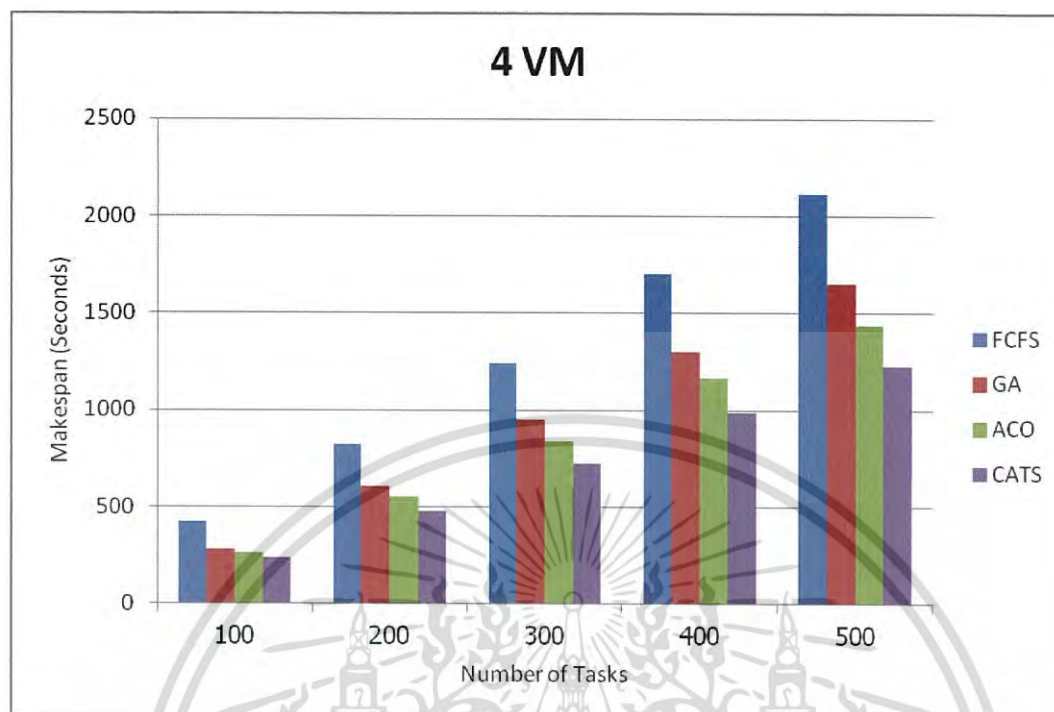


รูปที่ 5.5 ผลการเปรียบเทียบเมคสแปนของวิธี CATS กับวิธีอื่นที่ 2 VM

จากรูปที่ 5.5 แสดงค่าเมคสแปนกับจำนวนงานที่เพิ่มขึ้นในระบบประมวลผล โดยจากกราฟจะเรียงลำดับประสิทธิภาพในการลดเมคสแปนของแต่ละวิธีจากมากที่สุดไปยังน้อยที่สุดได้ดังนี้ CATS, ACO, GA และ FCFS ตามลำดับ

สังเกตได้ว่าวิธี CATS มีประสิทธิภาพในการลดเมคสแปนที่เหนือกว่าวิธี FCFS, GA, ACO ส่งผลทำให้วิธีของ CATS ช่วยลดระยะเวลาของการประมวลผลของงานที่เข้ามาในระบบที่มีจำนวน 2 VM ตั้งแต่ 100, 200, 300, 400 และ 500 งาน ได้มากที่สุดเมื่อเทียบกับวิธีอื่น

2) การเปรียบเทียบประสิทธิภาพวิธี CATS กับวิธีอื่นที่ 4 VM

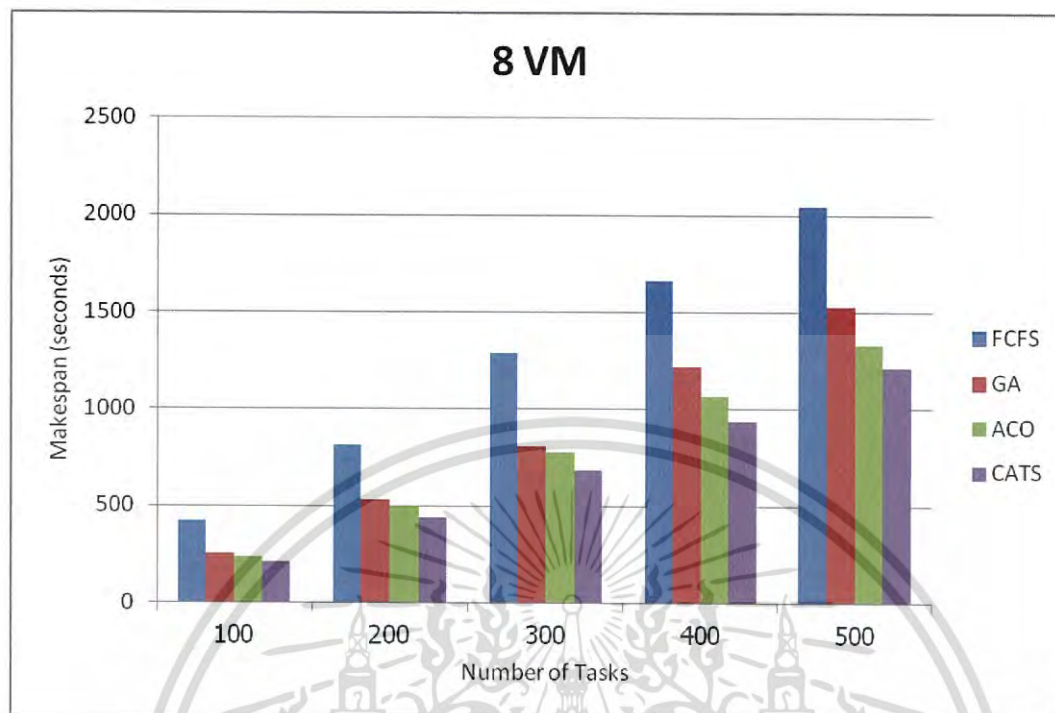


รูปที่ 5.6 ผลการเปรียบเทียบเมคสแปนของวิธี CATS กับวิธีอื่นที่ 4 VM

จากรูปที่ 5.6 แสดงค่าเมคสแปนกับจำนวนงานที่เพิ่มขึ้นในระบบประมวลผล โดยจากกราฟจะเรียงลำดับประสิทธิภาพในการลดเมคสแปนของแต่ละวิธีจากมากที่สุดไปยังน้อยที่สุดได้ดังนี้ CATS, ACO, GA และ FCFS ตามลำดับ

สังเกตได้ว่าวิธี CATS มีประสิทธิภาพในการลดเมคสแปนที่เหนือกว่าวิธี FCFS, GA, ACO ส่งผลทำให้วิธีของ CATS ช่วยลดระยะเวลาของการประมวลผลของงานที่เข้ามาในระบบที่มีจำนวน 4 VM ตั้งแต่ 100, 200, 300, 400 และ 500 งาน ได้มากที่สุดเมื่อเทียบกับวิธีอื่น

3) การเปรียบเทียบประสิทธิภาพวิธี CATS กับวิธีอื่นที่ 8 VM

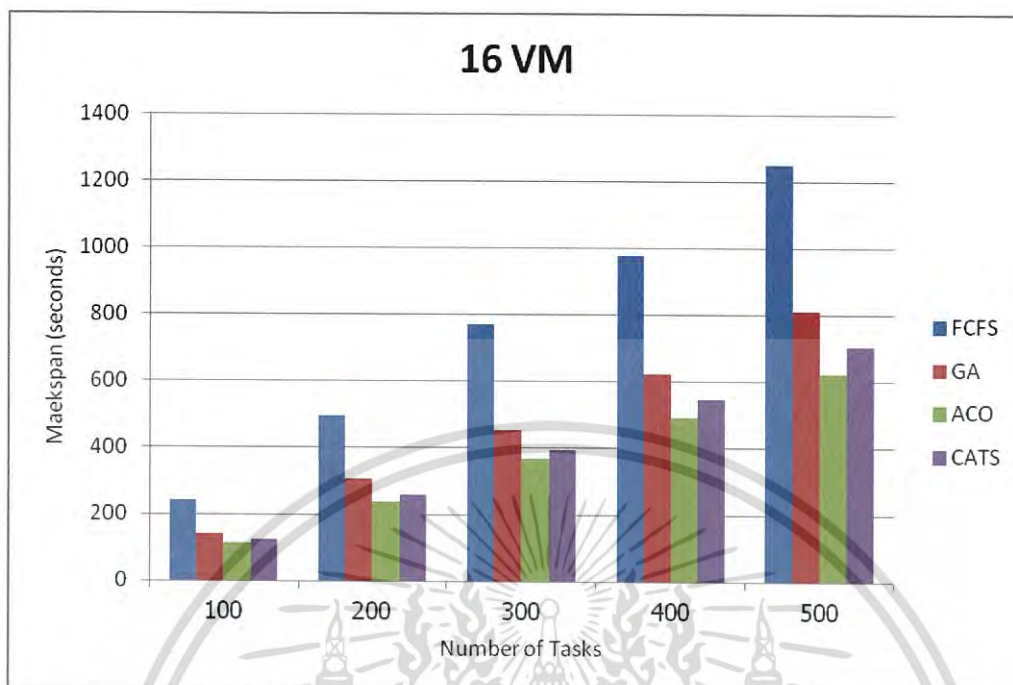


รูปที่ 5.7 ผลการเปรียบเทียบเมคสแปนของวิธี CATS กับวิธีอื่นที่ 8 VM

จากรูปที่ 5.7 แสดงค่าเมคสแปนกับจำนวนงานที่เพิ่มขึ้นในระบบประมวลผล โดยจากกราฟจะเรียงลำดับประสิทธิภาพในการลดเมคสแปนของแต่ละวิธีจากมากที่สุดไปอย่างน้อยที่สุดได้ดังนี้ CATS, ACO, GA และ FCFS ตามลำดับ

สังเกตได้ว่าวิธี CATS มีประสิทธิภาพในการลดเมคสแปนที่เหนือกว่าวิธี FCFS, GA, ACO ส่งผลทำให้วิธีของ CATS ช่วยลดระยะเวลาของการประมวลผลของงานที่เข้ามาในระบบที่มีจำนวน 8 VM ตั้งแต่ 100, 200, 300, 400 และ 500 งาน ได้มากที่สุดเมื่อเทียบกับวิธีอื่น

4) การเปรียบเทียบประสิทธิภาพวิธี CATS กับวิธีอื่นที่ 16 VM

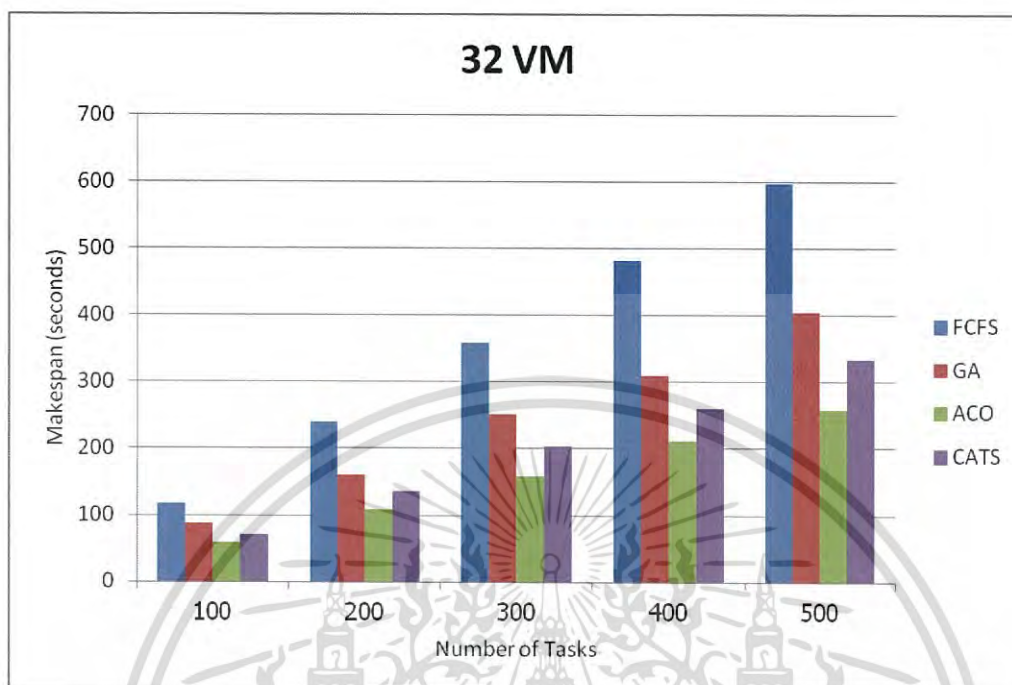


รูปที่ 5.8 ผลการเปรียบเทียบเมคสแปนของวิธี CATS กับวิธีอื่นที่ 16 VM

จากรูปที่ 5.8 แสดงค่าเมคสแปนกับจำนวนงานที่เพิ่มขึ้นในระบบประมวลผล โดยจากกราฟจะเรียงลำดับประสิทธิภาพในการลดเมคสแปนของแต่ละวิธีจากมากที่สุดไปอย่างน้อยที่สุดได้ดังนี้ ACO, CATS, GA และ FCFS ตามลำดับ

สังเกตได้ว่าวิธี CATS มีประสิทธิภาพในการลดเมคสแปนที่เหนือกว่าวิธี FCFS, GA แต่ยังมีประสิทธิภาพที่ด้อยกว่าวิธี ACO เมื่อเริ่มมีจำนวนของ VM ที่เพิ่มขึ้นเป็น 16 VM ส่งผลทำให้วิธีของ ACO ช่วยลดระยะเวลาของการประมวลผลของงานที่เข้ามาในระบบที่มีจำนวน 16 VM ตั้งแต่ 100, 200, 300, 400 และ 500 งาน ได้มากที่สุด

5) การเปรียบเทียบประสิทธิภาพวิธี CATS กับวิธีอื่นที่ 32 VM

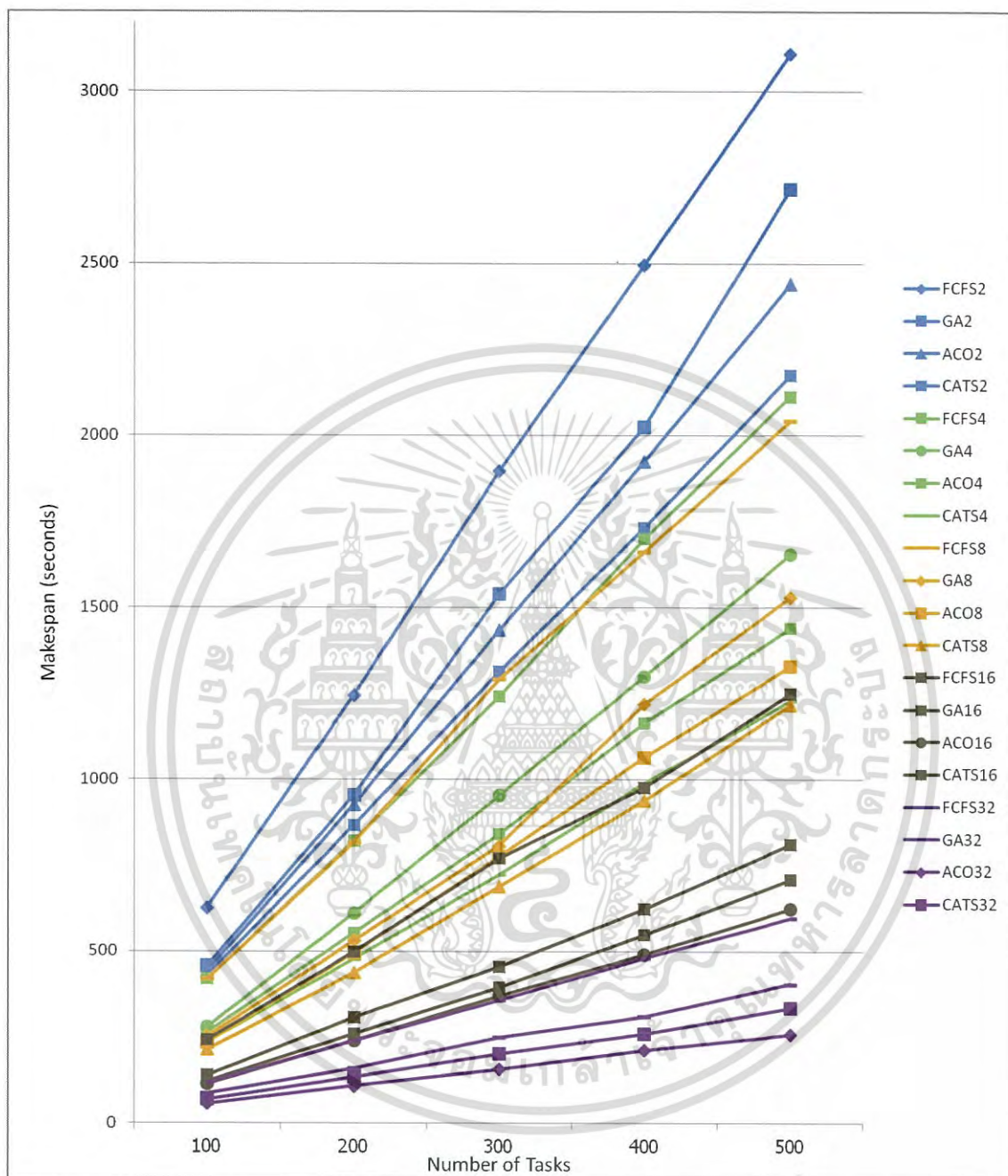


รูปที่ 5.9 ผลการเปรียบเทียบเมคสแปนของวิธี CATS กับวิธีอื่นที่ 32 VM

จากรูปที่ 5.9 แสดงค่าเมคสแปนกับจำนวนงานที่เพิ่มขึ้นในระบบประมวลผล โดยจากกราฟจะเรียงลำดับประสิทธิภาพในการลดเมคสแปนของแต่ละวิธีจากมากที่สุดไปยังน้อยที่สุดได้ดังนี้ ACO, CATS, GA และ FCFS ตามลำดับ

สังเกตได้ว่าวิธี CATS มีประสิทธิภาพในการลดเมคสแปนที่เหนือกว่าวิธี FCFS, GA แต่ยังมีประสิทธิภาพที่ด้อยกว่าวิธี ACO เมื่อเริ่มมีจำนวนของ VM ที่เพิ่มขึ้นเป็น 32 VM ส่งผลทำให้วิธีของ ACO ช่วยลดระยะเวลาของการประมวลผลของงานที่เข้ามาในระบบที่มีจำนวน 32 VM ตั้งแต่ 100, 200, 300, 400 และ 500 งาน ได้มากที่สุด

6) การเปรียบเทียบประสิทธิภาพวิธี CATS กับวิธีอื่นตั้งแต่ 2, 4, 8, 16, 32 VM



รูปที่ 5.10 ภาพรวมของผลการเปรียบเทียบประสิทธิภาพวิธี CATS กับวิธีอื่นในแกนจำนวนงาน

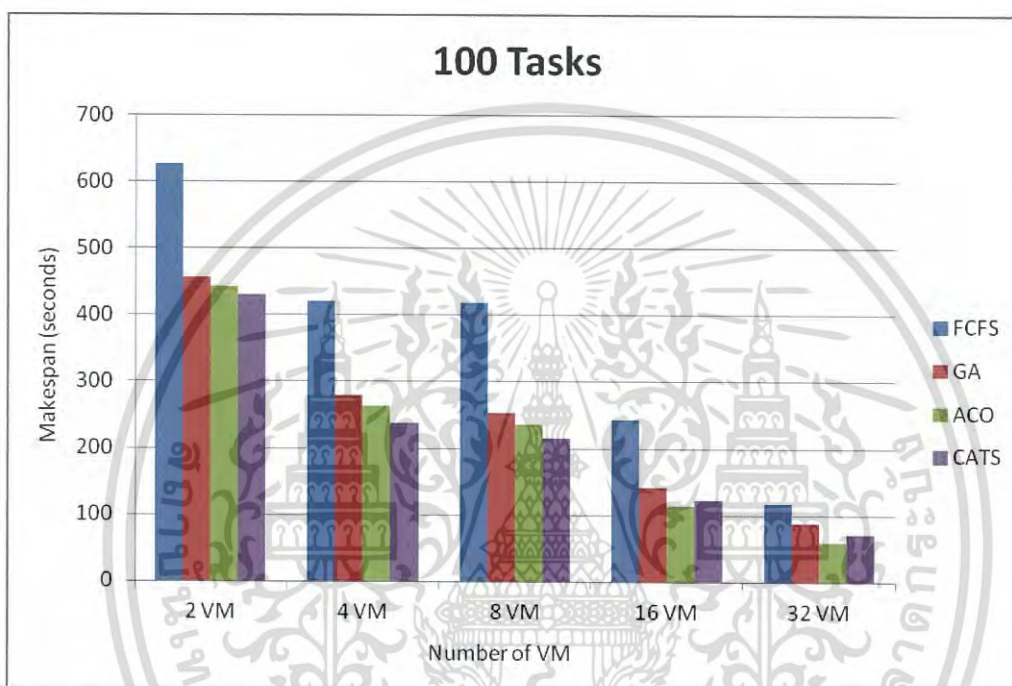
รูปที่ 5.10 จะแสดงสรุปภาพรวมของการเปรียบเทียบเมคสแปนของวิธี CATS และวิธีอื่นๆในแกนจำนวนงานที่ 100, 200, 300, 400, 500 เมื่อมีจำนวน VM เป็น 2, 4, 8, 16, 32

เอกสารนี้เป็นเอกสารที่สงวนไว้สำหรับการใช้งานเพื่อการศึกษาเท่านั้น ไม่อนุญาตให้นำไปใช้ประโยชน์ด้านการค้า ไม่ว่ากรณีใดๆ ทั้งสิ้น อีกทั้งห้ามมิให้ดัดแปลงเนื้อหา และต้องอ้างอิงถึงเจ้าของเอกสารทุกครั้งที่มีการนำไปใช้

5.2.2 การเปรียบเทียบประสิทธิภาพวิธี CATS กับวิธีอื่นสำหรับ 100, 200, 300, 400, 500 งาน

ในการเปรียบเทียบเมคสแปนจะเทียบวิธี CATS กับวิธีอื่นเมื่อมีจำนวน VM เป็น 2, 4, 8, 16, 32 โดยจะประเมินประสิทธิภาพที่จำนวนงานเป็น 100, 200, 300, 400, 500 งาน โดยใช้พารามิเตอร์ต่างๆตามที่ได้กล่าวข้างต้น และเปรียบเทียบเมคสแปนในรูปแบบของกราฟ ดังแสดงในรูปที่ 5.11 ถึง 5.16

1) การเปรียบเทียบประสิทธิภาพวิธี CATS กับวิธีอื่นที่ 100 งาน

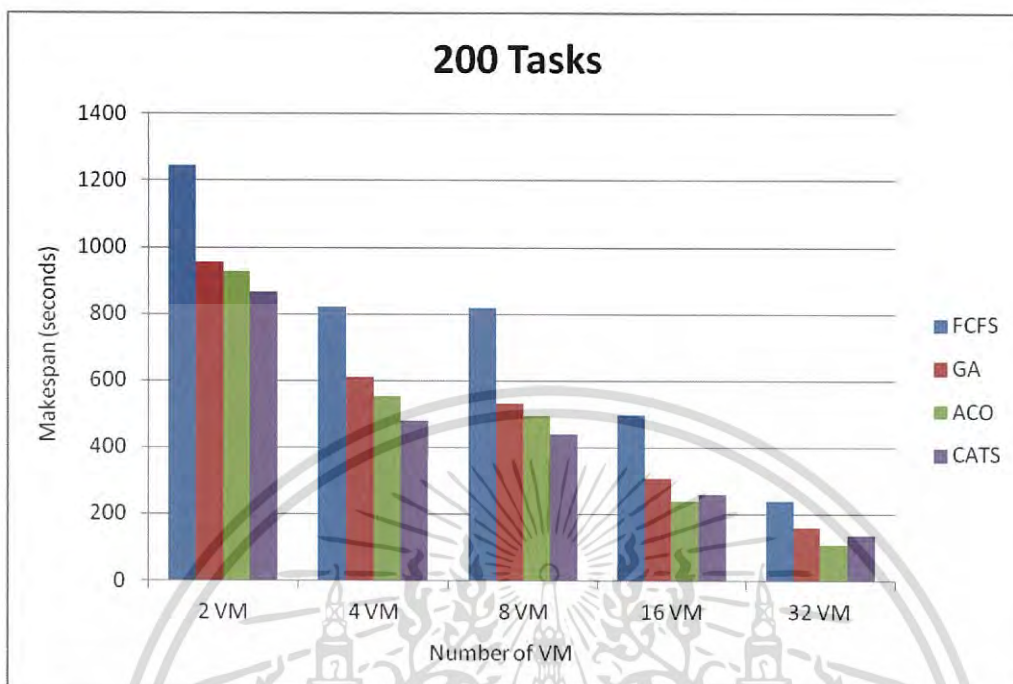


รูปที่ 5.11 ผลการเปรียบเทียบเมคสแปนของวิธี CATS กับวิธีอื่นที่ 100 งาน

จากรูปที่ 5.11 แสดงค่าเมคสแปนกับจำนวน VM ที่เพิ่มขึ้นในระบบประมวลผล โดยเมื่อมีจำนวน VM เพิ่มขึ้นจะช่วยลดระยะเวลาในการประมวลผลให้น้อยลงที่จำนวนงานเท่ากันซึ่งมีจำนวนงานเป็น 100 งาน จากกราฟจะเรียงลำดับประสิทธิภาพในการลดเมคสแปนของแต่ละวิธีจากมากที่สุดไปยังน้อยที่สุดเมื่อมีจำนวน VM เป็น 2, 4, 8 ได้ดังนี้ CATS, ACO, GA, และ FCFS ตามลำดับ และจำนวน VM ที่ 16, 32 จะให้เรียงลำดับประสิทธิภาพในการลดเมคสแปนจากมากไปน้อยเป็น ACO, CATS, GA, และ FCFS ตามลำดับ

แสดงให้เห็นว่าวิธี CATS มีประสิทธิภาพในการลดเมคสแปนที่เหนือกว่าวิธี FCFS, GA เมื่อมีจำนวน VM เป็น 2, 4, 8 แต่ยังมีประสิทธิภาพที่ด้อยกว่าวิธี ACO เมื่อเริ่มมีจำนวนของ VM ที่เพิ่มขึ้นเป็น 16, 32

2) การเปรียบเทียบประสิทธิภาพวิธี CATS กับวิธีอื่นที่ 200 งาน

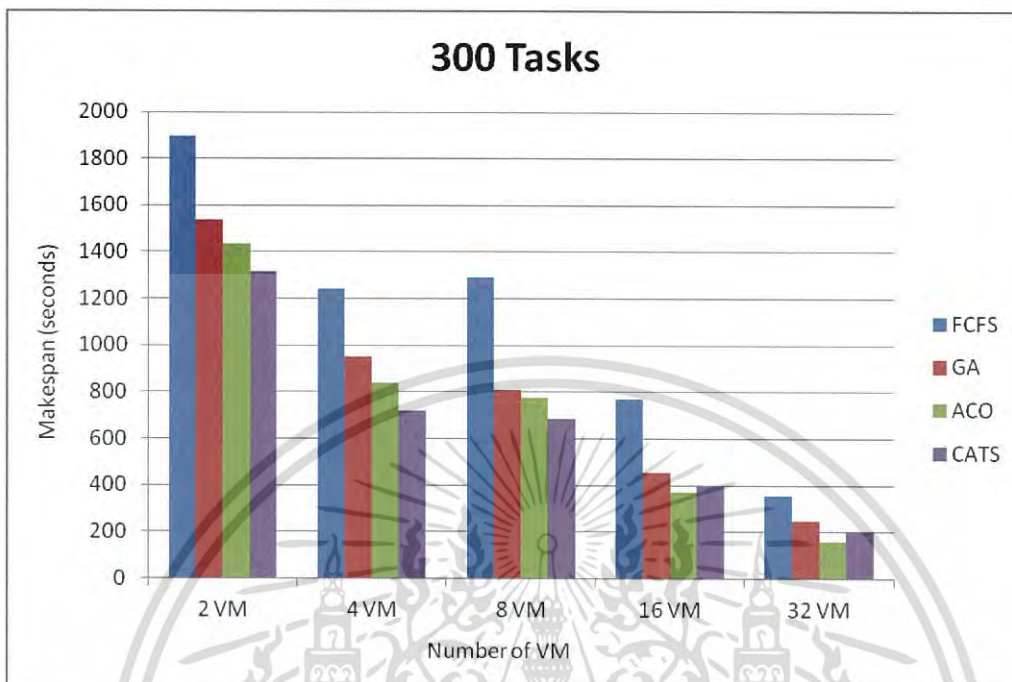


รูปที่ 5.12 ผลการเปรียบเทียบเมคสแปนของวิธี CATS กับวิธีอื่นที่ 200 งาน

จากรูปที่ 5.12 แสดงค่าเมคสแปนกับจำนวน VM ที่เพิ่มขึ้นในระบบประมวลผล โดยเมื่อมีจำนวน VM เพิ่มขึ้นจะช่วยลดระยะเวลาในการประมวลผลให้น้อยลงที่จำนวนงานเท่ากันซึ่งมีจำนวนงานเป็น 200 งาน จากกราฟจะเรียงลำดับประสิทธิภาพในการลดเมคสแปนของแต่ละวิธีจากมากที่สุดไปยังน้อยที่สุดเมื่อมีจำนวน VM เป็น 2, 4, 8 ได้ดังนี้ CATS, ACO, GA, และ FCFS ตามลำดับ และจำนวน VM ที่ 16, 32 จะให้เรียงลำดับประสิทธิภาพในการลดเมคสแปนจากมากไปน้อยเป็น ACO, CATS, GA, และ FCFS ตามลำดับ

แสดงให้เห็นว่าวิธี CATS มีประสิทธิภาพในการลดเมคสแปนที่เหนือกว่าวิธี FCFS, GA เมื่อมีจำนวน VM เป็น 2, 4, 8 แต่ยังมีประสิทธิภาพที่ด้อยกว่าวิธี ACO เมื่อเริ่มมีจำนวนของ VM ที่เพิ่มขึ้นเป็น 16, 32

3) การเปรียบเทียบประสิทธิภาพวิธี CATS กับวิธีอื่นที่ 300 งาน

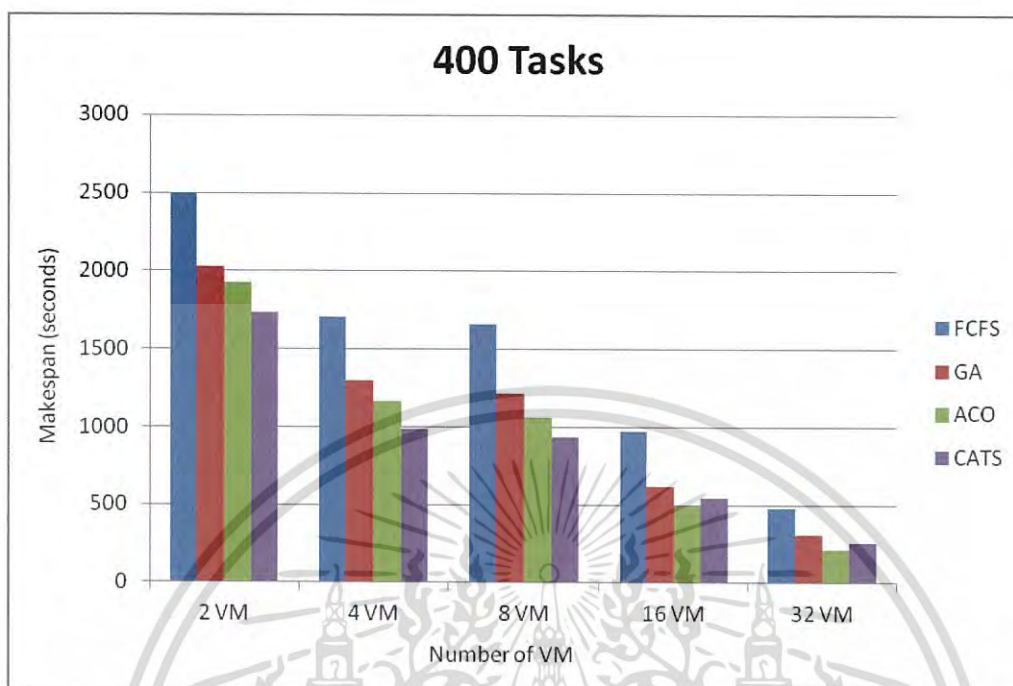


รูปที่ 5.13 ผลการเปรียบเทียบเมคสแปนของวิธี CATS กับวิธีอื่นที่ 300 งาน

จากรูปที่ 5.13 แสดงค่าเมคสแปนกับจำนวน VM ที่เพิ่มขึ้นในระบบประมวลผล โดยเมื่อมีจำนวน VM เพิ่มขึ้นจะช่วยลดระยะเวลาในการประมวลผลให้น้อยลงที่จำนวนงานเท่ากันซึ่งมีจำนวนงานเป็น 300 งาน จากกราฟจะเรียงลำดับประสิทธิภาพในการลดเมคสแปนของแต่ละวิธีจากมากที่สุดไปยังน้อยที่สุดเมื่อมีจำนวน VM เป็น 2, 4, 8 ได้ดังนี้ CATS, ACO, GA, และ FCFS ตามลำดับ และจำนวน VM ที่ 16, 32 จะให้เรียงลำดับประสิทธิภาพในการลดเมคสแปนจากมากไปน้อยเป็น ACO, CATS, GA, และ FCFS ตามลำดับ

แสดงให้เห็นว่าวิธี CATS มีประสิทธิภาพในการลดเมคสแปนที่เหนือกว่าวิธี FCFS, GA เมื่อมีจำนวน VM เป็น 2, 4, 8 แต่ยังมีประสิทธิภาพที่ด้อยกว่าวิธี ACO เมื่อเริ่มมีจำนวนของ VM ที่เพิ่มขึ้นเป็น 16, 32

4) การเปรียบเทียบประสิทธิภาพวิธี CATS กับวิธีอื่นที่ 400 งาน

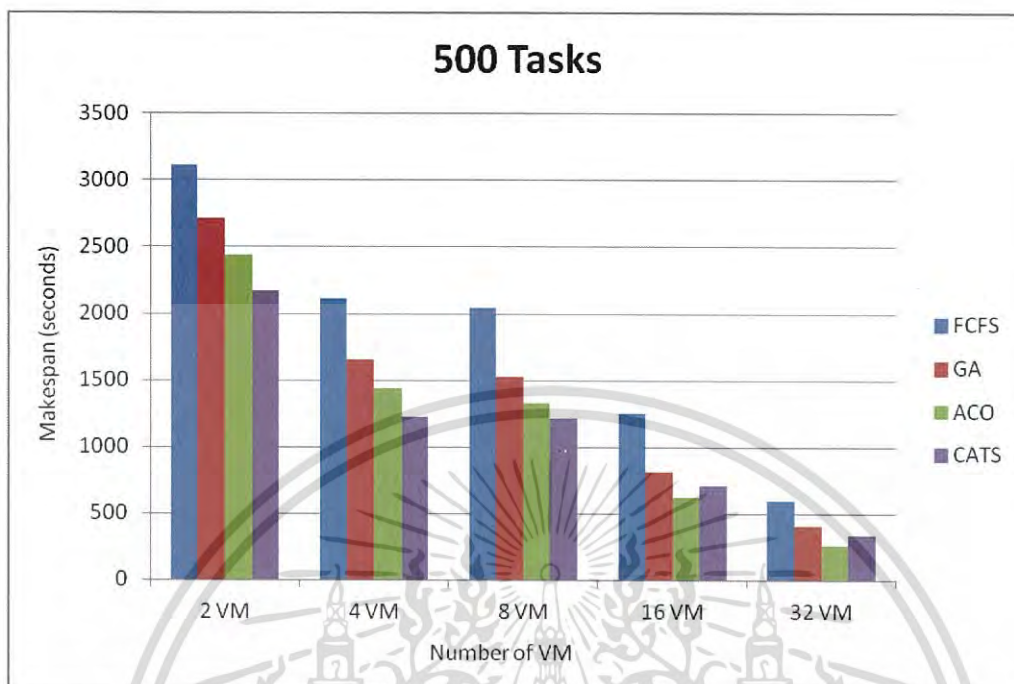


รูปที่ 5.14 ผลการเปรียบเทียบเมคสแปนของวิธี CATS กับวิธีอื่นที่ 400 งาน

จากรูปที่ 5.14 แสดงค่าเมคสแปนกับจำนวน VM ที่เพิ่มขึ้นในระบบประมวลผล โดยเมื่อมีจำนวน VM เพิ่มขึ้นจะช่วยลดระยะเวลาในการประมวลผลให้น้อยลงที่จำนวนงานเท่ากันซึ่งมีจำนวนงานเป็น 400 งาน จากกราฟจะเรียงลำดับประสิทธิภาพในการลดเมคสแปนของแต่ละวิธีจากมากที่สุดไปอย่างน้อยที่สุดเมื่อมีจำนวน VM เป็น 2, 4, 8 ได้ดังนี้ CATS, ACO, GA, และ FCFS ตามลำดับ และจำนวน VM ที่ 16, 32 จะให้เรียงลำดับประสิทธิภาพในการลดเมคสแปนจากมากไปน้อยเป็น ACO, CATS, GA, และ FCFS ตามลำดับ

แสดงให้เห็นว่าวิธี CATS มีประสิทธิภาพในการลดเมคสแปนที่เหนือกว่าวิธี FCFS, GA เมื่อมีจำนวน VM เป็น 2, 4, 8 แต่ยังมีประสิทธิภาพที่ด้อยกว่าวิธี ACO เมื่อเริ่มมีจำนวนของ VM ที่เพิ่มขึ้นเป็น 16, 32

5) การเปรียบเทียบประสิทธิภาพวิธี CATS กับวิธีอื่นที่ 500 งาน

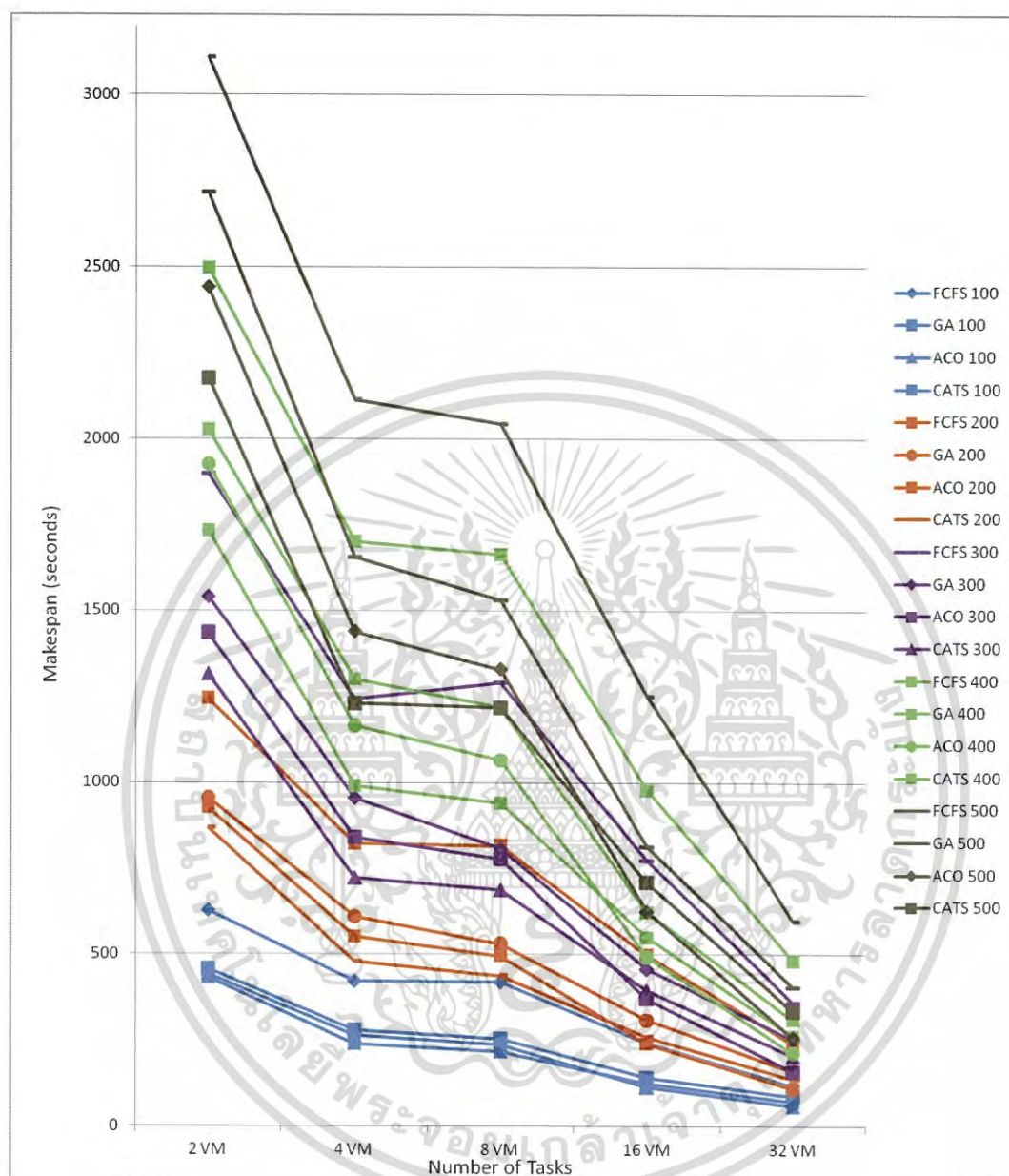


รูปที่ 5.15 ผลการเปรียบเทียบเมคสแปนของวิธี CATS กับวิธีอื่นที่ 500 งาน

จากรูปที่ 5.15 แสดงค่าเมคสแปนกับจำนวน VM ที่เพิ่มขึ้นในระบบประมวลผล โดยเมื่อมีจำนวน VM เพิ่มขึ้นจะช่วยลดระยะเวลาในการประมวลผลให้น้อยลงที่จำนวนงานเท่ากันซึ่งมีจำนวนงานเป็น 500 งาน จากกราฟจะเรียงลำดับประสิทธิภาพในการลดเมคสแปนของแต่ละวิธีจากมากที่สุดไปยังน้อยที่สุดเมื่อมีจำนวน VM เป็น 2, 4, 8 ได้ดังนี้ CATS, ACO, GA, และ FCFS ตามลำดับ และจำนวน VM ที่ 16, 32 จะให้เรียงลำดับประสิทธิภาพในการลดเมคสแปนจากมากไปน้อยเป็น ACO, CATS, GA, และ FCFS ตามลำดับ

แสดงให้เห็นว่าวิธี CATS มีประสิทธิภาพในการลดเมคสแปนที่เหนือกว่าวิธี FCFS, GA เมื่อมีจำนวน VM เป็น 2, 4, 8 แต่ยังมีประสิทธิภาพที่ด้อยกว่าวิธี ACO เมื่อเริ่มมีจำนวนของ VM ที่เพิ่มขึ้นเป็น 16, 32

6) การเปรียบเทียบประสิทธิภาพวิธี CATS กับวิธีอื่นตั้งแต่ 100, 200, 300, 400, 500 งาน



รูปที่ 5.16 ภาพรวมของผลการเปรียบเทียบประสิทธิภาพวิธี CATS กับวิธีอื่นในแกนจำนวน VM

รูปที่ 5.16 จะแสดงสรุปภาพรวมของการเปรียบเทียบเมคสแปนของวิธี CATS และวิธีอื่นๆในแกนจำนวน VM ที่ 2, 4, 8, 16, 32 เมื่อมีจำนวน VM เป็น 100, 200, 300, 400, 500

เอกสารนี้เป็นเอกสารที่สงวนไว้สำหรับการใช้งานเพื่อการศึกษาเท่านั้น ไม่อนุญาตให้นำไปใช้ประโยชน์ด้านการค้า ไม่ว่าจะกรณีใดๆ ทั้งสิ้น อีกทั้งห้ามมิให้ดัดแปลงเนื้อหา และต้องอ้างอิงถึงเจ้าของเอกสารทุกครั้งที่มีการนำไปใช้

จากผลการประเมินประสิทธิภาพในข้อ 5.2.1 และ 5.2.2 แสดงให้เห็นว่าวิธี CATS ใช้เมคสแปนน้อยที่สุดเมื่อเทียบกับวิธีอื่น เมื่อมีจำนวน VM น้อย เป็นจำนวน 2, 4, 8 เครื่อง โดยเรียงลำดับเป็น CATS, ACO, GA และ FCFS ตามลำดับ และเมื่อจำนวน VM มากขึ้นเป็น 16, 32 เครื่อง วิธี CATS จะให้ผลลัพธ์ที่ดีกว่าวิธี ACO แต่ยังสามารถลดเมคสแปนได้น้อยกว่าวิธี GA ซึ่งการจำลองผลการประเมินประสิทธิภาพจะเป็นการกำหนดให้ความสามารถในการประมวลผลของ VM ไม่เท่ากัน

ดังนั้น จึงได้มีการเพิ่มการประเมินประสิทธิภาพเมื่อกำหนดให้ความสามารถในการประมวลผลของ VM (MIPS) เท่ากันทั้งหมด รายละเอียดการประเมินประสิทธิภาพจะอธิบายดังข้อที่ 5.2.3

5.2.3 การเปรียบเทียบประสิทธิภาพวิธี CATS กับวิธีอื่นเมื่อกำหนดให้ MIPS คงที่

กำหนดให้มีความสามารถในการประมวลผลของคอมพิวเตอร์เสมือน (MIPS) มีค่าคงที่ โดยในการประเมินประสิทธิภาพจะเปรียบเทียบที่ 250, 500, 1000, 1500 และ 2000 MIPS ตามลำดับ ที่จำนวน 16 VM มีงานเข้ามาในระบบ 200 งานและ 500 งาน

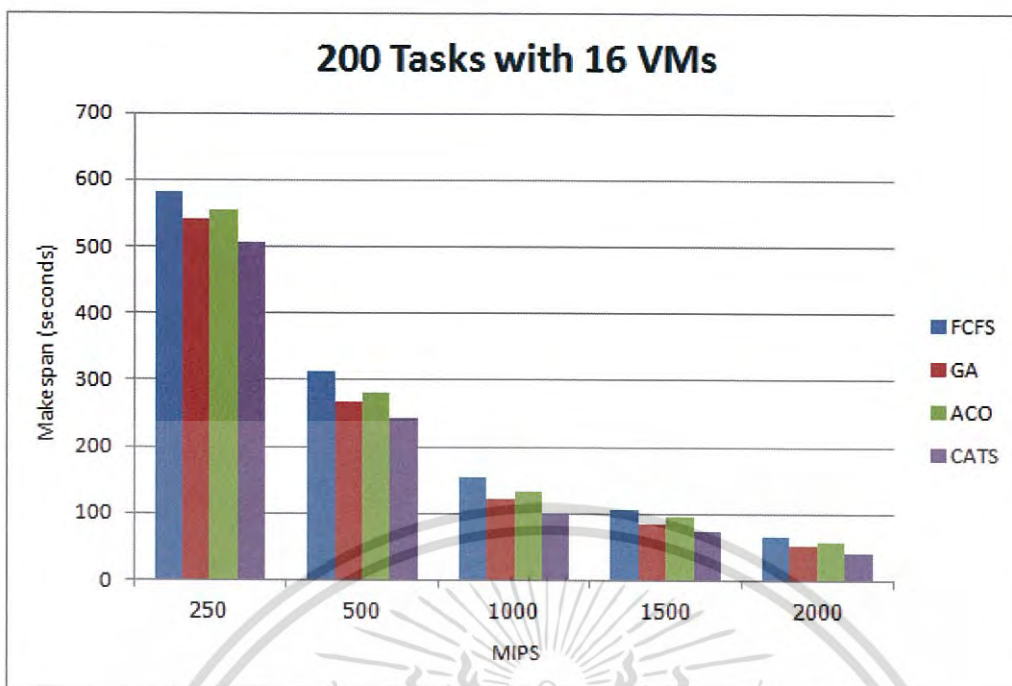
พารามิเตอร์อื่นที่ใช้งานจะแสดงให้เห็นดังตารางที่ 5.13 โดยจะมีการสุ่มค่าพารามิเตอร์บางค่าตามช่วงที่กำหนด ได้แก่ จำนวนของโฮสต์ 2-6 โฮสต์ ความยาวของงาน 5000-15000 MI

สำหรับพารามิเตอร์ของวิธี CATS, GA, ACO จะใช้ค่าเดียวกับการประเมินประสิทธิภาพในหัวข้อ 5.2.2 โดยผลที่ได้จะแสดงดังรูป 5.17 และ 5.18

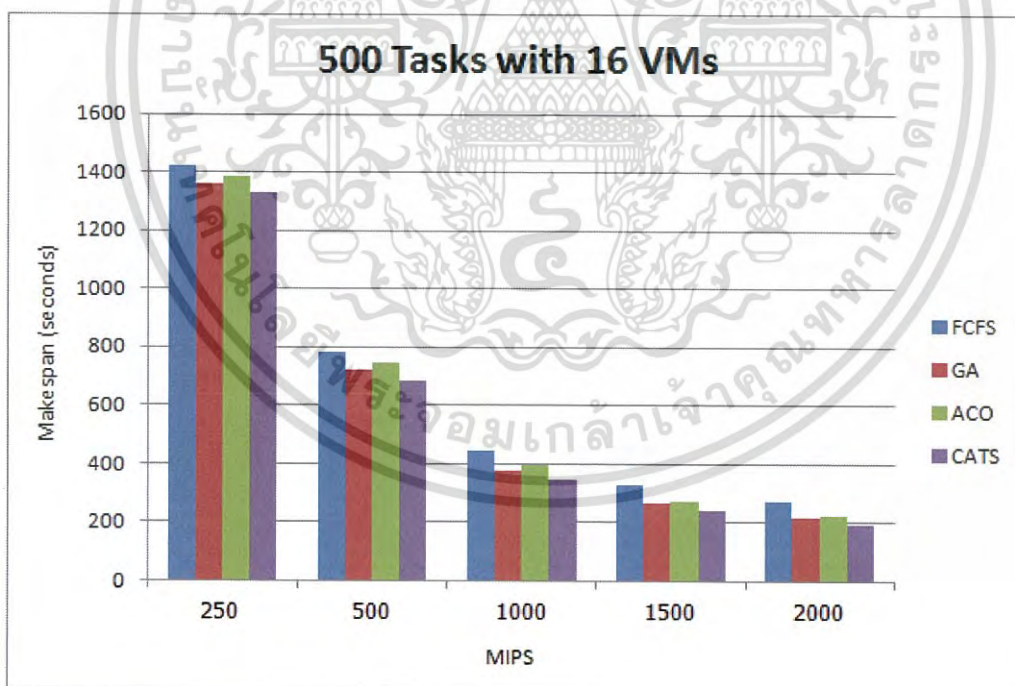
ประเภท	พารามิเตอร์	ค่าที่ใช้
ดาต้าเซนต์อร์	จำนวนของดาต้าเซนต์อร์	10 ดาต้าเซนต์อร์
	จำนวนของโฮสต์	2-6 โฮสต์
	ประเภทการจัดการ	Space_shared Time_shared
คอมพิวเตอร์เสมือน (VM)	MIPS	250-2000 MIPS
	หน่วยความจำของ VM (RAM)	512-2048 Mbytes
	ประเภทการจัดการ	Space_shared
	จำนวน VM	8-16 VM
Task	จำนวนงานในหนึ่งเซต	200, 500 งาน
	ความยาวของงาน	5000-15000 MI

ตารางที่ 5.13 พารามิเตอร์ของการจำลองสถานการณ์สำหรับคลาวด์ซิมเมื่อ MIPS คงที่

เอกสารนี้เป็นเอกสารที่สงวนไว้สำหรับการใช้งานเพื่อการศึกษาเท่านั้น ไม่อนุญาตให้นำไปใช้ประโยชน์ด้านการค้า ไม่ว่ากรณีใดๆ ทั้งสิ้น อีกทั้งห้ามมิให้ดัดแปลงเนื้อหา และต้องอ้างอิงถึงเจ้าของเอกสารทุกครั้งที่มีการนำไปใช้



รูปที่ 5.17 ผลการเปรียบเทียบเมคสแปนของวิธี CATS กับวิธีอื่นที่ 200 งาน เมื่อ MIPS คงที่



รูปที่ 5.18 ผลการเปรียบเทียบเมคสแปนของวิธี CATS กับวิธีอื่นที่ 500 งาน เมื่อ MIPS คงที่

เอกสารนี้เป็นเอกสารที่สงวนไว้สำหรับการใช้งานเพื่อการศึกษาเท่านั้น ไม่อนุญาตให้นำไปใช้ประโยชน์ด้านการค้า ไม่ว่ากรณีใดๆ ทั้งสิ้น อีกทั้งห้ามมิให้ดัดแปลงเนื้อหา และต้องอ้างอิงถึงเจ้าของเอกสารทุกครั้งที่มีการนำไปใช้

จากรูปที่ 5.17 และ 5.18 แสดงให้เห็นว่าวิธี CATS จะทำให้ได้ค่าเมคสแปนน้อยที่สุด ตามด้วย GA, ACO, FCFS ตามลำดับเมื่อมีการกำหนดให้มีความสามารถในการประมวลผลของ VM เท่ากันทั้งหมด นั่นคือวิธี CATS จะทำงานได้ดีที่สุดในกรณีที่มีความสามารถในการประมวลผลของ VM เท่ากัน

ในกรณีที่ความสามารถในการประมวลผลของ VM ไม่เท่ากัน จะทำให้วิธี CATS ให้เมคสแปนที่น้อยกว่าวิธีอื่นในกรณีที่มีจำนวน VM น้อยที่เป็น 2, 4, 8 เครื่อง และเมื่อจำนวน VM เพิ่มขึ้นเป็น 16, 32 วิธี ACO จะให้เมคสแปนที่น้อยที่สุด ตามด้วย CATS, GA, FCFS ตามลำดับ แสดงให้เห็นว่าวิธี CATS และ GA จะหาคำตอบได้ดีกว่าวิธี ACO เมื่อความแตกต่างของความสามารถในการประมวลผลของ VM น้อยกว่า ดังผลการประเมินประสิทธิภาพ

เมื่อพิจารณาผลการประเมินประสิทธิภาพทั้งหมดจะเห็นว่าวิธี CATS จะให้ผลลัพธ์ที่ดีกว่า GA ในทุกๆกรณี โดยนำ CA มาใช้ร่วมกับ GA ในวิธี CATS จะสามารถทำให้ค้นหาคำตอบได้ดีกว่าการใช้ GA เพียงอย่างเดียว เนื่องจากความสามารถในการจัดการตนเอง (Self-Organization) ของ CA ที่เกิดจากการเปลี่ยนแปลงสถานะของเซลล์ใน CA จากกฎที่ดีที่สุดที่ค้นหาได้จาก GA และยังเป็นการใช้ประโยชน์จากการ Mutation ที่ช่วยหลีกเลี่ยงปัญหาการลู่เข้าหาคำตอบที่เร็วเกินไป (Premature Convergence) ที่อาจเกิดขึ้นกับการใช้ GA เพียงอย่างเดียว ดังนั้นการนำ CA มาใช้ร่วมกับ GA ในวิธี CATS จะเป็นการเพิ่มโอกาสในการพบคำตอบที่ดีกว่า

บทที่ 6

สรุปผลการวิจัยและข้อเสนอแนะ

ในบทนี้เรากล่าวสรุปผลงานวิจัยที่ได้นำเสนอพร้อมทั้งปัญหาต่างๆที่พบระหว่างการจำลองการทำงาน และแนวทางการปรับปรุงงานวิจัยในอนาคต

6.1 สรุปผลการวิจัยที่นำเสนอ

จากผลการประเมินประสิทธิภาพในบทที่ 5 พบว่าทั้งวิธี GA, ACO, CATS สามารถลดเมคสแปนของงานที่เข้ามาในระบบในทุกกรณีเมื่อเทียบกับวิธีแบบดั้งเดิมที่ใช้ในระบบการประมวลผลแบบกลุ่มเมฆ นั่นคือวิธี FCFS

วิธี CATS ที่ได้พัฒนามาจากวิธีเจเนติกอัลกอริทึมสามารถทำงานได้ดีกว่าวิธีเจเนติกอัลกอริทึมในทุกๆกรณี ตั้งแต่จำนวน VM ที่ 2, 4, 8, 16, 32 และเมื่อมีงานเข้ามาในระบบ 100, 200, 300, 400, 500 งาน ซึ่งแสดงให้เห็นว่าการนำเซลล์ูลาร์อโตมาตามาใช้ร่วมกับเจเนติกอัลกอริทึมจะช่วยเพิ่มประสิทธิภาพของเจเนติกอัลกอริทึมให้สามารถค้นหาคำตอบของปัญหาที่ดีกว่าซึ่งผลลัพธ์ที่ได้จากการประเมินประสิทธิภาพจะแตกต่างกันอย่างมีนัยสำคัญ

ในกรณีที่ความสามารถในการประมวลผลของ VM แตกต่างกัน เมื่อเทียบประสิทธิภาพของวิธี CATS และวิธี ACO พบว่าวิธี CATS จะทำงานได้ดีกว่าเมื่อมีจำนวนทรัพยากรหรือ VM เป็นจำนวนน้อย โดยในการประเมินประสิทธิภาพจะแสดงให้เห็นว่าวิธี CATS ทำงานได้ดีกว่าวิธี ACO เมื่อมีจำนวน VM เป็น 2, 4, 8 เครื่อง ในทุกๆจำนวนงานที่เข้ามาในระบบ และจะด้อยกว่าวิธี ACO เมื่อจำนวน VM เป็น 16 และ 32 เป็นต้นไป

สำหรับกรณีที่ความสามารถในการประมวลผลของ VM เท่ากัน จะพบว่าวิธี CATS สามารถให้ผลลัพธ์ที่ดีกว่า GA, ACO, FCFS ในทุกๆกรณี เมื่อกำหนดให้จำนวน VM เป็น 16 และงานที่เข้ามาในระบบเป็น 200 และ 500 งาน

ดังนั้นจึงสรุปได้ว่าการนำเซลล์ูลาร์อโตมาตามาพัฒนาร่วมกับเจเนติกอัลกอริทึมสามารถนำมาประยุกต์ใช้งานกับการตารางงานบนระบบการประมวลผลแบบกลุ่มเมฆได้ และให้ผลลัพธ์ที่ดีขึ้นเมื่อวัดประสิทธิภาพเทียบกับวิธีเจเนติกอัลกอริทึมแบบดั้งเดิม

นอกจากนี้วิธี CATS ยังให้ผลลัพธ์ที่ดีที่สุดเมื่อเทียบกับวิธีอื่นเมื่อมีจำนวน VM น้อยและมีความสามารถในการประมวลผลของ VM ต่างกัน จึงเหมาะกับระบบประมวลผลแบบกลุ่มเมฆที่มีขนาดเล็กและมีทรัพยากรจำกัด ซึ่งจะช่วยลดเมคสแปนของงานที่เข้ามาในระบบได้อย่างมีประสิทธิภาพ แต่ถ้าระบบมีความสามารถในการประมวลผลของ VM เท่ากัน CATS จะให้ผลลัพธ์ที่ดีที่สุดในทุกกรณี

เอกสารนี้เป็นเอกสารที่สงวนไว้สำหรับการใช้งานเพื่อการศึกษาเท่านั้น ไม่อนุญาตให้นำไปใช้ประโยชน์ด้านการค้า ไม่ว่าจะกรณีใดๆ ทั้งสิ้น อีกทั้งห้ามมิให้ดัดแปลงเนื้อหา และต้องอ้างอิงถึงเจ้าของเอกสารทุกครั้งที่มีการนำไปใช้

6.2 ปัญหาและอุปสรรค

ปัญหาที่พบ คือ เมื่อมีการเปลี่ยนเวอร์ชันของคลาวด์ซิมจากเวอร์ชัน 3.0.1 เป็น 3.0.3 เนื่องจากมีการปรับปรุงความเร็วของการทำงานเพื่อให้ทำงานได้เร็วขึ้น แต่ฟังก์ชันในการทำงานหลายส่วนมีการเปลี่ยนแปลงเพื่อให้สามารถใช้งานได้ตามปกติ จึงต้องทำการปรับโปรแกรมที่เขียนขึ้นมาใหม่ในส่วนที่เกี่ยวข้องกับคลาวด์ซิมเกือบทั้งหมดเนื่อง อีกทั้งต้องทดสอบความถูกต้องของการทำงานในทุกส่วน ทำให้เป็นการเพิ่มระยะเวลาในการทำงานเพิ่มขึ้นมาก

6.3 แนวทางการปรับปรุงงานวิจัยในอนาคต

งานวิจัยนี้ได้แสดงให้เห็นว่าวิธี CATS สามารถนำมาใช้งานร่วมกับเจเนติกอัลกอริทึมและประยุกต์ใช้งานบนระบบการประมวลผลแบบกลุ่มเมฆได้ โดยปรับปรุงจากการทำงานเพียงสองเครื่องในระบบ มัลติโพรเซสเซอร์ให้รองรับการทำงานที่มากกว่าสองเครื่องได้ แต่จำนวน VM ที่ใช้จะต้องเป็นจำนวนที่เท่ากับ 2^n โดย n คือจำนวนเซลล์ในเซลล์ลาร์อโตมาตาที่ใช้แสดงถึง VM หนึ่งเครื่อง หากสามารถพัฒนาวิธีการ CATS เพื่อให้รองรับจำนวน VM ได้ที่จำนวนใดๆจะเป็นการเพิ่มความยืดหยุ่นในการใช้วิธี CAT ได้มากยิ่งขึ้น

เอกสารอ้างอิง

- [1] M. D. Dikaiakos, "Cloud Computing: Distributed Internet Computing for IT and Scientific Research," *Internet Computing, IEEE* , vol.13, no.5, pp.10,13, Sept.-Oct. 2009.
- [2] R. Buyya, J. Broberg , and A. M. Goscinski, *Cloud Computing: Principles and Paradigms (Wiley Series on Parallel and Distributed Computing)*. Wiley, 2011.
- [3] F. Chang and R. Viswanathan, "Optimal Resource Allocation in Clouds," *Cloud Computing (CLOUD), 2010 IEEE 3rd International Conference on* , pp.418,425, 5-10 July 2010.
- [4] A. Swiecicka and F. Seredynski, "Applying cellular automata in multiprocessor scheduling," *Parallel Computing in Electrical Engineering, 2002. PARELEC '02. Proceedings International Conference on* , pp.177,182, 2002.
- [5] F. Seredynski and P. Bouvry, "Multiprocessor scheduling algorithms based on cellular automata training," *Intelligent Engineering Systems Through Artificial Neural Networks*, vol. 13, pp. 255-260, 2003
- [6] D. Rajarshi , M. Melanie, and J. P. Crutchfield, "A Genetic Algorithm Discovers Particle-Based Computation in Cellular Automata," *Proceedings of the International Conference on Evolutionary Computation. The Third Conference on Parallel Problem Solving from Nature: Parallel Problem Solving from Nature*, p.344-353, October 09-14, 1994.
- [7] S. Wolfram, *Cellular Automata And Complexity: Collected Papers*. Westview Press, 1994.
- [8] J. L. Schiff, *Cellular Automata: A Discrete View of the World*. Wiley-Interscience, 2008.
- [9] D. E. Goldberg, *Genetic algorithms in search, optimization, and machine learning*. Addison-Wesley Professional, 1989.
- [10] R. N. Calheiros, R. Ranjan, and R. Buyya, "CloudSim: A Novel Framework for Modeling and Simulation of Cloud Computing Infrastructures and Services," *Technical Report, GRIDS-TR-2009-1, Grid Computing and Distributed Systems Laboratory, The University of Melbourne, Australia*, 2009.

เอกสารนี้เป็นเอกสารที่สงวนไว้สำหรับการใช้งานเพื่อการศึกษาเท่านั้น ไม่อนุญาตให้นำไปใช้ประโยชน์ด้านการค้า
ไม่ว่ากรณีใดๆ ทั้งสิ้น อีกทั้งห้ามมิให้ดัดแปลงเนื้อหา และต้องอ้างอิงถึงเจ้าของเอกสารทุกครั้งที่มีการนำไปใช้

- [11] R. N. Calheiros, R. Ranjan, A. Beloglazov, and R. Buyya, "CloudSim: A Toolkit for the Modeling and Simulation of Cloud Resource Management and Application Provisioning Techniques," *Journal Software—Practice & Experience* archive, vol. 41, pp. 23-50, 2011.
- [12] Hou, E. S H; Hong, R.; Ansari, N., "Efficient multiprocessor scheduling based on genetic algorithms," *Industrial Electronics Society, 1990. IECON '90., 16th Annual Conference of IEEE* , vol., no., pp.1239,1243 vol.2, 27-30 Nov 1990.
- [13] Di Martino, V.; Mililotti, M., "Scheduling in a grid computing environment using genetic algorithms," *Parallel and Distributed Processing Symposium., Proceedings International, IPDPS 2002, Abstracts and CD-ROM* , vol., no., pp.5 pp., 15-19 April 2001.
- [14] Tawfeek, M.A; El-Sisi, A; Keshk, AE.; Torkey, F.A, "Cloud task scheduling based on ant colony optimization," *Computer Engineering & Systems (ICCES), 2013 8th International Conference on* , vol., no., pp.64,69, 26-28 Nov. 2013.
- [15] Aggarwal, M.; Kent, R.D.; Ngom, A, "Genetic algorithm based scheduler for computational grids," *High Performance Computing Systems and Applications, 2005. HPCS 2005. 19th International Symposium on* , vol., no., pp.209,215, 15-18 May 2005.
- [16] Sung-Ho Woo; Sung-Bong Yang; Shin-Dug Kim; Tack-Don Han, "Task scheduling in distributed computing systems with a genetic algorithm," *High Performance Computing on the Information Superhighway, 1997. HPC Asia '97* , vol., no., pp.301,305, 28 Apr-2 May 1997.
- [17] Monnier, Y.; BEAUVAIS, Jean-Pime; Deplanche, Anne-Marie, "A genetic algorithm for scheduling tasks in a real-time distributed system," *Euromicro Conference, 1998. Proceedings. 24th* , vol.2, no., pp.708,714 vol.2, 25-27 Aug 1998.
- [18] Pinal Salot, "A Survey of Various Scheduling Algorithm in Cloud Computing Environment", *IJRET: International Journal of Research in Engineering and Technology*, vol.2, Feb 2013.
- [19] Blum, Christian, and Andrea Roli. "Metaheuristics in combinatorial optimization: Overview and conceptual comparison." *ACM Computing Surveys (CSUR)* 35.3 (2003): 268-308.
- [20] Dorigo, Marco, Vittorio Maniezzo, and Alberto Colorni. "Ant system: optimization by a colony of cooperating agents." *IEEE Transactions on Systems, Man, and Cybernetics, Part B (Cybernetics)* 26.1 (1996): 29-41.
- [21] Yang, Xin-She. *Nature-inspired metaheuristic algorithms*. Luniver press, 2010.

เอกสารนี้เป็นเอกสารที่สงวนไว้สำหรับการใช้งานเพื่อการศึกษาเท่านั้น ไม่นิยมนำไปใช้ประโยชน์ด้านการค้า
ไม่ว่ากรณีใดๆ ทั้งสิ้น อีกทั้งห้ามมิให้ดัดแปลงเนื้อหา และต้องอ้างอิงถึงเจ้าของเอกสารทุกครั้งที่มีการนำไปใช้

- [22] Shiffman, Daniel, Shannon Fry, and Zannah Marsh. The nature of code. D. Shiffman, 2012.
- [23] Ganguly, Niloy, et al. "A survey on cellular automata." (2003).
- [24] Wolfram, Stephen. Cellular automata and complexity: collected papers. Vol. 1. Reading, MA: Addison-Wesley, 1994.
- [25] Berlekamp, Elwyn R., John Horton Conway, and Richard K. Guy. Winning ways for your mathematical plays. Vol. 3. Natick: AK Peters, 2003.
- [26] Umeo, Hiroshi. "Firing squad synchronization problem in cellular automata." Encyclopedia of Complexity and Systems Science. Springer New York, 2009. 3537-3574.
- [27] Beckers, Andreas, and Thomas Worsch. "A perimeter-time CA for the queen bee problem." Parallel Computing 27.5 (2001): 555-569.
- [28] Schweitzer, Frank, Laxmidhar Behera, and Heinz Mühlenbein. "Evolution of cooperation in a spatial prisoner's dilemma." Advances in Complex systems 5.02n03 (2002): 269-299.
- [29] Toffoli, Tommaso. "Cellular automata as an alternative to (rather than an approximation of) differential equations in modeling physics." Physica D: Nonlinear Phenomena 10.1-2 (1984): 117-127.
- [30] Chopard, Bastien, Michael Droz, and Max Kolb. "Cellular automata approach to non-equilibrium diffusion and gradient percolation." Journal of Physics A: Mathematical and General 22.10 (1989): 1609.
- [31] Packard, Norman H. "Lattice models for solidification and aggregation." First International Symposium for Science on Form (1986).
- [32] De Boer, Rob J., Pauline Hogeweg, and Alan S. Perelson. "Growth and recruitment in the immune network." Theoretical and Experimental Insights into Immunology. Springer Berlin Heidelberg, 1992. 223-247.
- [33] Dos Santos, Rita Maria Zorzenon, and Sérgio Coutinho. "Dynamics of HIV infection: A cellular automata approach." Physical review letters 87.16 (2001): 168102.
- [34] Moreira, Joana, and Andreas Deutsch. "Cellular automaton models of tumor development: a critical review." Advances in Complex Systems 5.02n03 (2002): 247-267.
- [35] Moore, J. H., and L. W. Hahn. "A cellular automata-based pattern recognition approach to identifying gene-gene and gene-environment interactions." American Journal of Human Genetics. Vol. 67. No. 4. 5720 SOUTH WOODLAWN AVE, CHICAGO, IL 60637-1603 USA: UNIV CHICAGO PRESS, 2000.

เอกสารนี้เป็นเอกสารที่สงวนไว้สำหรับการใช้งานเพื่อการศึกษาเท่านั้น ไม่อนุญาตให้นำไปใช้ประโยชน์ด้านการค้า
ไม่ว่ากรณีใดๆ ทั้งสิ้น อีกทั้งห้ามมิให้ดัดแปลงเนื้อหา และต้องอ้างอิงถึงเจ้าของเอกสารทุกครั้งที่มีการนำไปใช้

- [36] Schönfisch, Birgitt, and Michael Kinder. "A fish migration model." International Conference on Cellular Automata. Springer Berlin Heidelberg, 2002.
- [37] H. Baltzer, W. P. Braun, and W. Kohler. "Cellular Automata Model for Vegetable Dynamics. Ecological Modelling", 107:113–125, 1998
- [38] Resnick, Mitchel. Turtles, termites, and traffic jams: Explorations in massively parallel microworlds. Mit Press, 1997.
- [39] Sakoda, James M. "The checkerboard model of social interaction." The Journal of Mathematical Sociology 1.1 (1971): 119-132.
- [40] Keenan, Donald C., and Mike J. O'Brien. "Competition, collusion, and chaos." Journal of Economic Dynamics and Control 17.3 (1993): 327-353.
- [41] Axelrod, Robert M. The evolution of cooperation. Basic books, 2006.
- [42] S. Chattopadhyay, S. Adhikari, S. Sengupta, and M. Pal. "Highly Regular, Modular, and Cascadable Design of Cellular Automata-based Pattern Classifier." IEEE Transaction on VLSI Systems, 8(6):724–735, December 2000
- [43] S. Chattopadhyay and P. Pal Chaudhuri. "Efficient Signatures of Boolean Functions for Rapid Matching in Antifuse based FPGA Technology Mapping." In International Conference on Computer Systems and Education, Bangalore, India, June 1994
- [44] Nandi, S., B. K. Kar, and P. Pal Chaudhuri. "Theory and applications of cellular automata in cryptography." IEEE Transactions on computers 43.12 (1994): 1346-1357.
- [45] Seredynski, Franciszek, Pascal Bouvry, and Albert Y. Zomaya. "Cellular automata computations and secret key cryptography." Parallel Computing 30.5 (2004): 753-766.
- [46] Wolfram, Stephen. "Random sequence generation by cellular automata." Advances in applied mathematics 7.2 (1986): 123-169.
- [47] Meier, Willi, and Othmar Staffelbach. "Analysis of pseudo random sequences generated by cellular automata." Workshop on the Theory and Application of Cryptographic Techniques. Springer Berlin Heidelberg, 1991.
- [48] S. Wolfram. Universality and Complexity in Cellular Automata. Physica D, 10:1–35, 1984
- [49] P. D. Hortencius, R. D McLeod, W. Pries, D. M. Miller, and H. C. Card. "Cellular Automata based Pseudo-random Number Generators for Built-in Self-Test." IEEE Trans. on CAD, 8(8):842–859, August 1989.

- [50] Popovici, Adriana, and Dan Popovici. "Cellular automata in image processing." Fifteenth International Symposium on Mathematical Theory of Networks and Systems. Vol. 1. 2002.
- [51] Rosin, Paul L. "Training cellular automata for image processing." IEEE transactions on image processing 15.7 (2006): 2076-2087.
- [52] Cunha, Renan O., et al. "Simulating large wireless sensor networks using cellular automata." Proceedings of the 38th annual Symposium on Simulation, IEEE Computer Society, 2005.
- [53] Banerjee, Indrajit, et al. "Effective fault detection and routing scheme for wireless sensor networks." Computers & Electrical Engineering 40.2 (2014): 291-306.
- [54] Schurgers, Curt, and Mani B. Srivastava. "Energy efficient routing in wireless sensor networks." Military communications conference, 2001. MILCOM 2001. Communications for network-centric operations: Creating the information force. IEEE. Vol. 1. IEEE, 2001.
- [55] Tonguz, Ozan K., Nawaporn Wisitpongphan, and Fan Bai. "DV-CAST: A distributed vehicular broadcast protocol for vehicular ad hoc networks." IEEE Wireless Communications 17.2 (2010).
- [56] Subrata, Riky, and Albert Y. Zomaya. "Evolving cellular automata for location management in mobile computing networks." IEEE Transactions on parallel and distributed systems 14.1 (2003): 13-26.
- [57] Bandini, Stefania, Giancarlo Mauri, and Roberto Serra. "Cellular automata: From a theoretical parallel computational model to its application to complex systems." Parallel Computing 27.5 (2001): 539-553.
- [58] Cannataro, Mario, et al. "A parallel cellular automata environment on multicomputers for computational science." Parallel Computing 21.5 (1995): 803-823.

ภาคผนวก
ผลงานวิจัยที่ได้รับการตีพิมพ์



เอกสารนี้เป็นเอกสารที่สงวนไว้สำหรับการใช้งานเพื่อการศึกษาเท่านั้น ไม่อนุญาตให้นำไปใช้ประโยชน์ด้านการค้า
ไม่ว่ากรณีใดๆ ทั้งสิ้น อีกทั้งห้ามมิให้ดัดแปลงเนื้อหา และต้องอ้างอิงถึงเจ้าของเอกสารทุกครั้งที่มีการนำไปใช้

Evolving of Cellular Automata for Task Scheduling in Cloud Computing Systems

Ingkwan Vashirashudej
 Department of Computer Engineering,
 Faculty of Engineering
 King Mongkut's Institute of Technology Ladkrabang
 Bangkok, Thailand
 s5611513@kmitl.ac.th

Sakchai Thipchaksurat
 Department of Computer Engineering,
 Faculty of Engineering
 King Mongkut's Institute of Technology Ladkrabang
 Bangkok, Thailand
 ktsakcha@kmitl.ac.th

Abstract— Task scheduling is one of the major challenging issue in cloud computing system, which aims to assign tasks to virtual machines (VMs) and minimizes the total execution time of tasks. In this paper, we propose the evolving of cellular automata to the task scheduling (CATS) in cloud computing system. In CATS scheme, the cellular automata (CA) is used for setting the task scheduling rules. The effective rule can be discovered from genetic algorithm. We evaluate the effectiveness of CATS scheme by means of the simulation. The performance metric is compared in the terms of makespan with the traditional First-Come-First-Served (FCFS) scheme. The simulation result shows that the CATS scheme can provide the lower makespan than that of FCFS scheme.

Keywords—task scheduling; cloud computing systems; virtual machines; cellular automata; genetic algorithms;

I. INTRODUCTION

Cloud computing system is now very popular and promising system in information technology (IT) that moves computing and data away from computers into a large data centers. It refers to applications which are delivered as services over the Internet and the actual cloud infrastructure. Cloud-service clients can be done some functions by themselves such as adding more capacity at peak demand, experiment with new services, and removing unneeded capacity [1]. The benefits of cloud computing is that the cost for deploying new business or technology capabilities and increasing the economic efficiency by developing the expensive infrastructure can be reduced. Cloud computing deployment model comes in three forms: public clouds, private clouds, and hybrid clouds. A public cloud is one in which the services and infrastructure are provided off-site over the Internet whereas the services and infrastructure of a private cloud are maintained in a private network and it is designed for restricted access to a single enterprise (or extended enterprise). Therefore, it provides a higher level of security and control. A hybrid cloud is a composition of two or more private and public clouds to perform distinct functions within the same organization. According to the abstraction level of the capability provided and the service model of providers, the services of cloud computing system can be divided into three

classes such as the Infrastructure-as-a-Service (IaaS), the Platform-as-a-Service (PaaS), and the Software-as-a-Service (SaaS) [2].

The characteristics of cloud computing are the virtualization, distribution and dynamically scalability. Virtualization is the main characteristic, with the support of virtualization technology in cloud computing, a cloud is built up of numerous physical machines which can run multiple virtual machines (VMs) at the same time. This is presented to the application layer of the system e.g. as Amazon Elastic Compute Cloud (EC2) [3]. There are several issues in cloud computing and task scheduling is one of the major issues. In cloud computing platforms, the traditional task scheduling algorithm is First-Come-First-Served (FCFS) scheme but it is not-optimal and cannot utilize resources in parallel.

However, it is very difficult to manually assign tasks to computing resources in clouds. Therefore, we need an efficient algorithm for task scheduling in order to match suitable resources for tasks better. The scheduling problem can be classified as a NP-hard optimization problem.

We have studied the several task scheduling techniques. We find that cellular automata (CA) can be applied for task scheduling. The authors in [5] and [6] applied CA for multiprocessor scheduling. However, CA has not been applied for task scheduling in cloud computing system. This encourages us to apply CA for task scheduling in cloud computing.

In this paper, we present the evolving of cellular automata for task scheduling in cloud computing system. Our proposed is calls CATS scheme. In CATS scheme, we use cellular automata for setting the task scheduling rules. Then, the genetic algorithm is used for discovering the effective task scheduling rules. The main objective of this paper is to minimize the total execution time.

The rest of this paper is organized as following: Section II reviews related works, and then in Section III introduces the CloudSim toolkit. Section IV presents our proposed scheduling algorithm in details and how it works. Section V

presents the simulation results. Finally, Section VI concludes this paper.

II. RELATED WORKS

The authors in [4] and [5] introduced a cellular automata-based scheduler to find an allocation which minimizes the total makespan of parallel tasks in the two-processor system. Cellular automata (CA) are interesting because complex global behavior arises from simple local interactions and CA can be applied for solving the scheduling problem according to some scheduling rules which must be found. Effective rules for CA are discovered by a genetic algorithm (GA).

CA is a discrete-time system that can be used for modeling several phenomena in the physical systems or natural systems. It is formed by a collection of cells also called lattice and each cell has its own state. The number of possible states in a cell depends on the value of k . For example, if k is equal to 2, the possible value for each cell can have the value of 0 or 1. The state of the cell i at time $t+1$ depends on the states of its neighborhood with radius r and itself at time t . Over time, the cells can change from state to state and the CA's rules will determine how the states change [6] [7].

The simplest CA is the one-dimensional binary cellular automata which the state of each cell i in a lattice can be either 0 or 1 ($k = 2$). For example, assuming that $r = 1$ with the transition rule 30 (00011110). There are two neighborhoods for each cell and it can be expressed in 8 (2^3) different states [8]. All possible neighborhood states, transition function, and the evolution of CA are illustrated in Fig. 1.

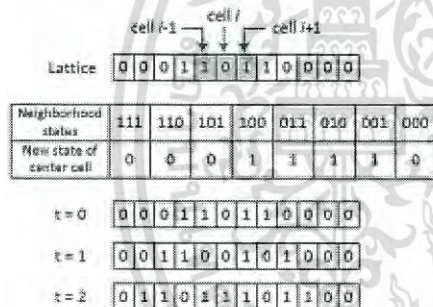


Figure 1. Example of rule 30 of one-dimensional binary cellular automata with $r = 1$.

In cloud computing systems, the traditional scheme for task scheduling is First-Come-First Served (FCFS). FCFS scheme provides a simple process scheduling algorithm that saves valuable CPU resources. It uses nonpreemptive scheduling which a task is automatically queued and processed according to the arrival of task without other biases

or preferences. But FCFS scheme is not an optimal solution for task scheduling. The authors in [4] and [5] used CA for task scheduling in two-processor system since the state of a cell of CA can represent as an allocation of a task to the specific processor and used GA for discovering the effective rules of CA which give the optimal or suboptimal makespan for task scheduling. This CA-based scheduler is divided into two phases: learning phase and operation phase. In learning phase, GA is applied to discover optimal rules of CA suitable for solving instances of a scheduling problem. In operation phase, discovered rules of CA are able to find an optimal solution of the scheduling problem for any initial allocation of a task set in two-processor system. Since there is no implementation of CA for task scheduling in cloud computing systems, this motivates us to apply CA in our work.

However, there are a large number of VMs in cloud computing systems and consequently, it can cause substantial complexity gain from the length of the rule of CA with increasing number of processor k and neighborhood radius r . When considering scheduling problem in the case of more than two processors, the length of rule grows rapidly with k and r . It is calculated as k^{2r+1} as shown in Table I with different k when $r = 1$ so it is difficult for GA to search in large spaces. This problem also becomes a subject of our work to make it works efficiency in cloud computing systems.

TABLE I. LENGTHS OF RULES FOR DIFFERENT k

k	The length of a rule
2	8
3	27
4	64
5	125
10	1000
20	8000
30	27000
50	125000

III. CLOUDSIM TOOLKIT

A. Characteristic and Modeling

CloudSim is a toolkit for simulation and experimentation of cloud computing scenarios and it also supports modeling of large scale cloud computing infrastructures. CloudSim provides basic classes for describing data centers, virtual machines, service brokers, applications, users, computational resources, and policies for management (e.g., scheduling and allocation) [9].

The Datacenter is the core hardware infrastructure services related to the clouds. It is composed of a set of hosts, which are responsible for managing VMs by assigning a pre-configured processing capability, memory, storage, and a

provisioning policy for allocating processing cores to VMs. A host represents a physical computing node which has one or more VMs inside. There are two steps in allocation of cloud resources: VM provisioning and Application provisioning. The allocation policy can be managed by assigning specific CPU cores to specific VMs called space-shared policy or to dynamically distribute the capacity of a core among VMs called time-shared policy, and to assign cores to VMs on demand, or to specify other policies [10] [11].

B. Design and Implementation of CloudSim

CloudSim does not satisfy all the requests. CloudSim users are required to extend the specific classes (or entities) at user code level [12]. The main classes in CloudSim related to our work are listed as follows:

1) *Cloud Information Service (CIS) class*: The CIS is the core of simulate scheduling since it maps user or broker requests to suitable cloud providers. It also provides resource registration such as datacenter and broker.

2) *Datacenter class*: It is composed of a set of hosts which is responsible for managing VMs. Datacenter behaves like an IaaS provider by receiving requests for VMs from brokers and creating the VMs in hosts.

3) *DatacenterBroker class*: This class represents a broker acting on behalf of a user. It modifies two mechanisms: the mechanism for submitting VM provisioning requests to data centers and the mechanism for submitting the tasks to VMs. The CloudSim users have to extend this class for conducting experiments with their own policies.

4) *VirtualMachine class*: It represents a software implementation of a machine that executes applications called virtual machine (VM) which works like a physical machine. Each virtual machine divides the resources received from the host among tasks running on it.

5) *Cloudlet class*: A cloudlet class is also known as a task. CloudSim represents the complexity of an application in terms of its computational requirements. This class is managed by the scheduling policy which is implemented in DatacenterBroker Class.

To develop and evaluate our scheduling scheme, we extend and implement CATS scheme in DatacenterBroker class since it is responsible for managing task scheduling and resource allocation in cloud computing systems. The CloudSim simulation data flow is shown in Fig.2. When the simulation starts, each datacenter registers itself with the CIS and handle requests from a broker, all VMs are created afterwards. When a new task set arrives into the system, DatacenterBroker sends requests to all datacenters for scheduling the arrival tasks as the scheduling policy implemented in DatacenterBroker [13].

IV. OUR PROPOSED SCHEME

In this section, we describe our task scheduling scheme called the evolving of cellular automata for task scheduling in cloud computing systems or CATS scheme. To implement it for a large number of virtual machines (VMs) in cloud computing, we design our scheduler working with multiple sets of VMs and it divides a task set and distribute to the sets of VMs.

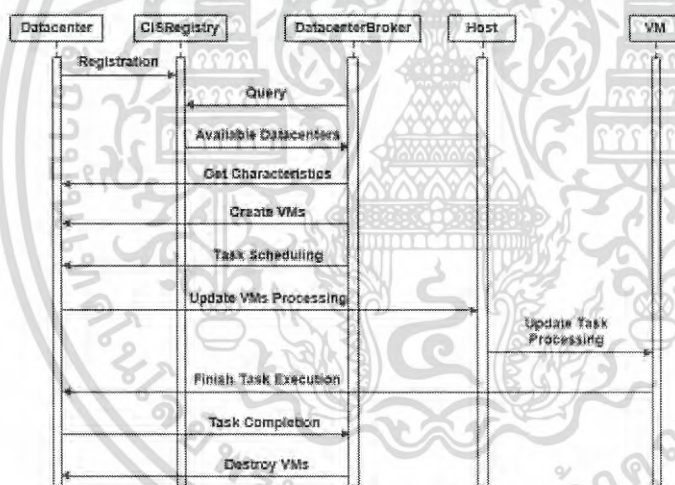


Figure 2. The flow diagram of communication among core entities in CloudSim

For example, there are 10 VMs with a task set of 200 tasks, all VMs are divided into 10 sets with two VMs in each set and the number of tasks in each VM set is 20 tasks. The scheduler has to work for 10 times to find the optimal allocation of a task set.

In addition, we assume that a nonlinear structure of a task set is approximated by a one-dimensional CA which each cell has two possible states 0 or 1. Our automaton is a binary one ($k = 2$). The state 0 or 1 of a cell means that a corresponding task is allocated either in the VM0 or VM1 in a VM set. With each task of a task set, an elementary cell is associated. The CA has null boundary conditions. We assume that "absent cells" are always in state 0.

The CA corresponding to a task set evolves according to its rule. Initial states of CA is an initial allocation of tasks for two VMs. Changing states of CA results in changing an allocation of tasks in the system. Therefore, we use GA to discover the best rule of CA that provides the minimize makespan T .

CATS scheme can be divided into two phases: the learning phase and the operation phase as shown in Fig. 3. The purpose of the learning phase is to discover rules for task scheduling by using GA. The GA begins with randomly generating a population of rules with size P and randomly choosing I initial allocations which correspond to initial allocations of a task set. CA rules will run on each initial allocation for M time steps then measure the makespan T for each final allocation. A fitness value for each rule in the population is the average T . The GA selects the best rules ("elite") with number E to the next generation without modification. The remaining $P-E$ rules are generated by crossover between elite rules and mutated with probability P_m . This process is continued a predefined number G of generations and discovered rules will be stored after completion. Searching rules is conducted with use of GA in the following way:

BEGIN

Initialize t to zero

Initialize the population $P(t)$ of CA rules of a size P

Initialize a set of makespan T of a size P

Initialize the number of generations G

Initialize the number of time steps M

Initialize the number of elite rules E

Initialize the mutation probability P_m

FOR G iterations

Create a set of a size I of initial allocations

FOR I iterations

FOR P iterations

FOR M iteration

Determine the next state of CA cells

ENDFOR

ENDFOR

Calculate the average T of P

Move E of the best rules from $P(t)$ to $P(t+1)$

Crossover with the selected rules from E

Mutation with probability P_m

Add rules to $P(t+1)$
 $t = t + 1$
 ENDFOR
 Store the best rules from $P(t)$
 END

In operation phase, when a task set is randomly allocated, the best found rule of CA is able to find an optimal scheduling in a finite number of time steps by selecting the allocation which gives the minimum makespan. The simulation result of the performance evaluation is presented in the next section.

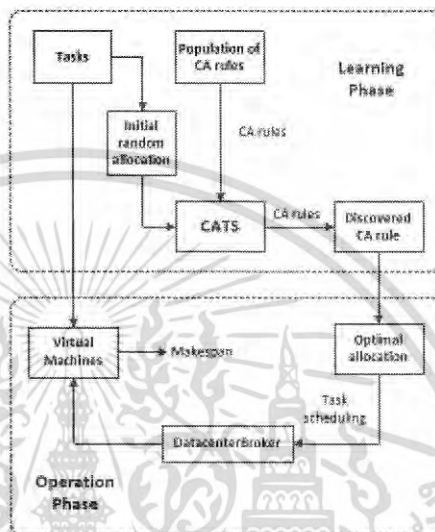


Figure 3. Learning phase and operation phase of CATS scheme

V. SIMULATION AND RESULTS

A. Assumptions

The performance of our proposed scheme or CATS scheme is evaluated by means of the simulation using CloudSim [11]. We assume that for a task set there is no precedence constraints among tasks that means each task is independent. They also cannot be interrupted during their execution.

B. Simulation Parameters for CloudSim

We assume 10 datacenters with 100, 200, 300, 400 and 500 tasks and 50 VMs. The range of the length of each task is from 5000 Million Instruction (MI) to 15000 MI. Computing performance of VMs is vary between 250 (Million Instruction Per Second) MIPS to 2000 MIPS. All datacenters randomly use allocation policy for VM allocation with Time_shared or

Space_shared and all VMs use only Space_shared policy. The simulation parameters are shown in Table 2.

C. Simulation Parameters for CATS Scheme

The parameters setting for CATS scheme is shown in Table 3. The radius r of CA is 1. We use 100 generations with the number of population is 50, also $I = 50$, $M = 50$, and $E = 25$. For crossover and mutation, we use a two-point crossover and a bit-flip mutation with probability (P_m) = 0.03 in GA.

TABLE II. PARAMETERS SETTING OF CLOUD SIMULATOR

Type	Parameter	Value
Datacenter	Number of datacenters	10 datacenters
	Number of hosts	2-6 hosts
	Type of manager	Space_shared
		Time_shared
Virtual Machine (VM)	MIPS	250-2000 MIPS
	VM memory (RAM)	512-2048 Mbytes
	Type of manager	Space_shared
Task	Total number of task in a task set	100-500 tasks
	Length of task	5000-15000 MI

TABLE III. PARAMETERS SETTING OF CA-BASED SCHEDULER

Parameter	Value
Number of generation (G)	100
Number of population (P)	50
Number of initial allocation (I)	50
Number of Time step (M)	50
Number of Elite rule (E)	25
Mutation probability (P_m)	0.03
CA's radius	1

D. Simulation Results

We compare the performance of our proposed scheme (CATS scheme) with that of the First Come First Served (FCFS). The aim of FCFS scheme is to find the earliest completion time of each task individually and the aim of CA-based scheduler is to find an allocation which minimizes the makespan of a given task set. The total execution of a task set (makespan) of two algorithms are compared. Figure 4 shows that the average makespan of CATS with 100-500 tasks is obviously lower than FCFS. Figure 5 shows a run of CATS with the best found rule after 100 generations, starting with a random initial allocation of 100 tasks. It presents a value of T in 50 time steps. The GA can discover the CA rule at the average T equal 79 at $M = 9$.

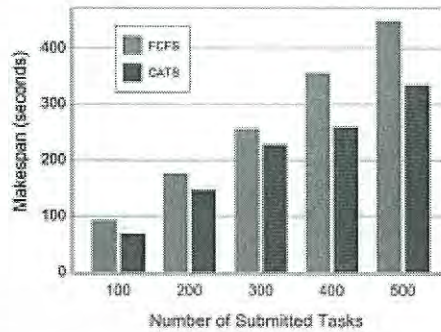


Figure 4. The average makespan of 100-500 tasks set

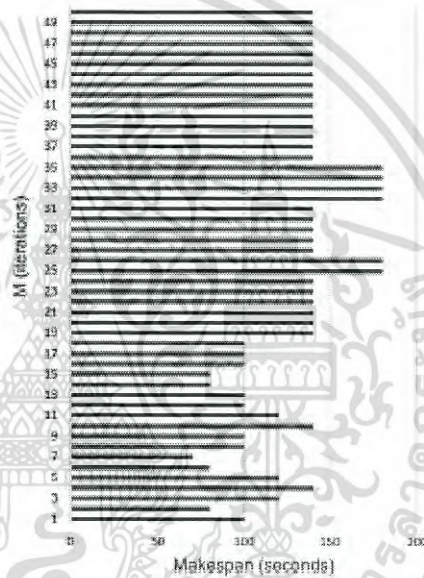


Figure 5. Time diagram of the best found rule for 100 tasks discovered by CATS scheme

VI. CONCLUSIONS

In this paper, we have proposed the application of cellular automata and genetic algorithm to task scheduling in cloud computing systems call CATS scheme. The cellular automata

(CA) have been considered for setting the task scheduling rules. The effective rule has been discovered by using genetic algorithm (GA). The effectiveness of CATS scheme has been evaluated by means of simulation. The simulation result has shown that CATS scheme can provide the lower makespan comparing with that of the traditional First-Come-First-Serve (FCFS) scheme.

REFERENCES

- [1] M. D. Dikaiakos, "Cloud Computing: Distributed Internet Computing for IT and Scientific Research," *Internet Computing, IEEE*, vol.13, no.5, pp.10,13, Sept-Oct. 2009.
- [2] R. Buyya, J. Broberg, and A. M. Goscinski, *Cloud Computing: Principles and Paradigms* (Wiley Series on Parallel and Distributed Computing) Wiley, 2011.
- [3] F. Chang and R. Viswanathan, "Optimal Resource Allocation in Clouds," *Cloud Computing (CLOUD), 2010 IEEE 3rd International Conference on*, pp.418,425, 5-10 July 2010.
- [4] A. Swiecicka and F. Seredyński, "Applying cellular automata in multiprocessor scheduling," *Parallel Computing in Electrical Engineering, 2002. PARELEC '02. Proceedings International Conference on*, pp.177,182, 2002.
- [5] F. Seredyński and P. Bosvry, "Multiprocessor scheduling algorithms based on cellular automata training," *Intelligent Engineering Systems Through Artificial Neural Networks*, vol. 13, pp. 255-260, 2003.
- [6] D. Rajarshi, M. Melanie, and J. P. Cuckfield, "A Genetic Algorithm Discovers Particle-Based Computation in Cellular Automata," *Proceedings of the International Conference on Evolutionary Computation. The Third Conference on Parallel Problem Solving from Nature: Parallel Problem Solving from Nature*, p.344-353, October 09-14, 1994.
- [7] S. Wolfram, *Cellular Automata And Complexity*. Collected Papers. Westview Press, 1994.
- [8] J. L. Schiff, *Cellular Automata: A Discrete View of the World*. Wiley-Interscience, 2003.
- [9] D. E. Goldberg, *Genetic algorithms in search, optimization, and machine learning*. Addison-Wesley Professional, 1989.
- [10] R. N. Calheiros, R. Ranjan, and R. Buyya, "CloudSim: A Novel Framework for Modeling and Simulation of Cloud Computing Infrastructures and Services," *Technical Report, GRIDS-TR-2009-1, Grid Computing and Distributed Systems Laboratory, The University of Melbourne, Australia*, 2009.
- [11] R. N. Calheiros, R. Ranjan, A. Beloglazov, and R. Buyya, "CloudSim: A Toolkit for the Modeling and Simulation of Cloud Resource Management and Application Provisioning Techniques," *Journal Software—Practice & Experience archive*, vol. 41, pp. 33-50, 2011.
- [12] B. Ghalem, Z. T. Fatima, and Z. Weirne, "Approaches to Improve the Resource Management in the Simulator CloudSim," *KCIKA 2010, LNCS 6377, DOI: 10.1007/978-3-642-16167-4_25*, pp. 189-195, 2010.
- [13] R. Buyya, R. Ranjan, R. N. Calheiros, "Modeling and Simulation of Scalable Cloud Computing Environments and the CloudSim Toolkit: Challenges and Opportunities," *Proceedings of the 7th High Performance Computing and Simulation (HPCS 2009) Conference, Leipzig, Germany, DOI: 10.1109/HPCSIM.2009.5192685*, 2009.

เอกสารนี้เป็นเอกสารที่สงวนไว้สำหรับการใช้งานเพื่อการศึกษาเท่านั้น ไม่อนุญาตให้นำไปใช้ประโยชน์ด้านการค้า
 ไม่ว่ากรณีใดๆ ทั้งสิ้น อีกทั้งห้ามมิให้ตัดแปลงเนื้อหา และต้องอ้างอิงถึงเจ้าของเอกสารทุกครั้งที่มีการนำไปใช้

ประวัติผู้เขียน

ชื่อ-นามสกุล	นางสาวอิงขวัญ วชิระชูเดช
วัน เดือน ปีเกิด	1 มีนาคม 2533 กรุงเทพฯ
ที่อยู่	36/121 สาทรเฮอริเทจเรสซิเดนซ์ ถ.นราธิวาสราชนครินทร์ แขวงยานนาวา เขตสาทร กทม. 10120 โทร. 080-099-9301
ประวัติการศึกษา	สำเร็จการศึกษา วิศวกรรมศาสตรบัณฑิต ในปีการศึกษา 2554 คณะวิศวกรรมศาสตร์ สาขาวิชาวิศวกรรมคอมพิวเตอร์ สถาบันเทคโนโลยีพระจอมเกล้าเจ้าคุณทหารลาดกระบัง



เอกสารนี้เป็นเอกสารที่สงวนไว้สำหรับการใช้งานเพื่อการศึกษาเท่านั้น ไม่อนุญาตให้นำไปใช้ประโยชน์ด้านการค้า
ไม่ว่ากรณีใดๆ ทั้งสิ้น อีกทั้งห้ามมิให้ดัดแปลงเนื้อหา และต้องอ้างอิงถึงเจ้าของเอกสารทุกครั้งที่มีการนำไปใช้